

**STUDI *IN SILICO* AKTIVITAS SENYAWA TURUNAN ZERUMBON HASIL
SUBSTITUSI EKSO-METILEN SEBAGAI KANDIDAT ANTIMALARIA**



SKRIPSI

Diajukan untuk Memenuhi Salah Satu Syarat Meraih
Gelar Sarjana Farmasi Jurusan Farmasi
Pada Fakultas Kedokteran dan Ilmu Kesehatan
UIN Alauddin Makassar

Oleh

DINDA FIRNASARI

70100116051

**FAKULTAS ILMU KESEHATAN
UNIVERSITAS ISLAM NEGERI ALAUDDIN MAKASSAR**

2021

PENGESAHAN SKRIPSI

Skripsi yang berjudul "*Studi In Silico Aktivitas Senyawa Turunan Zerumbon Hasil Substitusi Ekso-Metilen Sebagai Kandidat Antimalaria*" yang disusun oleh Dinda Firdasari, NIM: 70100116051, Mahasiswa Jurusan Farmasi pada Fakultas Kedokteran dan Ilmu Kesehatan UIN Alauddin Makassar, telah diuji dan dipertahankan dalam sidang *Munaqasyah* yang diselenggarakan pada hari Rabu, 18 Agustus 2021 M, dinyatakan telah dapat diterima sebagai salah satu syarat memperoleh gelar Sarjana dalam Ilmu Kesehatan, Jurusan Farmasi.

Gowa, 18 Agustus 2021
9 Muharram 1443 H

DEWAN PENGUJI:

Ketua	: Dr. dr. Syatirah, Sp.A, M.Kes	(.....)
Sekretaris	: Apt. Nur Azizah Syahrana, M.Farm	(.....)
Munaqisy I	: Nur Syamsi Dhuha, S.Farm, M.Si	(.....)
Munaqisy II	: Dr. Muhammad Shuhufi, S.Ag, M.Ag	(.....)
Pembimbing I	: Haeria, S.Si, M.Si	(.....)
Pembimbing II	: Apt. Afrisusnawati Rauf, S.Si, M.Si	(.....)

UNIVERSITAS ISLAM NEGERI

Disetujui Oleh:
Fakultas Kedokteran dan Ilmu Kesehatan
UIN Alauddin Makassar

Dr. dr. Syatirah, Sp.A, M.Kes
NIP. 07012006042002

ALAUDDIN
M A S S A R



HALAMAN PERNYATAAN KEASLIAN SKRIPSI

Mahasiswa yang bertanda tangan di bawah ini :

Nama : Dinda Firdasari
NIM : 70100116051
Tempat / Tanggal Lahir : Tacipi, 2 April 1997
Jurusan : Farmasi
Fakultas : Kedokteran dan Ilmu Kesehatan
Alamat : Jl. A. Raung no. 23 Tacipi, Kec. Ulaweng, Kab. Bone
Judul : Studi In Silico Aktivitas senyawa turunan zerumbon
hasil substitusi ekso-metilen sebagai kandidat antimalaria

Menyatakan dengan sesungguhnya dan penuh kesadaran bahwa skripsi ini benar adalah hasil karya sendiri. Jika di kemudian hari terbukti bahwa ia merupakan duplikat, tiruan, plagiat, atau dibuat oleh orang lain, sebagian atau seluruhnya, maka skripsi dan gelar yang diperoleh karenanya batal demi hukum.

Samata-Gowa,

ALA UDDIN
M A K A S S A R

Dinda Firdasari

70100116051

KATA PENGANTAR

بِسْمِ اللَّهِ الرَّحْمَنِ الرَّحِيمِ

Segala puji bagi Allah SWT atas limpahan berkah dan kasih sayangNya sehingga penulis dapat sampai pada tahap ini. Salawat serta salam tak lupa penulis haturkan kepada baginda Nabi Muhammad SAW yang telah membimbing dari jaman jahiliah hingga menuju jaman modern seperti saat ini.

Skripsi yang berjudul **“Studi In Silico Aktivitas Senyawa Turunan Zerumbon Hasil Substitusi Ekso-Metilen Sebagai Kandidat Antimalaria”** ini, disusun untuk memenuhi salah satu syarat meraih gelar Sarjana Farmasi pada Jurusan Farmasi Fakultas Kedokteran dan Ilmu Kesehatan Universitas Islam Negeri Alauddin Makassar.

Dalam penyelesaian penelitian dan skripsi ini, penulis banyak mengalami hambatan dan kesulitan. Namun, atas bantuan dan dukungan dari berbagai pihak yang selalu membantu dan memotivasi penulis sehingga penulis dapat menyelesaikan penelitian dan skripsi ini.

Terima kasih yang sebesar-besarnya penulis ucapkan kepada kedua orang tua tercinta, ibunda Hikmawati dan ayahanda Hasnul Basri yang tidak pernah berhenti untuk terus memberikan bantuan, dukungan dan kasih sayangNya kepada penulis sehingga penulis dapat menyelesaikan penelitian dan skripsi ini.

Melalui kesempatan ini, penulis juga menyampaikan ucapan terima kasih kepada :

1. Prof. Hamdan Juhannis, M.A., Ph.D., selaku Rektor Universitas Islam Negeri Alauddin Makassar
2. Dr. dr. Syatirah Jalaluddin, Sp.A., M.Kes. selaku Dekan Fakultas Kedokteran dan Ilmu Kesehatan Universitas Islam Negeri Alauddin Makassar.
3. apt. Asrul Ismail S.Farm, M.Sc. selaku Ketua Jurusan Farmasi Fakultas Kedokteran dan Ilmu Kesehatan Universitas Islam Negeri Alauddin Makassar.

4. Haeria, S.Si., M.Si. selaku Pembimbing I yang senantiasa membimbing dan meluangkan waktunya demi terselesaikannya skripsi ini.
5. Afrisusnawati Rauf, S.Si, M.Si, Apt selaku Pembimbing II yang senantiasa dan meluangkan waktunya demi terselesaikannya skripsi ini.
6. Nur Syamsi Dhuha, S.Farm., M.Si. selaku Penguji Kompetensi yang telah memberikan kritik dan sarannya demi kesempurnaan skripsi ini.
7. Dr. Muhammad Shuhufi., S.Ag, M.Ag selaku Penguji Agama yang telah memberikan kritik dan sarannya demi kesempurnaan skripsi ini.
8. Seluruh Dosen dan Staf Jurusan Farmasi, atas curahan ilmu pengetahuan dan segala bantuan yang telah diberikan hingga saat ini.
9. Teman-teman Seperjuangan DIGOXIN (2016), dengan seluruh personelnnya yang telah menemani dan menghiasi masa-masa penulis selama menempuh studi tidak ada kata lain yang bisa saya ucapkan selain kata terima kasih untuk segala dukungannya selama ini.

Penulis menyadari masih terdapat kekurangan dalam skripsi ini. Namun, penulis berharap besar semoga skripsi ini dapat bermanfaat bagi penelitian-penelitian selanjutnya terkhusus di bidang farmasi. Semoga bernilai ibadah di sisi Allah SWT.

Makassar,

Penulis

Dinda Firdasari

7010011601

DAFTAR ISI

LEMBAR PENGESAHAN	i
HALAMAN PERNYATAAN KEASLIAN SKRIPSI	ii
KATA PENGANTAR	iii
DAFTAR ISI	v
DAFTAR TABEL	vii
DAFTAR GAMBAR	viii
ABSTRAK	1
BAB I PENDAHULUAN	
<i>A. Latar Belakang</i>	2
<i>B. Rumusan Masalah</i>	6
<i>C. Definisi Operasional dan Ruang Lingkup Penelitian</i>	7
<i>D. Kajian Pustaka</i>	9
<i>E. Tujuan dan Manfaat Penelitian</i>	11
<i>F. Manfaat Penelitian</i>	12
BAB II TINJAUAN PUSTAKA	
<i>A. Studi In Silico</i>	13
<i>B. Hubungan Kuantitatif Struktur Aktivitas</i>	14
<i>C. Searching Fitur Farmakofor</i>	18
<i>D. Docking Molekul</i>	19
<i>E. Prediksi In Silico dari Farmakofor</i>	20

<i>F. Malaria</i>	21
<i>G. Enzim Gluthatione S Transferase</i>	24
<i>H. Zerumbon dan Turunan Eksometilen</i>	26
<i>I. Tinjauan Islam</i>	30
BAB III METODOLOGI PENELITIAN	
<i>A. Jenis dan Lokasi Penelitian</i>	34
<i>B. Pendekatan Penelitian</i>	34
<i>C. Sumber Data</i>	34
<i>D. Instrumen Penelitian</i>	35
<i>E. Prosedur Pengolahan dan Analisis Data</i>	35
BAB IV HASIL PENELITIAN DAN PEMBAHASAN	
<i>A. Hasil Penelitian</i>	59
<i>B. Pembahasan Hasil Penelitian</i>	70
BAB V PENUTUP	
<i>A. Kesimpulan</i>	81
<i>B. Implikasi Penelitian</i>	82
DAFTAR PUSTAKA	83
LAMPIRAN	86
DAFTAR RIWAYAT HIDUP PENULIS	108

DAFTAR TABEL

Tabel 1 Daftar Deskriptor	18
Tabel 2 Kombinasi descriptor dengan nilai kriteria statistik dan validasi <i>Leave One Out</i> (q2)	59
Tabel 3 Hasil Nilai Korelasi Pearson	60
Tabel 4 Database 8 senyawa hits hasil virtual skrining	62
Tabel 5 Hasil <i>docking senyawa hits</i> hasil virtual skrining pada protein 2AAW	66
Tabel 6 Aturan Lipinski dari 4 senyawa hasil docking dengan interaksi yang baik	67
Tabel 7 Hasil Prediksi toksisitas dengan menggunakan Toxtree dan admetSAR	68
Tabel 8 Hasil Prediksi farmakokinetik menggunakan preADMET	69

DAFTAR GAMBAR

Gambar 1 Strategi penelitian database	18
Gambar 2 Ringkasan pendekatan desain obat berbasis struktur klasik	20
Gambar 3 Siklus hidup parasit penyakit	21
Gambar 4 Gambaran target obat malaria	24
Gambar 5 Vakuola parasit malaria intra-eritrositik sebagai target obat	25
Gambar 6 Struktur Senyawa Zerumbon	27
Gambar 7 Sistem konjugasi pada zerumbon yang dapat memberikan berbagai macam aktivitas biologis	28
Gambar 8 Proses pembentukan gugus ekso-metilen dengan menggunakan NBS sebagai sumber ion	29
Gambar 9 Zerumbon turunan ekso-metilen dengan berbagai macam Nukleofil	30
Gambar 10 Tombol draw di Hyperchem	36
Gambar 11 Tombol invoke model builder di Hyperchem	36
Gambar 12 Panel rendering di Hyperchem	37
Gambar 13 Panel optimasi ab initio	38
Gambar 14 Panel kalkulasi deskriptor MOE	41
Gambar 15 Panel kalkulasi model QSAR MOE	42
Gambar 16 Panel regresi linear SPSS	44
Gambar 17 Panel korelasi <i>pearson</i> SPSS	46

Gambar 18 Ligan yang terpilih	48
Gambar 19 Query Pharmacophore dari ligan yang terpilih	49
Gambar 20 Panel Docking MOE	51
Gambar 21 Halaman web rule of 5 lipinsky	52
Gambar 22 Tampilan Toxree dan parameter toksisitas	54
Gambar 23 Halaman admetSAR	55
Gambar 24 Halaman preADMET	56
Gambar 25 Sidik jari interaksi ligan-protein	61
Gambar 26 Query farmakofor inhibitor PfGST pada senyawa penuntun melalui penelusuran farmakofor menggunakan program MOE	61
Gambar 27 Posisi ligand dan Molecular surface asli protein 2AAW	65
Gambar 28 Interaksi ligan asli (Native ligan) protein 2AAW.....	65



ALAUDDIN
 M A K A S S A R

ABSTRAK

Nama Mahasiswa : Dinda Firdasari
NIM : 70100116051
Judul Penelitian : **Studi In Silico Aktivitas Senyawa Turunan Zerumbon Hasil Substitusi Ekso-Metilen Sebagai Kandidat Antimalaria**

Malaria ialah penyakit disebabkan oleh *Plasmodium falciparum* yang ditransmisikan melalui nyamuk betina Anopheles. Penelitian terbaru menemukan enzim Glutathione S transferase (PfGST) yang berperan penting dalam perkembangan plasmodium dapat dijadikan sebagai target obat. Zerumbon memiliki potensi sebagai obat antimalaria. Senyawa ini diharapkan memiliki efek pengobatan dan penghambatan enzim PfGST. Tujuan penelitian ini adalah mendapatkan model persamaan model persamaan HKSA, menemukan fitur farmakofor ligan aktif, mendapatkan senyawa-senyawa yang dapat berfungsi sebagai inhibitor enzim PfGST, mengetahui model interaksi senyawa dan mengetahui prediksi toksisitas dan profil farmakokinetik pada senyawa turunan zerumbon tersubstitusi ekso-metilen sebagai kandidat antimalaria. Penelitian ini didasari dengan pendekatan pra eksperimen dengan sistem komputasi menggunakan perangkat Hyperchem® release 8.0.8, Molecular Operating Environment (MOE) release 2015.10, Zinc, dan Toxtree 2.6.0. Hasil persamaan HKSA didapati nilai q^2 0,513 dengan persamaan HKSA terbaik $\text{LogIC}_{50} = -13,195 + (-0,279 \times \text{AM1_dipole}) + (0,021 \times \text{ASA_H}) + (25,210 \times \text{mr}) + (-0,955 \times \text{vol}) + (0,276 \times \text{VSA})$. Hasil sidik jari interaksi ligan-protein 2aaw didapati ikatan dengan asam amino: Lys15, Val59, Gln71, Ser72, ValB59, GlnB71, dan SerB72. Query farmakofor yang berperan yaitu gugus Aromatik (F1 : Aro), anion, kation, donor dan akseptor proton (F2 : Ani, Cat, Acc, & Don), dan Anion, donor dan akseptor proton (F3 : Ani, Acc, & Don). Diperoleh 3 senyawa hits hasil virtual screening. Residu asam amino berpengaruh yaitu Val59 dengan jarak ikatan 2,87 Å dan 2,84. ZINC000000001785 pada beberapa parameter pengujian toksisitas dan bioavailabilitas menunjukkan hasil yang relatif baik.

Kata kunci : Zerumbon, PfGST

BAB I PENDAHULUAN

A. Latar Belakang

Kimia medisinal merupakan disiplin ilmu cabang kimia, yang memfokuskan terhadap sintetik kimia organik, farmakologi, dan berbagai spesialis biologis lainnya yang akan dikembangkan, didesain, disintesis kimia dan dikembangkan untuk pemasaran obat. Senyawa-senyawa organik banyak digunakan dalam dunia medis, senyawa tersebut dibagi terbagi secara luas berdasarkan kegunaannya seperti molekul organik kecil, biologis, dan terakhir yang paling sering digunakan sebagai persiapan protein. Senyawa organik dan organometalik (senyawa yang memiliki ikatan karbon dengan logam) juga digunakan dalam pengembangan obat. Dalam penelitian beberapa tahun akhir, telah ditemukan spesifik enzim inhibitor yang ditanggapi dengan baik karena memiliki potensial yang akan digunakan dalam farmakologis (Ekinci, 2012).

Senyawa kimia dapat berinteraksi dengan bakteri, jamur, dan serangga yang dapat melindungi tanaman. Sehingga dapat disimpulkan obat dapat dijadikan penyembuh dan dapat juga dijadikan sebagai racun. Prinsipnya adalah selektif toksisitas. Misalnya, antibakteri, antifungi dan antiprotozoa bermanfaat dalam pengobatan karena kerjanya yang selektif toksisitas terhadap sel mikroba, bukan sel mamalia. Secara klinis antikanker yang efektif menunjukkan toksisitas selektif pada sel kanker bukan pada sel normal. Begitupula antivirus, yang lebih toksik bagi virus daripada sel normal (Jain, 2017).

Dalam pengembangan obat pun semakin tahun memiliki kemajuan yang pesat. Hal ini sesuai dengan perkembangan teknologi yang mampu melakukan yang dapat mempermudah kinerja manusia. Telah diakui pada tahun 60-an, bahwa metode berbasis komputer dapat membantu dalam menemukan dan dapat melakukan kalkulasi untuk sintesis kimia dan skrining dari banyaknya senyawa di alam bebas, dan dengan cara ini juga dapat menghemat waktu dan biaya. Desain obat berbasis komputer bukan hanya digunakan pada desain senyawa. Namun, juga dapat digunakan dalam konsep klinis. Dalam pengembangan obat baru, design obat berbasis komputer digunakan untuk mengetahui sifat molekuler untuk membantu dalam proses desain obat (Jain, 2017).

Sintesis obat menggunakan basis komputer termasuk salah satu studi *In Silico* metode yang mendekati pada keadaan nyata ke dalam penggambaran melalui komputer atau simulasi menggunakan software tertentu. Pemanfaatan ini merujuk kepada studi desain obat yang didasari oleh *in silico*, *in vivo* maupun *in vitro*. Metode ini lebih efektif dan kurang memakan biaya, Namun, hal ini merupakan prediksi yang dilakukan oleh program aplikasi kimia komputasi. (Geldenhuis et al., 2006).

Malaria merupakan penyakit menular yang disebabkan oleh mikroorganisme *Plasmodium*. Penyakit ini memiliki gejala menggigil, demam, mual, muntah, sakit kepala, dan menggigil. Berdasarkan Depkes tahun 2011-2015, Indonesia bagian timur masih memiliki *Annual Parasite Incidence (API)*

tertinggi. Kasus malaria lebih banyak terkonsentrasi di wilayah endemis timur (InfoDatin-Malaria, 2016).

Zerumbone (ZER) merupakan fitokimia yang diisolasi dari tumbuhan familiy Zingiberaceae dan diperoleh dari tanaman Zingiber zerumbet. Zerumbone telah memperlihatkan memiliki aktivitas biologis salah satunya antimalaria (Kalantari et al., 2017).

Zerumbone memiliki aktivitas sebagai antimalaria menjadi sebuah peluang dalam pengembangan obat. Akhir-akhir ini ditemukan bahwa enzim Gluthatione S transferase dapat dijadikan sebagai target obat malaria. Ketika plasmodium masuk ke dalam eritrosit manusia, vakuola dari plasmodium akan mengatur makanan yang akan dicerna. Selain itu, vakuola juga bertanggung jawab terhadap proses degradasi 60-80% dari hemoglobin dalam sel darah merah manusia dan menyediakan asam amino yang digunakan untuk pertumbuhan dan perkembangan plasmodium. Jalur degradasi ini dimulai ketika enzim protease mengubah hemoglobin menjadi peptida kecil proses ini disebut proteolisis. Selama proteolisis, toksik heme akan dihasilkan sebagai produk sampingan yang nantinya akan didetoksifikasi dikonversi menjadi hemozoin. Enzim PfGST akan berperan dalam proses detoksifikasi toxic heme. Singkatnya, jika enzim PfGST dihambat, maka plasmodium akan terus menerus menghasilkan toksik heme yang dapat menghambat perkembangan dan pertumbuhan plasmodium (Kumar et al., 2018).

Dari segi efisiensi uji *in silico* memakan lebih sedikit waktu dan biaya dibandingkan dengan uji yang lain. Penelitian *in silico* juga merupakan tahap awal dalam perkembangan obat baru yang nantinya dapat dilanjutkan dengan uji *in vivo* dan *in vitro*. Uji *in silico* juga merupakan uji pra-laboratorium, dimana peneliti dapat menemukan gambaran awal sebelum melakukan penelitian di dalam laboratorium. Sehingga, menguatkan hipotesa yang dapat meyakinkan peneliti.

Allah SWT berfirman dalam Q.S Al-Fil ayat 3 :

وَأَرْسَلَ عَلَيْهِمْ طَيْرًا أَبَابِيلٌ

Artinya :

Dan Dia mengirimkan kepada mereka burung yang berbondong-bondong

Berdasarkan ayat tersebut, lafadz *tayran ababil* diklasifikasikan memiliki beberapa tafsiran. Salah satunya ialah *ababil* itu berbondong-bondong burung buas yang membawa batu kecil. Burung itu melempar batu ke pasukan yang mendarai gajah yang menyebabkan pasukannya terkena penyakit ganas yang bagaikan daun yang dimakan ulat. Karena batu tersebut, mengandung penyakit ganas.

Dari pernyataan tersebut terlihat jelas bahwa, kita sebagai manusia haruslah tetap berusaha untuk menemukan obat-obat dari segala jenis penyakit, karena Allah akan selalu menurunkan obat dari jenis penyakit yang Allah turunkan pula.

Dari penguraian tersebut dilakukanlah penelitian ini untuk mengetahui aktivitas antiplasmodium oleh senyawa turunan zerumbon hasil substitusi ekso-metilen sebagai antimalaria dengan melakukan studi *in silico*. Dengan mengetahui aktivitas tersebut diharapkan kedepannya dikembangkan obat-obatan turunan zerumbon yang dapat dijadikan sebagai obat antimalaria.

B. 6 Rumusan Masalah

1. Bagaimana model persamaan HKSA senyawa turunan zerumbon hasil substitusi ekso-metilen sebagai inhibitor enzim glutathione S-transferase (pdb 1PA3)?
2. Bagaimana fitur farmakofor ligan aktif pada enzim glutathione S-transferase (pdb 1PA3)?
3. Senyawa apa saja berdasarkan *virtual screening* dari senyawa alam turunan zerumbon yang memiliki aktivitas inhibitor enzim glutathione S-transferase kandidat antimalaria?
4. Bagaimana model interaksi senyawa turunan zerumbon hasil *virtual screening* sebagai kandidat antimalaria berdasarkan fitur farmakofor ?
5. Bagaimanakah prediksi toksisitas dan farmakokinetik senyawa hasil *virtual screening* terpilih secara *in silico* ?

C. Definisi Operasional dan Ruang Lingkup Penelitian

1. Definisi Operasional

- a. *In silico* merupakan metode pemodelan molekul yang digunakan untuk ketepatan modeling dan validasi dalam desain suatu obat baik dalam penentuan karakterisasi sifat farmakologis, desain ligan, maupun optimasinya.
- b. Studi *in silico* adalah suatu pendekatan kimia komputasi pemodelan molekul dalam mendesain obat untuk menentukan sifat karakterisasi, sifat farmakologis, desain ligan, maupun optimasi molekul.
- c. Malaria merupakan penyakit yang disebabkan oleh Plasmodium, protozoa yang bersel satu.
- d. Glutathione S-transferase merupakan enzim pendukung homeostatis dan menjaga siklus hidup *P. falciparum*.
- e. Hubungan Kuantitatif Struktur-Aktifitas (HKSA) adalah model yang memiliki peran penting dalam desain obat ataupun bahan kimia yang berguna untuk prediksi aktivitas biologis, sifat fisikokimia, dan toksikologi dari senyawa.
- f. Farmakofor didefinisikan sebagai fitur, lokasi, ataupun kelompok kimia dari bentuk suatu senyawa.
- g. *Virtual screening* merupakan proses evaluasi terhadap berbagai macam data senyawa alam dengan menggunakan software komputer untuk identifikasi senyawa identik terhadap protein tertentu

- h. Docking molekul merupakan metode yang digunakan untuk memperlihatkan interaksi antara molekul atau senyawa. Metode ini dapat memprediksi jarak ikatan, lokasi ikatan, dan sebagainya untuk membentuk ikatan yang stabil.
- i. Farmakokinetik merupakan interaksi yang terjadi terhadap obat dengan tubuh. Hal ini mencakup absorpsi, distribusi, metabolisme, dan eliminasi pada suatu obat.
- j. Toksisitas adalah kemampuan senyawa kimia yang dapat menimbulkan kerusakan pada jaringan atau sel yang terkena. Uji toksisitas berguna untuk mempelajari efek dari suatu senyawa kimia toksik.

2. Ruang Lingkup Penelitian

Ruang lingkup penelitian ini yaitu menentukan sifat fisika-kimia dari senyawa zerumbon substitusi ekso-metilen dan turunannya sebagai inhibitor enzim Gluthatione S-transferase berdasarkan model HKSA, menentukan fitur farmakofor senyawa zerumbon substitusi ekso-metilen dan perannya sebagai inhibitor enzim Gluthatione S-transferase, melakukan virtual screening senyawa-senyawa bioaktif turunan senyawa zerumbon yang dapat berfungsi sebagai inhibitor enzim glutathione S-transferase berdasarkan fitur farmakofor, mengamati interaksi senyawa zerumbon substitusi ekso-metilen dan turunannya terhadap situs pengikatan enzim Gluthatione S-transferase serta memprediksi farmakokinetik dan toksisitas.

D. Kajian Pustaka

1. U. Sriphana *et al*, (2013) judul penelitian “*Antimalarial activity and cytotoxicity of zerumbone derivatives*” dapat dielaborasi dengan penelitian ini yang menjelaskan bahwa senyawa zerumbone merupakan sesquiterpene yang diisolasi dari rizoma tanaman Zingiber zerumbet, yang memperlihatkan aktivitas antimalaria yang kuat dan aktivitas sitotoksik. Dalam penelitian tersebut, 8 turunan zerumbon yang disintesis melalui reaksi sederhana yang di uji secara *in vitro* antimalaria pada *P. falciparum* dan sitotoksik pada sel kanker paru-paru (NCI-H187), sel kanker payudara (BC), kista epidermoid (KB) dan sel normal (sel vero). Hasilnya memperlihatkan 3 turunan zerumbon dengan gugus alkohol memiliki potensi yang tinggi sebagai antimalaria. Dengan hasil tersebut, Zerumbon dapat dikembangkan untuk menjadi agen antimalaria yang dapat disintesis dengan turunan yang memiliki aktivitas yang baik.
2. Kalantari *et al* (2017) dengan judul penelitian “*A Review of the Biomedical Applications of Zerumbone and the Techniques for Its Extraction from Ginger Rhizomes*” dapat dielaborasi dengan penelitian ini yang menjelaskan bahwa Zerumbon (ZER) salah satu isolasi fitokimia yang berasal dari famili Zingiberaceae. Dalam penelitian tersebut menguji beberapa jenis metode ekstraksi dan efisiensi tiap metode, studi *in vivo* dan *in vitro* pada zerumbon dan juga menyatakan bahwa zerumbon memiliki aktivitas sebagai anti kanker, antimalaria dan antiHIV.

3. Kitayama et al, (2013) dengan judul penelitian “*Novel synthesis of zerumbone-pendant derivatives and their biological activity*” dapat dielaborasikan dengan penelitian ini yang menjelaskan bahwa zerumbon memiliki aktivitas yang kuat dan mengandung dua ikatan konjugasi dan ikatan rangkap pada gugus karbonil. Peneliti mengungkapkan bahwa, tiap turunan dari ekso-metilen dari zerumbon akan menghasilkan aktivitas yang berbeda hal ini ditampakkan pada IC50. Dengan melakukan metode in vitro mendapatkan bahwa senyawa N,N-Bis [6-(1-oxo-2,9,9 – trimethylcycloundeca-2,6,10- trienyl) methyl]methylamine memiliki aktivitas yang sangat kuat dengan IC50 0.24 mM.
4. Kumar et al, (2018) dengan judul penelitian “*Drug targets for resistant malaria: Historic to future perspectives*” dapat dielaborasikan dengan penelitian ini yang menjelaskan bahwa proses glutathione-dependent degradation dapat dijadikan sebagai target obat dalam penemuan obat baru. Protein Gluthatione ini mampu mempertahankan homeostatis dari plasmodium dengan mendetoksifikasi toksik heme yang dihasilkan oleh plasmodium. Yang nantinya, toksik heme ini akan diubah menjadi hemazoin melalui proses oksidasi. Sehingga, jalur penghambatan glutathione inilah yang diharapkan dan digunakan untuk pengembangan target obat malaria yang baru.

5. Sari, (2014) dengan judul penelitian “*Peran Glutathion pada Kegagalan Terapi Klorokuin*” dapat dielaborasi dengan penelitian ini yang menjelaskan bahwa Glutathion memiliki terhadap resistensi klorokuin. Yang mana nantinya karena adanya resistensi obat malaria khususnya klorokuin akibat glutathione menjadikan sebagai informasi tambahan untuk pengembangan obat untuk mencegah resistensi.
6. N. Hiller *et al*, (2006) dengan judul penelitian “*Plasmodium falciparum glutathione S-transferase Structural and mechanistic studies on ligand binding and enzyme inhibition*” dapat dielaborasi dengan penelitian ini yang menjelaskan bahwa glutathione S-transferase (PfGST) merupakan salah satu kelas isoenzim yang dihasilkan oleh parasit malaria *P. falciparum* yang memiliki binding site yang berbeda pada manusia menjadikannya sebagai target untuk perkembangan obat antimalaria. Dari data penelitian tersebut, artemisin, primaquin, dan juga klorokuin secara biologis tidak dapat menghambat PfGST secara *in vivo*. Hal ini menjadi peluang untuk perkembangan obat antimalaria disamping tingginya resistensi obat, juga dikembangkannya obat antimalaria pada enzim PfGST sebagai target protein utama.

E. Tujuan dan Manfaat Penelitian

1. Tujuan Penelitian

- a. Menemukan model persamaan HKSA senyawa turunan zerumbon hasil substitusi ekso-metilen sebagai inhibitor enzim glutathione S-transferase
- b. Menemukan farmakofor ligan aktif pada enzim glutathione S-transferase
- c. Menemukan senyawa aktif turunan zerumbon berdasarkan *virtual screening* yang dapat berfungsi sebagai inhibitor enzim glutathione S-transferase
- d. Mengamati model interaksi senyawa hasil *virtual screening* sebagai inhibitor enzim glutathione S-transferase berdasarkan teknik *docking molekul*
- e. Menemukan prediksi toksisitas dan farmakokinetik senyawa hasil *virtual screening* terpilih secara *in silico*

F. Manfaat penelitian

Penelitian ini dilakukan sebagai dasar teori dalam penemuan dan pengembangan obat baru antimalaria khususnya pada penghambatan enzim PfGST sebagai terobosan baru yang menjadi protein target dan juga dapat memprediksi aktivitas senyawa kimia sebelum menuju ke tahap penelitian *in vitro* dan *in vivo*. Penelitian ini juga bermanfaat untuk institusi pendidikan yang memuat informasi mengenai senyawa turunan zerumbon yang dapat menghambat siklus hidup malaria khususnya pada enzim pfGST, selain itu juga sebagai bahan tambahan untuk wawasan serta pengetahuan docking molekuler ataupun HKSA.

BAB II

TINJAUAN PUSTAKA

A. Studi In silico

Substansi aktif alam dapat berinteraksi dengan bio-molekul, melalui berbagai macam mekanisme, seperti aktivasi enzim atau proses terbukanya channel ion, yang mana menunjukkan suatu respon biologis. Mekanisme tersebut ditentukan dari kandungan kimia dari substansi yang relevant, yang sebagian besar masih belum diketahui, khususnya substansi yang bersifat racun yang mestinya pelajari secara eksperimental (Benfenati, 2012).

Terdapat 3 jenis pendekatan yang dapat digunakan untuk melihat aktivitas biologis dari suatu molekul, yaitu secara *in vivo* seperti pengujian hewan coba, secara *in vitro* dengan cara mengembangkan kultur sel, dan simulasi *in silico* yang mana merujuk pada screening dengan sistem komputer. Pengujian secara *in vivo* dan *in vitro* sangat membutuhkan banyak waktu dan biaya. Selain itu, pengujian menggunakan hewan coba sekarang dianggap tidak dapat diterima secara etis oleh sebagian besar hewan. Untuk alasan ini, dan juga karena peningkatan pengembangan komputasi, komunitas peneliti dan dunia industri telah menggunakan pendekatan *in silico*, atau memandangnya sebagai alternatif yang memungkinkan, dan telah mengembangkan sejumlah model dan strategi yang dapat memprediksi sifat-sifat dari suatu senyawa atau molekul eksperimental (Benfenati, 2012)

Mayoritas utama dari metode *in silico* merupakan generasi lanjutan dari data *in vivo* dan *in vitro* untuk ketepatan modeling dan validasi berbagai aplikasi dari desain ligan dan optimasi untuk karakterisasi sifat farmakologis mendasar seperti absorpsi, distribusi, metabolisme, ekskresi dan toksisitas (Noori & Spanagel, 2013).

Kimia komputasi sangat berperan dalam dunia kimia medisinal karena sangat berguna dalam desain obat, prediksi sifat fisika kimia obat, dan aktivitas molekul obat tersebut. Mengurangi biaya dan waktu karena telah diprediksikan melalui perhitungan komputasi (Sardjoko, 1993).

B. Hubungan Kuantitatif Struktur-Aktivitas (HKSA)

Model Hubungan Kuantitatif Struktur-Aktivitas adalah model yang menghubungkan properti atau efek dari suatu molekul, seperti titik didih atau toksisitas, hingga parameter yang terkait dengan struktur kimia seperti deskriptor molekul tertentu. Model ini dapat digunakan untuk menilai suatu zat kimia dalam pendekatan *in silico* (Noori & Spanagel, 2013).

HKSA merupakan suatu langkah untuk menemukan persamaan sederhana yang dapat digunakan untuk menghitung beberapa properti dari struktur molekul suatu senyawa. Metode ini digunakan dengan cara mengkorelasikan fitur molekul struktural (deskriptor) dengan sifat fisikokimia seperti aktivitas biologis kumpulan senyawa, dengan menggunakan metode statistik. Sehingga nantinya didapatkan persamaan matematika sederhana (Noori & Spanagel, 2013).

Penggunaan dari HKSA dapat diperluas pada berbagai macam jenis desain molekul apapun, termasuk prediksi berbagai jenis aktivitas biologis, optimization

lead compound, dan prediksi *structural leads* dalam pengembangan obat (Ekinci, 2012).

HKSA termasuk hal penting dalam merancang obat selain mendapatkan desain obat yang memiliki efek lebih besar, juga didapatkan aktivitas, selektivitas yang tinggi hingga efek samping yang kecil dan kenyamanan penggunaan yang baik. Model QSAR ini lebih ekonomis karena faktor coba dikurangi sehingga jalur sintesisnya pun lebih pendek (Das et al., 2015).

1. Model Pendekatan HKSA Free-Wilson

Konsep hubungan struktur dan aktivitas biologis obat yang dikembangkan oleh Free dan Willson (1964) dengan istilah model *de novo* Free-Wilson menyatakan bahwa respon biologis disebabkan oleh aktivitas dari gugus substituen terhadap aktivitas senyawa utama.

Kekurangan model Free-Wilson antara lain:

- 1) Tidak digunakan jika tidak bersifat tidak linear atau terdapat interaksi antar substituen
- 2) Membutuhkan senyawa yang banyak dengan kombinasi substituen bermacam-macam agar dapat ditarik kesimpulan yang baik.

Kelebihan model Free-Wilson antara lain :

- 1) Hubungan kuantitatif antara struktur dan aktivitas dari berbagai senyawa dapat terlihat jelas.

- 2) Digunakan ketika tidak ada tetapan sifat fisika dan kimia dari senyawa yang digunakan begitupun pada uji aktivitas.

2. Model Pendekatan HKSA Hansch

1) Deskriptor elektronik

a) Momen Dipol (AM1_dipole)

Momen dipol adalah property fisika kimia yang penting. Berdasarkan definisinya, titik vector elektrik momen dipol dari pusat distribusi bermuatan positif ke pusat distribusi bermuatan negatif. Hal ini akan melengkapi mengenai struktur dan polaritas molekul (Nesterov et al., 2004)

b) Panas Pembentukan (AM1_HF)

Panas pembentukan (ΔH_f) merupakan hal dasar pada sifat fisika kimia. Secara definisi, perubahan entalpi yang disertai pembentukan 1 mol senyawa dalam keadaan standar. Elemen standar tersebut termasuk seperti gas, hydrogen, karbon padat bentuk grafit, dan lain-lain, memiliki entalpi standar pembentukan nol, karena tidak ada perubahan yang terlibat dalam pembentukan molekulnya (Vatani et al., 2009).

c) EHOMO, ELUMO, dan EHOMO - ELUMO (Celah H - L)

EHOMO berhubungan dengan kemampuan molekul yang memiliki donor energi tertinggi pada suhu nol mutlak. Dengan kata lain, senyawa atau molekul yang memiliki nilai EHOMO yang tinggi, relatif memiliki kemampuan donor yang tinggi dan juga lebih reaktif. Sebaliknya, ELUMO

berhubungan pada kemampuan molekul sebagai akseptor elektron. (Das et al., 2015).

2) Deskriptor Hidrofobik

Parameter ini cukup penting dalam pengembangan obat. Pasalnya, parameter ini terdiri dari koefisien partisi ($\log P$) yaitu partisi molekul antara fase minyak dan air. Parameter ini sangat berguna pada prediksi farmakokinetik sehingga sangat berefek pada kemampuan obat baru yang akan didesain. Semenjak Hansch et al. memelopori logaritma koefisien partisi antara n-oktanol dan air ($\log P_{oct}$ atau $\log P$) telah digunakan secara luas sebagai deskriptor hidrofobik pada analisis HKSA (Verma & Hansch, 2011).

3) Deskriptor Sterik

Berbagai macam parameter yang mampu menghitung kemampuan sterik suatu molekul, salah satunya yaitu Parameter ES Taft yang ditunjukkan dalam persamaan:

$$ES = \log(kX/kH)_{\text{asam}}$$

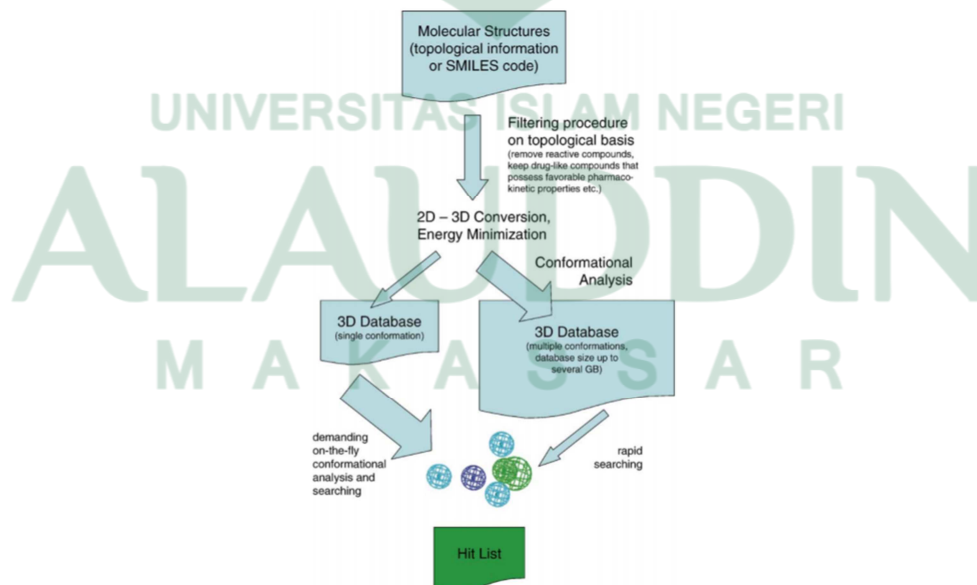
Nilai kX dan kH adalah nilai laju untuk hidrolisis asam dari ester, XCH_2COOR dan CH_3COOR . Beberapa parameter sterik lainnya adalah volume molar ($MgVol$), refraktivitas molar (mr), dan parameter strimol Verloop seperti panjang (L), berat molekul (BM) dan beberapa parameter lainnya yang berpengaruh (Verma & Hansch, 2011).

4) Leave One Out Cross Validation (LOOCV)

Pada LOOCV, satu senyawa dihilangkan dan model HKSA dibuat berdasarkan senyawa yang tersisa. Eliminasi senyawa digunakan sebagai pengujian untuk prediksi model. Proses ini diulangi dengan mengeliminasi senyawa yang lainnya di data satu persatu. Hasilnya akan didapatkan dan digunakan untuk estimasi dari parameter yang digunakan. Dapat meramalkan dan menaksirkan jumlah residu (PRESS) dan validasi silang (Q^2) (Roy & Kar, 2015).

C. Searching Fitur Farmakofor dan Virtual Screening

Fitur farmakofor telah terbukti sangat efektif dari berbagai jenis farmakofor dan utilitas seperti model database 3D. Ketika struktur 3D dari target telah dikarakterisasi, dan jumlah ligan juga tersedia, model farmakofor dapat ditemukan berdasarkan kompleks struktur dari ligan dan target (Langer, 2004).

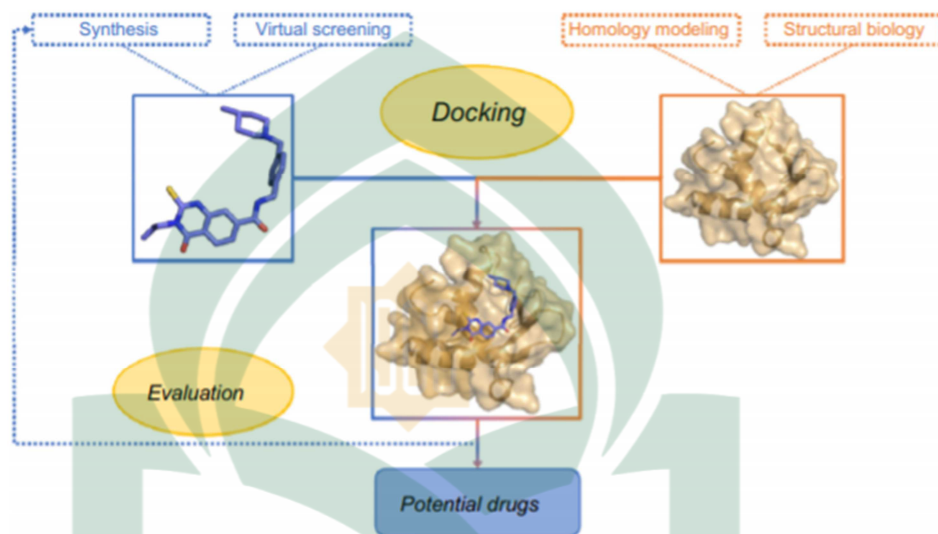


Gambar 1 Strategi penelitian database 3D (Langer & Wolber, 2004)

Setelah mendapatkan model farmakofor, terdapat dua cara untuk identifikasi molekul baru dan diharapkan dapat memicu aktifitas biologis. Pertama melalui design *de novo*. Hal ini mengacu pada hubungan bagian dari farmakofor bersama dengan fragmen untuk mendapatkan struktur molekul baru. Kedua melalui database 3D farmakofor searching, metode ini lebih menguntungkan karena senyawa langsung didapatkan dari berbagai macam senyawa kimia yang terdapat pada library atau dapat disintesis menggunakan protocol yang ada. Searching farmakofor 3D dapat mengidentifikasi berbagai macam senyawa kimia yang nantinya digunakan untuk identifikasi senyawa utama dari struktur kimia dan fitur kimia (Langer. 2004).

D. 19 Docking Molekul

Proses membawa dan mengikat antara dua molecular secara bersama disebut dengan docking. Docking merupakan pilihan utama untuk modeling 3D struktur dari reseptor-ligan kompleks dan mengevaluasi stabilitas dari kompleks tersebut yang nantinya menentukan respon biologis. Secara garis besar terdapat dua step, pertama, mencari jarak konformasi dari ligan yang berikatan dengan molekul target. Dan kedua scoring, mengurutkan hasil docking yang memenuhi persyaratan afinitas ikatan (Reddy et al., 2007)



Gambar 2. Ringkasan pendekatan desain obat berbasis struktur klasik (de Ruyck et al., 2016)

Berdasarkan dari gambar, untuk mendapatkan obat baru, diperlukan protein kompleks dan kompleks antara protein dan asam nukleik, dan dua atau lebih molekul baik itu dari hasil sintesis ataupun dari hasil virtual screening. Dari hasil komputasi dan docking ditemukanlah obat yang berpotensi memiliki aktivitas biologis. Namun, perlu dilakukan berbagai macam evaluasi untuk melanjutkan ke tahap berikutnya (Ruyck. 2016)

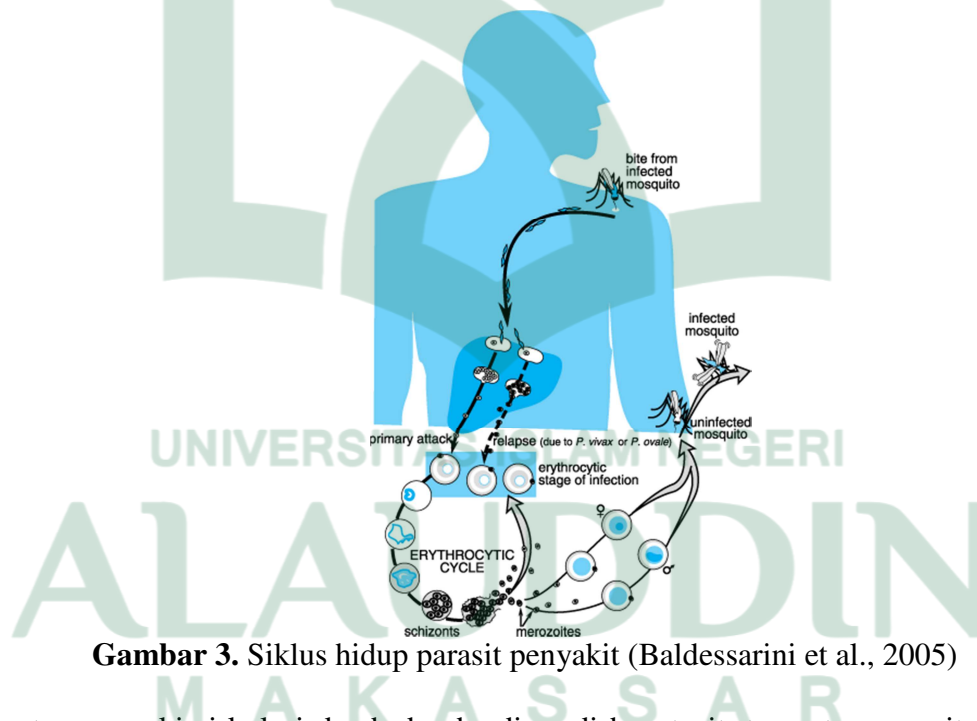
E. Prediksi In Silico dari Farmakokinetik

Berbagai macam penelitian mengenai ADME/T berdasar pada tingkat kegagalan desain obat dan biaya dalam proses pembuatannya. Karena ADME/T yang belum dapat diprediksikan menyebabkan banyaknya obat gagal dalam pemasaran dan berbagai macam obat ditarik dari edaran. Sehingga, peran studi In Silico dalam memprediksi sifat ADME/T sangat penting dan telah diapresiasi.

Bioavailabilitas, aktivitas obat, dan toksisitas suatu obat dipengaruhi oleh biotransformasi metabolik dari suatu senyawa. (Hou & Wang, 2008).

F. Malaria

Malaria menyerang hampir 500 juta orang dan menyebabkan kematian 2 juta jiwa setiap tahun. Hampir semua kasus kematian ini disebabkan oleh infeksi *Plasmodium falciparum*. Malaria ditularkan melalui gigitan nyamuk betina *Anopheline* yang telah terinfeksi. Sporozoit secara



Gambar 3. Siklus hidup parasit penyakit (Baldessarini et al., 2005)

cepat memasuki sirkulasi darah dan berdiam di hepatosit, tempat sporozoit tersebut bertransformasi, memperbanyak diri, dan berkembang menjadi skizon jaringan (Baldessarini et al., 2005).

Tahap asimtomatik primer ini (pra-eritrosit atau eksoeritrosit) berlangsung selama 5-15 hari, bergantung pada spesies *Plasmodium*. Skizon jaringan kemudian

pecah, melepaskan merozoit yang masuk ke sirkulasi darah, menginvasi eritrosit, dan memulai siklus eritrosit. Pada infeksi *P. falciparum* dan *P. malariae*, saat skizon jaringannya pecah, tidak ada parasit yang terdapat di hati. Pada infeksi *P. vivax* dan *P. ovale*, parasit jaringan (hipnozoit) bertahan dan dapat menyebabkan kekambuhan bertahun-tahun setelah serangan primer. Jika plasmodia telah memasuki siklus eritrosit, plasmodia tidak dapat menyerang hati kembali, sehingga tidak ada tahap infeksi jaringan untuk malaria yang disebabkan oleh transfusi. Dalam eritrosit, kebanyakan parasit mengalami perkembangan aseksual dari bentuk muda sampai trophozoit dan akhirnya menjadi skizon dewasa. Eritrosit yang mengandung skizon akan pecah, menimbulkan serangan klinis berupa demam. Merozoit menyerang lebih banyak eritrosit untuk melanjutkan siklus. Periode parasitemia dan demam bergantung pada waktu pembentukan generasi parasit dalam eritrosit, *P. falciparum*, *P. vivax*, dan *P. ovale* membutuhkan -48 jam untuk menuntaskan proses ini, *P. malariae* membutuhkan -72 jam (Baldessarini et al., 2005).

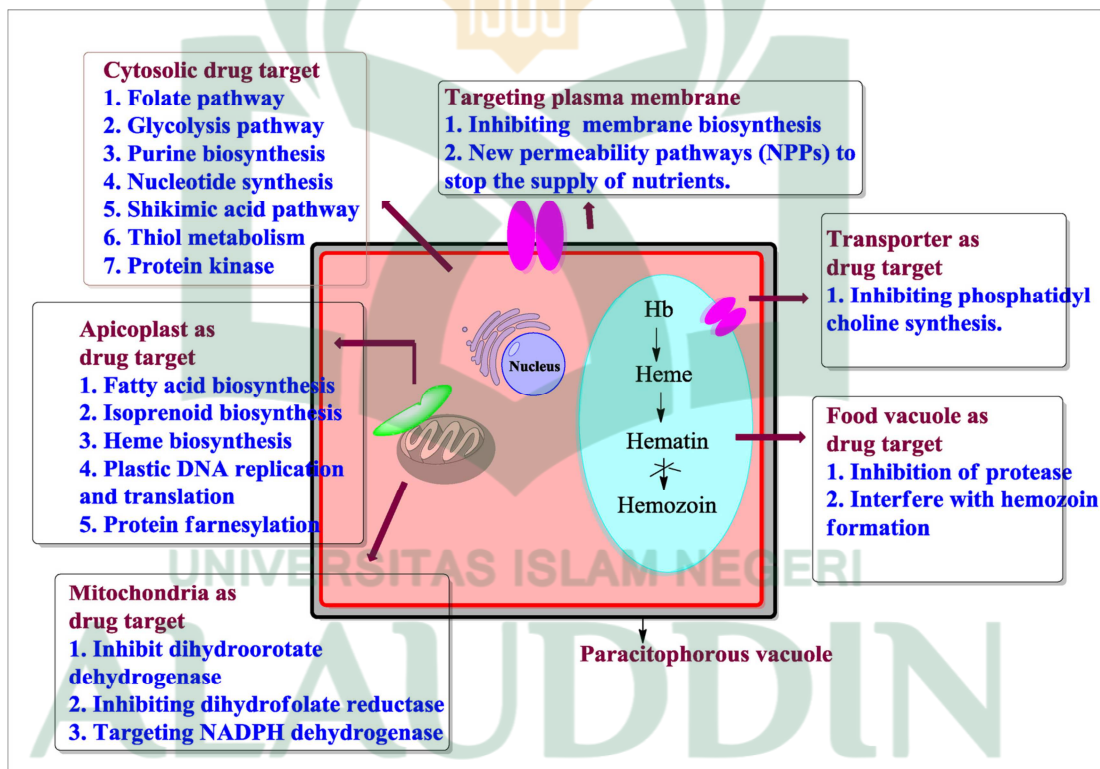
Merozoit berikatan dengan ligan pada permukaan sel darah merah. *P. falciparum* mengenali beberapa molekul dan menyerang semua tahapan eritrosit, oleh sebab itu, infeksi ini dapat mencapai parasitemia yang tinggi. *P. vivax* mengenali protein spesifik-retikulosit, sehingga Plasmodium ini menyerang retikulosit dan jarang melebihi 1% parasitemia di aliran darah. *P. ovale* mirip dengan *P. vivax* dalam kecenderungan sel darah merah muda. *P. malariae* hanya

mengenali sel darah merah yang sudah tua, mempertahankan parasitemia yang sangat rendah, dan menyebabkan infeksi yang lambat. *P. falciparum* menyatukan protein *cytoadherence* menjadi struktur yang disebut *knob* pada permukaan eritrosit, sehingga eritrosit yang terinfeksi parasit dapat menempel pada endotelium pembuluh darah. Hal ini dapat menyebabkan penyumbatan mikrovaskular di otak dan jaringan organ serta melepaskan mediator vaskular secara lokal, sehingga menimbulkan malaria serebral (Baldessarini et al., 2005).

Beberapa parasit eritrosit berdiferensiasi menjadi bentuk seksual yang disebut gametosit. Setelah nyamuk betina mengonsumsi darah yang terinfeksi, terjadi eksflagelasi pada gametosit jantan yang diikuti dengan fertilisasi gametosit betina dalam usus nyamuk. Zigot yang dihasilkan, yang berkembang menjadi oosit dalam dinding usus, akhirnya tumbuh menjadi sporozoit. Sporozoit kemudian menginvasi kelenjar saliva nyamuk. Selanjutnya, serangga tersebut dapat menginfeksi inang manusia dengan cara mengambil darah dari manusia (Baldessarini et al., 2005).

G. Enzim glutathione S-transferase

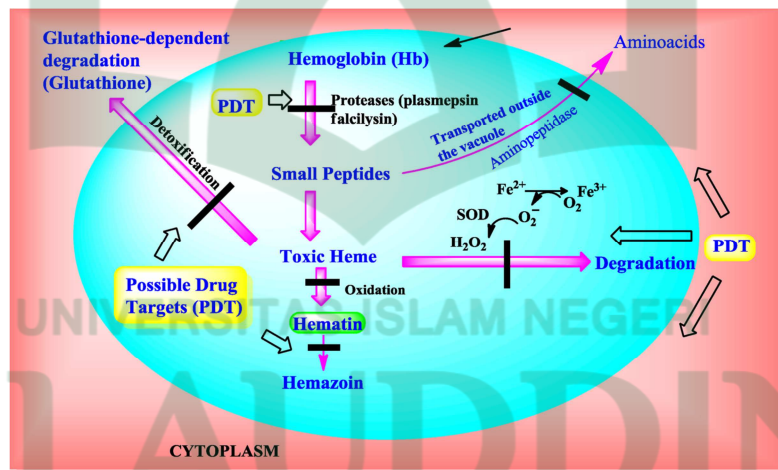
Terdapat berbagai macam usaha yang dilakukan untuk penyembuhan malaria. Pengembangan resistensi obat, menjadi rintangan untuk kesuksesan terapi malaria, sebagian besar penelitian diarahkan untuk mengatasi kemunculan dan penyebaran resistensi terhadap obat. Berikut merupakan gambaran perbedaan obat untuk terapi malaria (Kumar et al., 2018).



Gambar 4. Gambaran target obat malaria (Kumar et al., 2018)

Vesikel pencernaan pada vakuola, memberikan perkembangan yang besar pada parasit malaria di dalam eritrosit manusia. Organ ini bertanggung jawab degradasi 60-80% dari hemoglobin sel darah merah pada inang, menyediakan kumpulan asam amino yang digunakan untuk pertumbuhan dan perkembangan

malaria. Penelitian lanjut pada jalur degradasi ini dapat menjanjikan untuk pengembangan obat malaria baru. Jalur ini dimulai oleh serangkaian protease yang mencerna hemoglobin menjadi peptida kecil (proteolisis). Selama proteolisis, heme dilepaskan dari hemoglobin sebagai produk sampingan toksik yang didetoksifikasi dikonversi menjadi hemozoin. Hemozoin mengandung hingga 95% molekul zat besi bebas yang diproduksi selama pencernaan hemoglobin. Degradasi hemoglobin oleh hidrogen peroksida di dalam vakuola dan degradasi glutathione dalam sitoplasma merupakan mekanisme yang bertanggung untuk degradasi hemoglobin (Kumar et al., 2018).



Gambar 5. Vakuola parasit malaria intra-eritrositik sebagai target obat (Kumar et al., 2018)

Penghapusan heme yang beracun sangat penting untuk kelangsungan hidup plasmodium. Setelah dikonversi menjadi hemozoin, heme yang beracun akan didegradasi oleh hidrogen peroksida (H₂O₂) yang dilepaskan pada tahap oksihemoglobin (Fe²⁺) diubah menjadi methemoglobin (Fe³⁺). Oksigen reaktif

seperti radikal anion superoksida (SOD), H_2O_2 dan hidroksi diproduksi yang menyebabkan tekanan oxidative (Kumar et al., 2018).

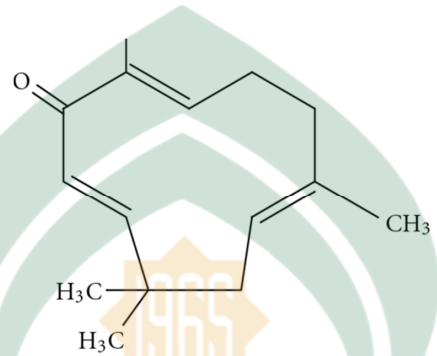
Beberapa heme juga terdegradasi oleh pengurangan glutathione, yang dapat berdifusi ke dalam sitoplasma parasit. Dan juga telah ditemukan bahwa pencernaan hemoglobin melepaskan peptida yang akan dibawa menuju sitoplasma, yang selanjutnya pembelahan proteolitik mengacu pada produksi asam amino bebas. Untuk kedepannya, jalur penghambatan glutathione inilah yang diharapkan digunakan untuk pengembangan target obat antimalaria yang baru (Kumar et al., 2018).

GSH tripeptida merupakan senyawa yang terdapat pada sel eukariotik. Bekerja sebagai buffer redox. Pada plasmodium, senyawa ini berperan untuk homeostatis intraseluler, melindungi dari tekanan oksidatif dan mendegradasi ferriprotopofirin IX (FP IX) yang berpengaruh dalam resistensi obat. Banyaknya GSH diproduksi dan diatur melalui sintesis GSH, reduksi GSH dan efflux glutathion. (Sari, 2014).

H. Zerumbon dan Turunan Ekso-Metilen

Zerumbon (ZER) merupakan hasil isolasi fitokimia dari tumbuhan subtropikal famili Zingiberaceae dan sebagai *natural compound* berbagai macam bahan biomedikal seperti aktivitas antioksidan, anti-inflamasi anti-proliferatif. Untuk pertama kalinya, pada tahun 1956, ZER didapatkan dari minyak esensial yang diekstrak dari akar *Zingiber zerumbet*. Dan pada tahun 1960, struktur ZER telah

diinventigasi dan karakterisasikan menggunakan NMR dan sinar X (Kalantari et al., 2017).



Gambar 6. Struktur Senyawa Zerumbon (Kalantari et al., 2017)

Beberapa penelitian mengemukakan bahwa, ZER tidak memiliki efek toksik pada beberapa organ seperti ginjal dan hati. Mereka juga melakukan evaluasi pada minuman dan makanan, dapat menurunkan berat badan, histologi, bahkan sebagai serum biokimia dan hematologi. Hasilnya memperlihatkan bahwa ZER memiliki toksisitas yang aman pada pengobatan kanker. ZER juga dapat digunakan sebagai anti-inflamasi, antimikroba, dan anti-oksidan. Aktivitas anti-gastriculcer, dan immunodulatory juga dikemukakan (Kalantari et al., 2017).

Selain itu, zerumbon bersifat sebagai antimalaria dan sitotoksik pada NCI-H187 (jaringan kanker paru-paru pada manusia), BC (sel kanker payudara), dan KB (Epidermoid karsinoma manusia), dan sel normal (sel vero). Dalam skrining bioaktivitas memperlihatkan bahwa zerumbon memiliki aktivitas antimalaria yang kuat pada *P. Falciparum* dengan IC50 sebanyak 11.8 μ M. Yang mana, senyawa zerumbon ini bukan hanya digunakan sebagai antikanker, juga memiliki aktivitas sebagai antimalaria (Sriphana et al., 2013).

Zerumbone memiliki reaktivitas yang kuat dan mengandung ikatan rangkap terkonjugasi dan gugus karbonil terkonjugasi ganda yang merupakan komponen penting dari minyak atsiri jahe, Zingiber zerumbet. Sistem terkonjugasi terbesar memiliki peran penting dalam ekspresi aktivitas biologis (Kitayama et al., 2013).

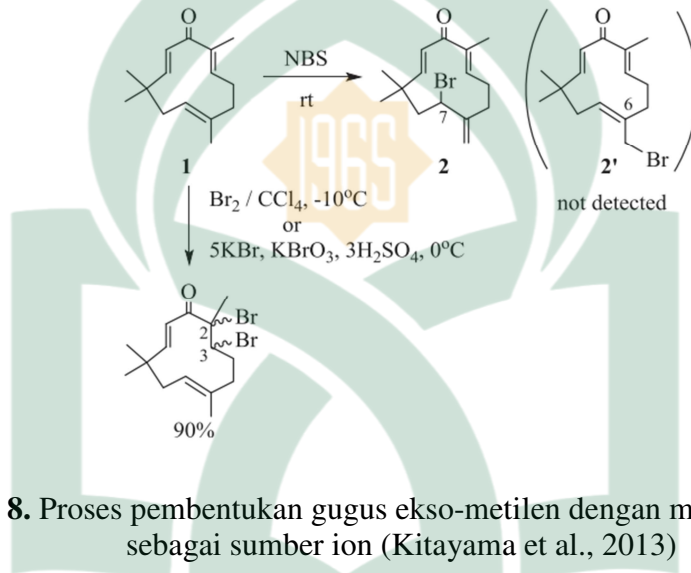


Gambar 7. Sistem konjugasi pada zerumbone yang dapat memberikan berbagai macam aktivitas biologis (Kitayama et al., 2013)

Dalam perlakuannya untuk diperoleh turunan ekso-metilen, dilakukan perlakuan dengan pelarut bromin pada carbon tetrachlorida atau $KBrO_3$ yang nantinya zerumbone akan bereaksi menjadi 2,3-dibromozerumbone. Hal ini memperlihatkan bahwa rantai ion bromonium pertamanya terbentuk pada C2 dan C3; oleh karena itu, ion bromonium diaktifkan dari berbagai macam reaksi (Kitayama et al., 2013).

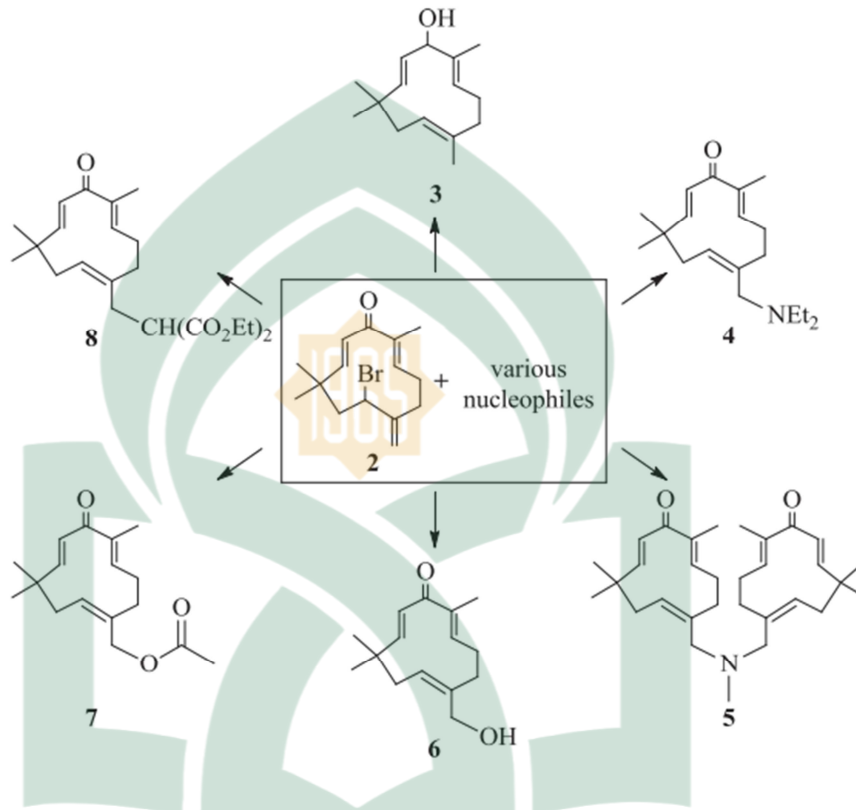
Karena N-Bromosuksinimida atau NBS bertindak sebagai sumber ion bromonium, 17-bromohidroksilasi pada C2 dan C3 harus terjadi pada reaksi NBS dengan zerumbone pada sistem cair. Namun, pada perlakuan NBS dilakukan pada suhu ruang, zerumbone juga akan diubah menjadi bentuk ke 2 bromin pada C7 dan gugus ekso-metilen pada C6 setelah penataan ulang alilik. Disisi lain, senyawa 2' tidak dapat diproduksi pada kondisi ini. Meskipun perbedaan dalam reaktivitas

antara 6-metil karbon dan C7 hampir tidak diamati dalam perhitungannya. Setidaknya, sangat menarik bahwa zerumbon dapat menghasilkan radikal bromo (Kitayama et al., 2013).



Gambar 8. Proses pembentukan gugus ekso-metilen dengan menggunakan NBS sebagai sumber ion (Kitayama et al., 2013)

Dari senyawa turunan ekso-metilen tersebut akan diberikan berbagai macam nukleofil yang memiliki aktivitas. Reaktivitas turunan ekso-metilen sebagai perantara telah dipelajari menggunakan berbagai macam nukleofil. Dengan menggunakan prosedur sintetik baru tipe $\text{S}_{\text{N}}2$ untuk mendapatkan turunan zerumbon yang diinginkan, termasuk ikatan Ce-H, Ce-O, Ce-N, dan Ce-C yang dapat menjaga struktur utama tetap sempurna (Kitayama et al., 2013).



Gambar 9. Zerumbon turunan ekso-metilen dengan berbagai macam nukleofil (Kitayama et al., 2013)

I. Tinjauan Islam

Dalam penciptaan-Nya, Allah menciptakan seluruh makhluk hidup.. Termasuk manusia, hewan, dan tumbuhan, bahkan sampai mikroorganisme. Allah SWT berfirman dalam Q.S Al-Baqarah ayat 26 :

إِنَّ اللَّهَ لَا يَسْتَحْيِي أَنْ يَضْرِبَ مَثَلًا مَّا بَعُوضَةً فَمَا فَوْقَهَا فَأَمَّا الَّذِينَ آمَنُوا فَيَعْلَمُونَ
 أَنَّهُ الْحَقُّ مِنْ رَبِّهِمْ وَأَمَّا الَّذِينَ كَفَرُوا فَيَقُولُونَ مَاذَا أَرَادَ اللَّهُ بِهَذَا مَثَلًا يُضِلُّ بِهِ
 كَثِيرًا وَيَهْدِي بِهِ كَثِيرًا وَمَا يُضِلُّ بِهِ إِلَّا الْفَاسِقِينَ

Terjemahannya :

Sesungguhnya Allah tiada segan membuat perumpamaan berupa nyamuk atau yang lebih rendah dari itu. Adapun orang-orang yang beriman, maka mereka yakin bahwa perumpamaan itu benar dari Tuhan mereka, tetapi mereka yang kafir mengatakan, "Apakah maksud Allah menjadikan ini untuk perumpamaan?" Dengan perumpamaan itu banyak orang yang disesatkan Allah, dan dengan perumpamaan itu (pula) banyak orang yang diberi-Nya petunjuk. Dan tidak ada yang disesatkan Allah kecuali orang-orang yang fasik, (Kementrian Agama, Al-Qur'an dan Terjemahnya. 2018).

Menurut tafsir Ibnu Katsir, melalui ayat ini Allah memberitakan bahwa Dia tidak pernah menganggap remeh sesuatu pun untuk dijadikan sebagai misal (perumpamaan), sekalipun sesuatu itu hina lagi kecil seperti nyamuk; sebagaimana Dia tidak segan-segan menciptakan makhluk yang kecil itu, Dia tidak segan-segan pula membuat perumpamaan dengan makhluk kecil itu (Abdullah. 2005).

Dari ayat tersebut Allah dapat menciptakan apapun yang lebih kecil baik itu dalam tingkatan mikroorganisme ataupun dalam tingkatan atom. Dalam hal ini, Allah dapat menciptakan mikroorganisme baik yang menguntungkan ataupun merugikan yang dapat memberikan penyakit. Namun, di sisi lain Allah memberikan obat apapun jenis penyakit. Nabi Muhammad SAW berfirman (H.R Sunan Abu Dawud No. 3376 dalam Kitab Pengobatan) :

قَالَ رَسُولُ اللَّهِ صَلَّى اللَّهُ عَلَيْهِ وَسَلَّمَ إِنَّ اللَّهَ أَنْزَلَ الدَّاءَ وَالِدَوَاءَ وَجَعَلَ لِكُلِّ دَاءٍ

دَوَاءً فَتَدَاوُوا وَلَا تَدَاوُوا بِحَرَامٍ

Artinya :

Rasulullah shallallahu 'alaihi wasallam bersabda: "Sesungguhnya Allah telah menurunkan penyakit dan obat, dan menjadikan bagi setiap penyakit terdapat

obatnya, maka berobatlah dan jangan berobat dengan sesuatu yang haram!
(Sulaiman, t.th: 7).

Dari pernyataan tersebut terlihat jelas bahwa, ketika dihadapkan pada penyakit, kita haruslah tetap berusaha untuk menemukan obat-obat dari segala jenis penyakit, karena Allah akan selalu menurunkan obat dari jenis penyakit yang Allah turunkan pula. Selain itu kita juga diharuskan untuk berobat dengan sesuatu yang halal.

Beberapa langkah yang baik dalam menemukan obat ialah dengan menemukan obat dari segi molekuler yang nantinya dapat dikembangkan dan dapat memberikan tingkat penyembuhan yang tinggi, meminimalisir efek samping, dan sumber obat dari tumbuhan dan hewan yang halal.

Seiring dengan berkembangnya zaman, telah ditemukan beberapa metode untuk pengembangan obat baru. Sebagai contoh, penemuan obat berdasarkan molekulernya. Meskipun saat ini, pada tingkatan molekuler tidak dapat dilihat secara kasat mata, kita sebagai Manusia haruslah tetap terus belajar untuk mengetahui pengetahuan Allah baik itu sekecil apapun objek yang akan dipelajari tersebut, sesuai dengan ayat QS. Yunus/10 : 61, Allah swt, berfirman :

وَمَا تَكُونُ فِي شَأْنٍ وَمَا تَتْلُو مِنْهُ مِنْ قُرْآنٍ وَلَا تَعْمَلُونَ مِنْ عَمَلٍ إِلَّا كُنَّا عَلَيْكُمْ شُهُودًا
إِذْ تُفِيضُونَ فِيهِ ۗ وَمَا يَعْزُبُ عَنْ رَبِّكَ مِنْ مِثْقَالِ ذَرَّةٍ فِي الْأَرْضِ وَلَا فِي السَّمَاءِ وَلَا
أَصْغَرَ مِنْ ذَلِكَ وَلَا أَكْبَرَ إِلَّا فِي كِتَابٍ مُبِينٍ

Terjemahnya:

Kamu tidak berada dalam suatu keadaan dan tidak membaca suatu ayat dari al-Quran dan kamu tidak mengerjakan suatu pekerjaan, melainkan Kami

menjadi saksi atasmu di waktu kamu melakukannya. Tidak luput dari pengetahuan Tuhanmu biarpun sebesar zarah (atom) di bumi ataupun di langit. Tidak ada yang lebih kecil dan tidak (pula) yang lebih besar dari itu, melainkan (semua tercatat) dalam kitab yang nyata (Lauh Mahfuzh) (Kementrian Agama, Al-Qur'an dan Terjemahnya. 2018).

Tafsir Al-Azhar menjelaskan tafsir zarah adalah benda kecil yang tidak dapat dibagi lagi. Atom bisa dipecah menjadi neutron, proton dan elektron. Zarah hal yang terkecil. Zarah yang sangat kecil tidak luput dari perhatian Allah swt baik yang ada di bumi maupun yang ada di langit (Hidayat, 2020).

Dari ayat tersebut, kuasa Allah tidak pernah luput meskipun sekecil apapun benda tersebut. Dengan penelitian ini, diharapkan ditemukannya desain obat baru secara molekuler yang dapat mengobati malaria. Karena kita sebagai manusia haruslah tetap terus belajar akan pengetahuannya sebagai bentuk amalan kita.

UNIVERSITAS ISLAM NEGERI
ALAUDDIN
M A K A S S A R

BAB III

METODOLOGI PENELITIAN

A. Jenis dan Lokasi Penelitian

1. Jenis Penelitian

Jenis penelitian ini adalah studi eksperimental kuantitatif, yaitu menentukan secara matematis HKSA senyawa turunan zerumbon sebagai agen antiplasmodium. Selain itu juga menentukan ligan yang memiliki aktivitas antimalaria berdasar fitur farmakofor dan interaksi dari protein target enzim PfGST.

2. Lokasi Penelitian

Penelitian ini dilakukan di Laboratorium Komputer Fakultas Kedokteran dan Ilmu Kesehatan Universitas Islam Negeri Alauddin Makassar.

B. Pendekatan Penelitian

Penelitian ini didasari dengan pendekatan pra eksperimen dengan system komputasi, yaitu penelitian eksperimen yang menggunakan kelompok studi tanpa menggunakan kelompok kontrol serta pengambilan responden tidak dilakukan randomisasi, variabel terkait secara otomatis akan ditentukan dengan software program komputer.

C. Sumber Data

1. Data Primer

Pada penelitian ini digunakan data primer yaitu struktur molekul dari zerumbon yang disubstitusi dengan *exo-methylene*.

2. Data Sekunder

Pada penelitian ini digunakan data sekunder yaitu protein PfGST yang diunduh dari situs protein Data Bank/RCSB PDB (<https://www.rscb.org>) dan ribuan senyawa alami dari situs Zinc Database (<https://www.zinc.docking.org>).

D. Instrumen Penelitian

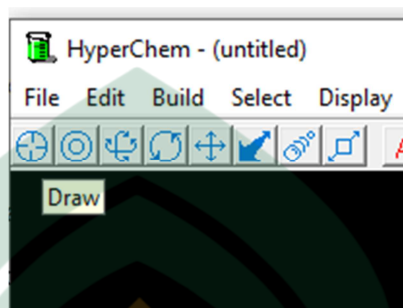
Instrumen yang digunakan dalam penelitian ini adalah perangkat keras berupa laptop yang mampu melakukan perhitungan kimia komputasi dengan spesifikasi : *Processor Intel® Core™ i5-9300 CPU @ 2.40 GH 2.40 GHz*, RAM 8,00 GB, 64-bit *Operating system* dan *SSD 220 GB* dengan perangkat lunak berupa sistem operasi *Windows™ 10 Version 1909*, *Hyperchem® release 8.0.8*, *Molecular Operating Environment (MOE) release 2015.10*, *Combination generator* dan *Toxtree 3.10.1851*.

E. Prosedur pengolahan dan analisis data

1. Hubungan kuantitatif struktur-aktivitas

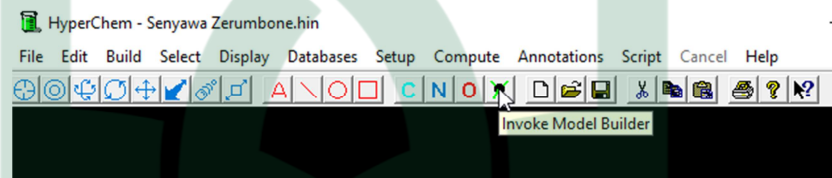
a. Pemodelan struktur molekul

- 1) Untuk menggambar senyawa dilakukan pada softare *hyperchem*, tekan tombol *draw* pada kiri atas dan tekan 2x untuk memilih atom yang akan digunakan atau atom yang berbeda



Gambar 10. Tombol *draw* di Hyperchem

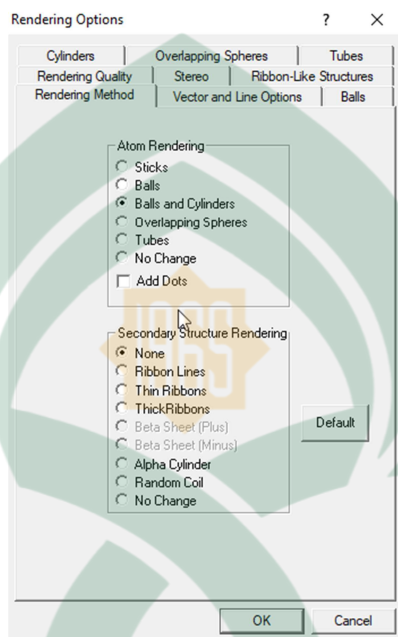
- 2) Setelah digambar senyawa yang dibuat, dilakukan invoke pada senyawa tersebut untuk menambahkan atom H dan penyempurnaan model senyawa yang digambar dengan menekan tombol *invoke model builder*



Gambar 11. Tombol *invoke model builder* di Hyperchem

- 3) Untuk menampilkan secara 3D pada struktur yang telah digambar, *Display > Rendering > pada bagian atom rendering dipilih model yang diinginkan (Balls and cylinders)*

UNIVERSITAS ISLAM NEGERI
 ALAUDDIN
 MAKASSAR

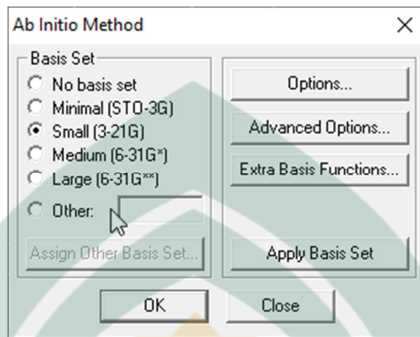


Gambar 12. Panel rendering di Hyperchem

- 4) Disimpan file yang telah digambar dalam bentuk file (*.hin) dengan cara *File > Save As > dipilih lokasi penyimpanan > diisi nama file pada file name > pada save as type dipilih format *.hin.*

b. Optimasi ligan

1. Dibuka file *.hin yang telah disimpan, klik *File > Open > pilih lokasi penyimpanan dan file yang akan dibuka > Open.*
2. Urutan perintah pada program *HyperChem* yaitu *Setup > Ab Initio > basis set : Small.* Selanjutnya, pilih *Compute > Geometry optimization > OK* untuk memulai perhitungan optimasi geometri dengan parameter default.



Gambar 13. Panel optimasi *ab initio*

3. File yang telah dioptimasi disimpan dalam format ekstensi *.mol dengan cara *File > Save As > dipilih lokasi penyimpanan > diisi nama file pada file name > pada save as type dipilih format *.mol.*

c. Kalkulasi deskriptor

Nilai deskriptor dihitung menggunakan software MOE. Dioptimasi kembali senyawa yang akan dikalkulasi.

Tabel 1 Daftar Deskriptor

Simbol pada Software	Simbol ilmiah	Deskriptor
AM1_dipole	μ	Momen dipol
AM1_E	E_{Tot}	Energi total
AM1_HF	E_{Ele}	Energi elektronik
AM	HF	Panas pembentukan
AM1_HOMO	E_{HOMO}	Energi HOMO
AM1_LUMO	E_{LUMO}	Energi LUMO

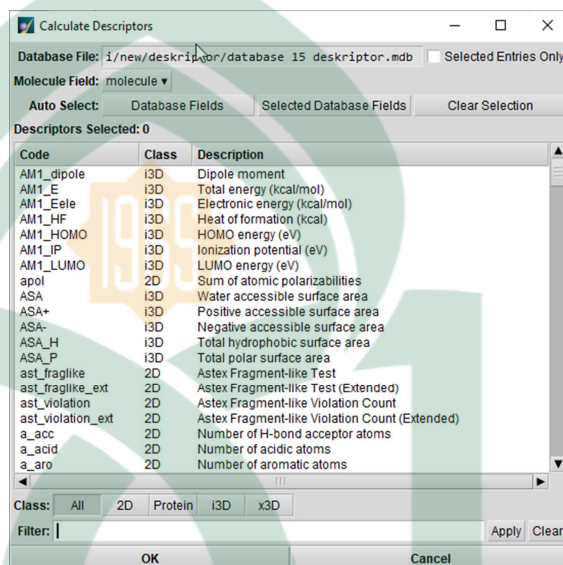
ASA_H	Å	Luas permukaan hidrofobik
ASA_P	Å	Luas Permukaan polar
AM1_IP	IP	Potensial ionisasi
log P (o/w)	log P	Koefisien partisi
log S	log S	Logaritma kelarutan dalam air
Mr	MR	Refraktivitas molar
vdw_vol	Vw	Volume Van der Walls
Vol	Vol	Volume molekuler
VSA	VSA	Luas permukaan Van der Walls

- 1) Untuk pembuatan database dilakukan dengan cara klik *file > Open > dipilih Type : Dir, Name : sample > Type : Dir, Name : mol > Type : moe_mdb, Name : trpstrain.mdb > Open in Database Viewer*. Akan muncul beberapa database, untuk menghapus kolomnya yaitu *pilih kolom yang akan dihapus > Edit > Delete > Selected Entire*, untuk menghapus baris dipilih *Selected Fields* Dan disimpan database kosong tersebut dengan cara *File > Save as > Dipilih file penyimpanan > Diubah nama file > OK*.
- 2) Sebelum memasukkan file molekul ke database, dilakukan optimasi struktur terlebih dahulu untuk meningkatkan keoptimalan struktur meskipun sudah dioptimasi pada software *Hyperchem* dan disimpan pada

format *.moe. Pada jendela program MOE klik *File > Open > dibuka windows explorer dan tempat file format *.mol tadi > pada bagian tab atas di klik kanan lalu pilih copy adress > dibuka MOE > klik pada tab Open isian di atas lalu tekan ctrl + V lalu enter > di klik 1 file *.mol > OK akan muncul senyawa yang telah dibuat di hyperchem. Optimasi dilakukan dengan klik *Compute > Energy Minimize > pada bagian gradien diganti menjadi 0,001 > OK. Kemudian disave klik File > Save As > pilih tempat file penyimpanan > diisi nama file pada file name > pada save as type dipilih format *.moe dilakukan pada tiap senyawa turunan zerumbon secara satu per satu.**

- 3) Kemudian dimasukkan file molekul ke database yang *Klik File pada jendela MOE > Open > paste alamat penyimpanan file *.moe lalu enter > dipilih beberapa file yang telah dioptimasi > Append to Database.*
- 4) Secara otomatis, file senyawa tadi akan masuk ke dalam database dan dilakukan optimasi kembali dengan cara *klik nomor molekul yang akan dioptimasi > Compute > Molecule > Energy Minimize > RMS Gradient: 0.001 > OK. Optimasi dilakukan pada ke 13 senyawa turunan zerumbon sebelum melakukan perhitungan deskriptor.*
- 5) Deskriptor yang digunakan yaitu AM1_Dipole, AM1_E, AM1_Eele, AM1_HOMO, AM1_HF, AM1_LUMO, ASA_P, ASA_H, log P (o/w), vdw_vol, log S, mr, vol, dan VSA. Urutan perintah untuk kalkulasi

descriptor adalah *Compute > Deskriptor > calculate > pilih deskriptor yang akan dihitung > OK.*



Gambar 14. Panel kalkulasi deskriptor MOE

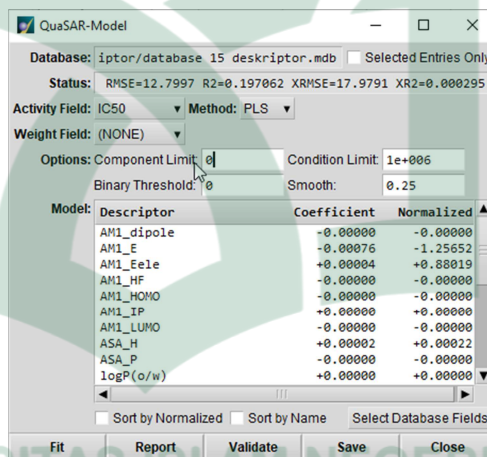
- 6) Setelah perhitungan selesai, dilakukan penambahan kolom untuk IC50 dengan cara klik *Edit > New > Field > New Field Type : float, Name : IC50 > dimasukkan angka IC50 berdasarkan jurnal yang digunakan di klik 2x kolom yang akan diisi.*

d. Perhitungan statistik

Variabel bebas yang digunakan adalah berupa: AM1_Dipole, AM1_E, AM1_Eele, AM1_HF, AM1_HOMO, AM1_LUMO, ASA_H, ASA_P, AM1_IP, log P (o/w), log S, mr, vdw_vol, vol, dan VSA. Hasilnya nanti berupa persamaan HKSA disertai dengan nilai parameter statik nilai r dan r². Dilakukan eliminasi senyawa dengan nilai Z > 2. Jika nilai Z lebih dari 2 maka molekul tersebut tidak

dapat tervalidasi atau variabel bebas (parameter) pada senyawa tersebut tidak dapat memiliki pengaruh terhadap aktivitas senyawa (IC50).

- 1) Dilakukan perhitungan statistik model QSAR dengan cara *Compute > Model > QSAR > pada Activity field : IC50 > Fit > Validate > Centang semua bagian cross validation > OK > Close*. Dari langkah ini akan didapatkan Z score setiap molekul senyawa. Dilakukan eliminasi senyawa yang memiliki Z-Score lebih dari 2.

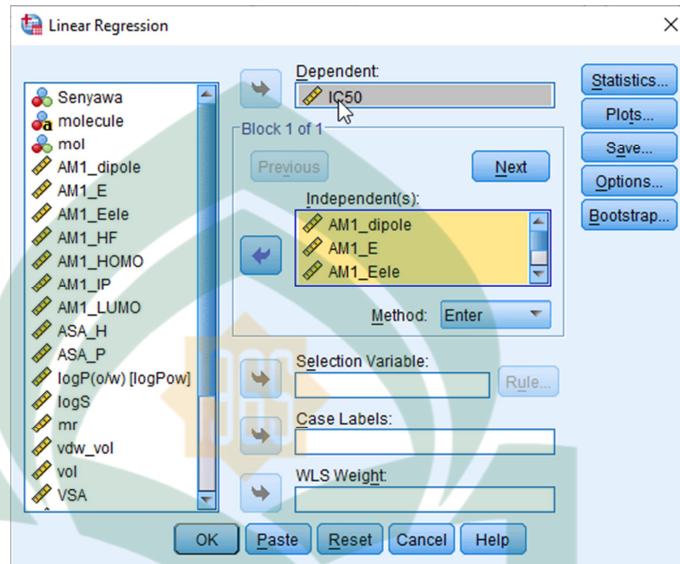


Gambar 15. Panel kalkulasi model QSAR MOE

- 2) Untuk langkah berikutnya dilakukan pada program Microsoft Excel, namun database yang dibuat tadi disimpan terlebih dahulu dengan format *.txt. *Klik File > Save as > pilih file tempat penyimpanan > Output : SMILES/Text (.txt) > di ubah nama file yang akan disimpan > centang Fields Extension > OK*
- 3) Dibuka program Microsoft Excel > buka tab Data > pada Get External Data dipilih from Text > Dipilih tempat file penyimpanan *.txt tadi >

Import > Next > Dientang Comma > Next > Finish. Secara otomatis, data dari database MOE akan masuk ke dalam Excel.

- 4) Disimpan file tersebut dengan cara *File > Save As > Pilih tempat penyimpanan file > Ketik nama file > OK.* Namun, jika nilai parameter yang dimasukkan ke excel berubah maka dilakukan penginputan nilai secara manual berdasarkan database di MOE.
- 5) Sebelum melakukan tahap berikutnya, ditentukan 10 senyawa terbaik dengan 5 kombinasi deskriptor dari 15 total descriptor. Dengan menggunakan program *Combination generator.* Terdapat 3003 kombinasi descriptor dan ditentukan nilai r , r^2 , dan std Error. Nilai $r > 0,8$; nilai $r^2 \geq 0.8$ dan $q^2 \geq 0.5$
- 6) Dibuka program SPSS, pada jendela SPSS dibuka file excel yang telah disimpan tadi dengan cara *Klik File > Open > Data > Files Of Type : Excel (*.xls, *.xlsx, *.xlsm) > Dipilih file penyimpanan > Open > Akan muncul tab Klik OK.*
- 7) Perintah SPSS, *Analyze > Regression > Linier.* Dimasukkan 5 descriptor pada tabel independent dan IC50 di tabel dependent. Nilai r , r^2 dan std Error di lihat pada tabel *Model Summary.*



Gambar 16. Panel regresi linear SPSS

e. Validasi dan penetapan model HKSA

Selanjutnya dilakukan validasi dengan metode *Leave One Out Cross Validation* (LOOCV) yaitu setiap senyawa terprediksi akan dieliminasi pada perhitungan regresi linier. Kriteria validasi yaitu $q^2 \geq 0.5$. Nilai q^2 di hitung menurut persamaan

$$q^2 = 1 - \frac{\sum(y_i - \hat{y}_i)^2}{\sum(y_i - \bar{y}_i)^2}$$

y_i =aktivitas eksperimen senyawa ke-i

\hat{y} = aktivitas eksperimen rata-rata

\bar{y}_i = aktivitas prediksi validasi

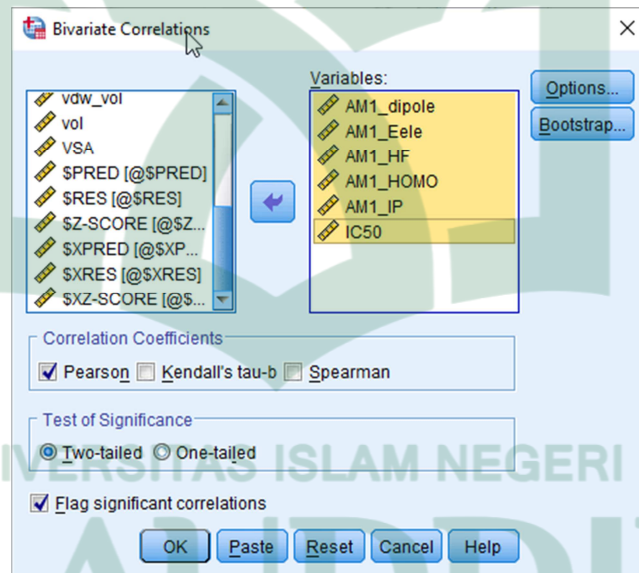
- 1) Setelah didapatkan 10 senyawa terbaik berdasarkan nilai r , r^2 dan std Error, berikutnya ditentukan nilai q^2 melalui validasi LOOCV. Pengerjaan metode LOOCV akan dihitung nilai q^2 dari persamaan regresi

linear dengan cara setiap senyawa bergiliran dihilangkan dari perhitungan. Untuk setiap model HKSA, kita akan mendapatkan 13 persamaan karena 13 senyawa turunan zerumbon yang akan diteliti. Untuk mendapatkan tiap persamaan, misalnya persamaan 1, maka senyawa 1 tidak dimasukkan, jadi persamaan regresi yang kita dapat dihitung dari 12 senyawa yaitu senyawa 2 sampai 13 begitu seterusnya hingga didapatkan 13 persamaan regresi.

2) Untuk membuat persamaan, dibuka file *.sav tadi yang telah tersimpan > Klik Variable View > Pada kolom type diubah menjadi comma > Pada kolom Measure diubah menjadi Scale kecuali molecule > kembali ke Data View > Klik baris 1 yang paling kiri > Delete. Setelah itu Klik Analyze > Regression > Linear > Dimasukkan 5 parameter terbaik berdasarkan nilai r , r^2 dan $std\ error$ > Dimasukkan IC50 ke kolom Dependent > Pada tabel Coefficients menunjukkan masing-masing koefisien dari deskriptor hasil regresi multilinier terbaik > dilakukan hal serupa pada senyawa lainnya hingga didapatkan beberapa persamaan.

3) Dibuka program SPSS, dibuat tabel berdasarkan persamaan yang didapatkan dan ditambah kolom y' , $y-y'$, \sum , y' rata-rata, $y-y'$ rata-rata, $(y-y'$ rata-rata) 2 , \sum , dan q^2 . y dimaksud di sini adalah nilai IC50 dan y' adalah hasil perhitungan berdasarkan persamaan.

- 4) Persamaan HKSA yang dipilih adalah nilai q2 yang tertinggi (lebih dari 0) dan senyawa yang memiliki persamaan HKSA tersebutlah yang akan digunakan pada *virtual screening*
- 5) Untuk menghitung koefisien korelasi Pearson yaitu dengan cara pada jendela SPSS, *analyze > correlate > Bivariate > dimasukkan parameter yang deskriptor terbaik ditambah dengan IC50 ke dalam tabel variables > jika mendekati angka 1 atau -1 hubungan dua variabel semakin kuat.*



Gambar 17. Panel korelasi *pearson* SPSS

2. Penelusuran Farmakofor dan Virtual Skrining

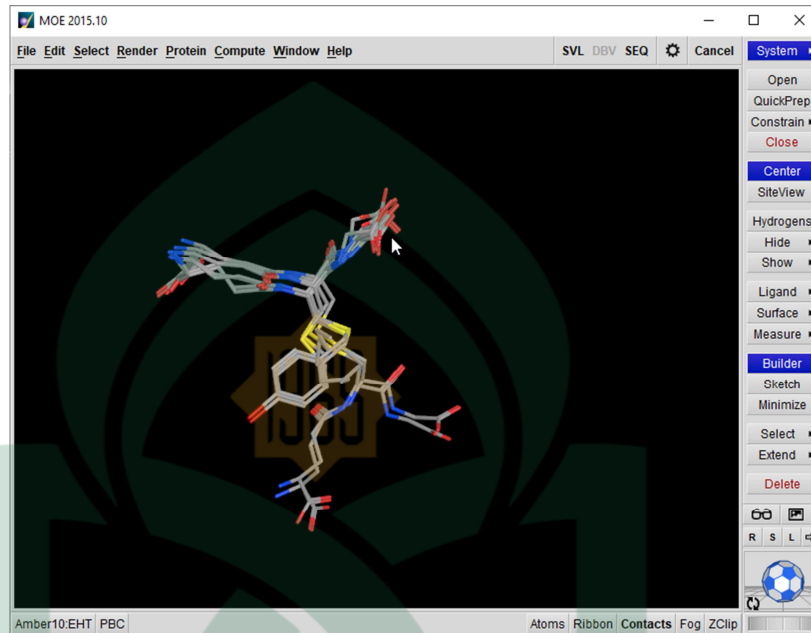
a. Menyejajarkan Struktur Protein-Ligan

Protein PfGST diunduh dari situs RCSB.PDB.

- a. Dibuka pada program MOE struktur ligan dan protein yang telah diunduh. Dengan cara klik *file > Open > dipilih direktori penyimpanan > pilih semua protein yang telah didownload > OK.*
- b. Dhide atom dan hanya ligan dan protein yang ditampilkan *Render > Hide > All atoms. Render > Show > Ligand.*
- c. Disejajarkan rantai protein yang nantinya terlihat rantai dengan struktur yang sama akan tertindih menjadi satu bagian. Dengan cara ini kompleks protein-ligan dapat disejajarkan. *Protein > Align/Superpose > Klik align > Klik superpose.*

b. Memilih Kompleks Ligan yang akan Digunakan

- 1) Setelah disejajarkan, disembunyikan pita protein *Render > Ribbon > Hide.*
- 2) Hanya akan muncul ligan, kemudian pilih ligan yang menumpuk dengan cara *klik seret pada bagian ligan yang terpilih > Render > Hide > Selected.* Dihapus ligan yang tersisa *klik seret pada ligan > Edit > delete.*



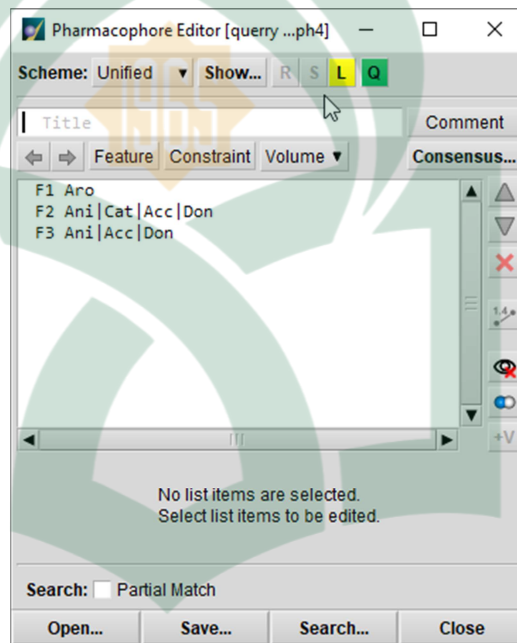
Gambar 18. Ligan yang terpilih

- 3) Protein kembali ditampilkan, *Render > Ribbon > Style line*. Ligan juga kembali di tampilkan *Render > Show > Ligand*.
- 4) Dibuat database baru *File > New > Database > Ketik nama file > OK*. Dimasukkan Protein dan ligan ke dalam database, pada jendela database *Edit > New > Entry > Mode : Chain Tag > OK*.
- 5) Dijalankan PLIFF, *Compute > PLIFF > Generate > Receptor : Database > Prepare > Generate*. File disave dalam bentuk database

c. Penentuan Fitur Farmakofor

- 1) Setelah senyawa penuntun terbuka pada jendela MOE, *Pharmacopore Query editor > MOE > File > New > Pharmacopore Query*. Skema anotasi farmakofor otomatis membuat *query pharmacopore*, sehingga

pada jendela MOE akan terlihat fitur-fitur farmakofor yang terdapat pada senyawa penuntun. Skema anotasi unified. Titik anotasi yang sesuai dengan hasil penelitian interaksi ligan reseptor dan SAR dipilih untuk menjadi fitur farmakofor



Gambar 19. *Query Pharmacophore* dari ligan yang terpilih

- 2) *Pharmacophore search* bertujuan untuk melihat *query pharmacophore* apakah memiliki kecocokan dengan fitur farmakofor senyawa terbaik.
- 3) Beberapa molekul yang memiliki kesamaan diselaraskan dan dibuat kondensus untuk memudahkan memilih fitur farmakofor. Senyawa diselaraskan MOE > *Compute* > *Simulations* > *Flexible Alignment*.
- 4) *Virtual screening*, dengan mendownload berbagai macam senyawa alam dari zinc database. MOE > *Compute* > *Pharmacophore* > *Search*. Hal

ini bertujuan untuk mendapatkan senyawa hits dari banyaknya senyawa alam berdasarkan farmakofor tadi.

3. Docking Molekul

Metode ini memungkinkan untuk memprediksi kecocokan antara ligan dengan protein reseptor. Terdapat tiga tahap yaitu preparasi ligan, preparasi protein dan simulasi docking.

a. Preparasi Ligan

Ligan dioptimasi dengan metode AM1 menggunakan Hyperchem.

- 1) Senyawa disimpan dalam format *.mol dan dibuka menggunakan aplikasi MOE.
- 2) Struktur diprotonisasi *MOE > Compute > Protonate 3D*. Hal ini untuk menambahkan hidrogen dan beberapa muatan parsial.
- 3) Disimpan dalam bentuk database format *.mdb.

b. Preparasi Protein

Reseptor diunduh dari situs *RSCB.PDB* dalam format *.pdb/*.ent.

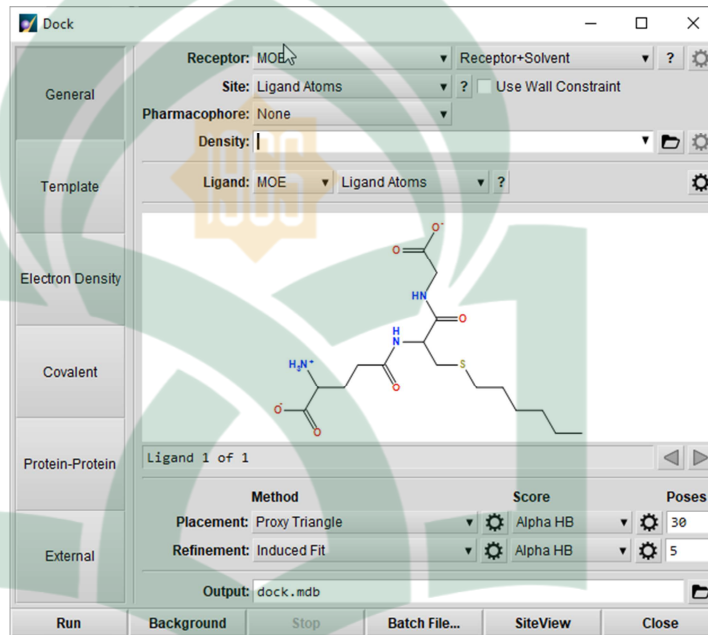
- 1) Molekul air dihapus dan diprotonisasi.
- 2) Dilakukan pemeriksaan pada senyawa yang telah diprotonisasi.

c. Simulasi *Docking*

Ligan dan reseptor yang telah diprotonisasi dibuka dalam jendela MOE.

- a. Dilakukan simulasi docking, *MOE > Compute > Dock. Receptor > Dock > Receptor + Solvent, Site : Ligand atoms.*

- b. *Ligand* : *MDB File* (atau *Selected atoms* jika ligan terbuka pada jendela MOE dan di-select). *Placement* : *Proxy triange*, *rescoring 1* : *Alpha HB* dan *refinement* : *Forcefield* dan *rescoring 2* : *Alpha HB*.



Gambar 20. Panel Docking MOE

- c. Docking terbaik dilihat dari nilai rmsd (≤ 2) dan nilai scoring terendah

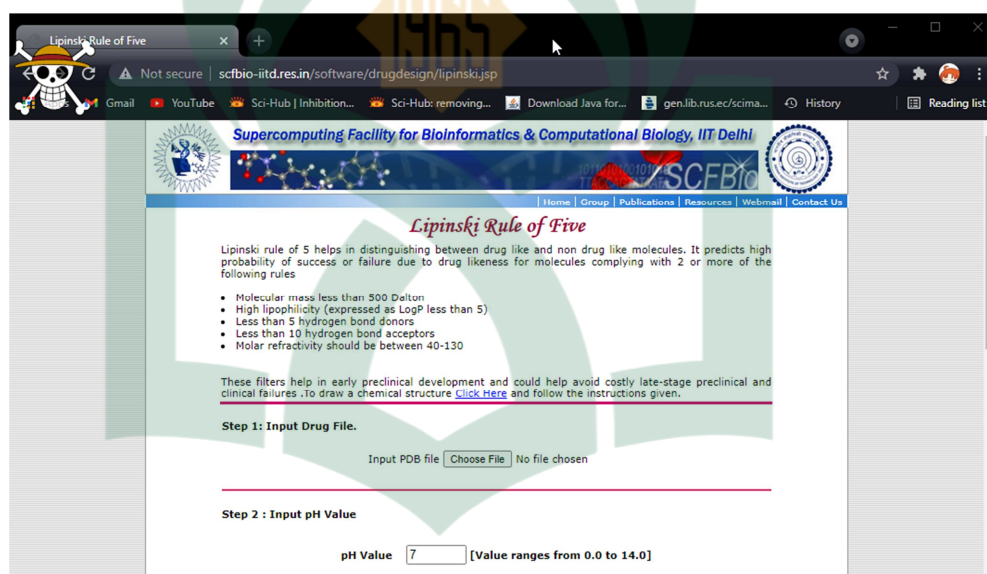
4. Studi Bioavailabilitas

Rule of 5 lipinsky dapat digunakan untuk memprediksi apakah senyawa tersebut memiliki kelarutan dan permeabilitas yang baik atau buruk. Dengan mengupload file pada halaman link www.scfbio-

iitd.res.in/software/drugdesign/lipinski.jsp. Pada rule of 5 lipinski berisi aturan yaitu

:

- Tidak boleh memiliki 5 donor ikatan hidrogen (ditunjukkan pada jumlah OH dan NH)
- Berat molekul tidak boleh lebih dari 500
- Log P tidak boleh lebih dari 5 (MlogP <4,15)
- Tidak boleh lebih dari 10 akseptor ikatan H (ditunjukkan pada jumlah H dan O)



Gambar 21. Halaman web rule of 5 lipinsky

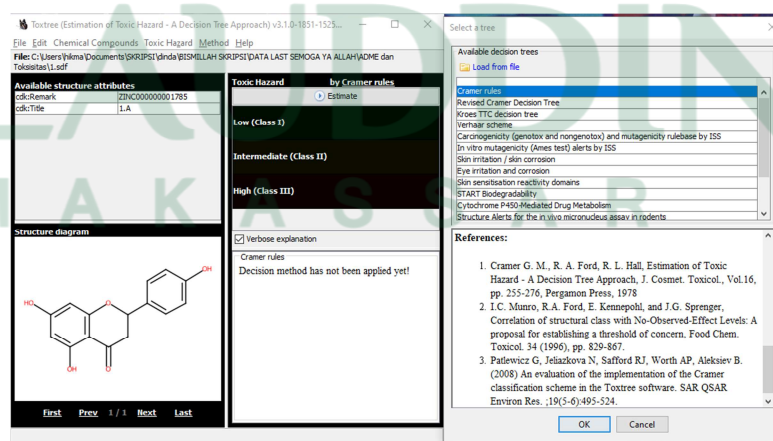
5. Studi Toksisitas

Untuk studi toksisitas, menggunakan program *Toxtree* dan dilakukan dengan memilih file dalam format *.mol. Klik *method* > *select a decision tree* > *select available decision tree* > *ok* > *estimate* > *save *.pdf*. Sebelum melakukan estimasi maka dipilih *verbose explanation* untuk menentukan tingkatan dan detail dari hasil yang didapatkan.

Parameter yang digunakan dalam toksisitas yaitu :

- Cramer rules untuk memprediksi toksisitas ketika melalui rute oral berdasarkan struktur molekul suatu senyawa. Tingkatan yang dapat dihasilkan yaitu :
 - *Low (Class I)* yaitu substansi struktur kimia sederhana dengan jalur metabolisme diketahui dan produk akhir yang tidak berbahaya menunjukkan toksisitas rendah. Diharapkan senyawa memiliki tingkatan ini.
 - *Intermediate (Class II)* yaitu zat yang bersifat menengah. Memiliki struktur kurang baik dari kelas low, dan juga tidak mengandung toksisitas seperti class III.
 - *High (Class III)* yaitu zat yang struktur kimianya tidak memberikan keselatan yang kuat dan memungkinkan memiliki toksisitas yang tinggi.
- Benigni / Bossa Rulebase untuk memprediksi kemungkinan adanya efek karsinogenik dan mutagenik berdasarkan analisis struktur.
 - *Structural alert for genotoxic carcinogenicity* yaitu struktur senyawa dapat bersifat genotoksik karsinogen.
 - *Structural alert for nongenotoxic carcinogenicity* yaitu struktur senyawa yang tidak bersifat genotoksik karsinogen.
 - *Negatif for genotoxic carcinogenicity* senyawa negatif pada genotoksik karsinogen.

- *Negatif for nongenotoxic carcinogenicity* yaitu senyawa negatif pada nongenotoksik karsinogen. Diharapkan senyawa memiliki tingkatan ini.
- CYP atau Cytochrome P450 untuk memprediksi metabolisme obat dengan sitokrom P450.
 - Diharapkan semua struktur memiliki rank 1 sampai 4.
 - Jika tidak memenuhi, senyawa tersebut memiliki metabolisme yang kurang baik
- Kroes TTC (Threshold of Toxicological Concern) untuk memprediksi tingkat resiko yang membahayakan
 - *Substance would not be expected to be a safety concern* yaitu senyawa yang aman. Diharapkan senyawa yang diuji memiliki tingkatan ini.
 - *Negligible risk* yaitu memiliki resiko namun bisa diabaikan.
 - *Risk assisment requires compound* yaitu senyawa yang memiliki efek membahayakan



Gambar 22. Tampilan Toxree dan parameter toksisitas

Digunakan juga *admetSAR* untuk mengetahui toksisitas pada ikan, tikus, dan *Tetrahymena Pyriformis*. *Home > masukkan smiles pada kotak Input SMILES Here > Predict.*

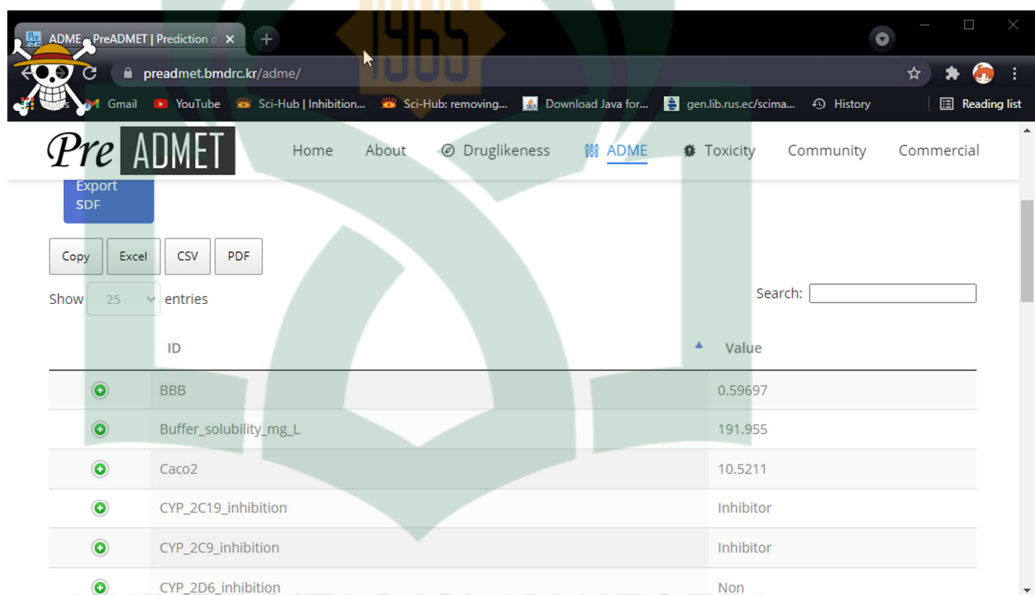
- *Rat Acute Toxicity* yaitu untuk menentukan aktivitas pada tikus berdasarkan LD50, pada parameter ini semakin tinggi nilai LD50 maka senyawa tersebut dapat dikatakan baik.
- *Fish toxicity* yaitu untuk menentukan aktivitas pada ikan berdasarkan pLC50, pada parameter ini semakin tinggi pLC50 maka senyawa tersebut dapat dikatakan baik.
- *Tetrahymenapyformis* yaitu untuk menentukan aktivitas pada *tetrahymenapyformis* berdasarkan pIGC50. Pada parameter ini semakin tinggi pIGC50 maka senyawa tersebut dapat dikatakan baik.

Model	Result	Probability
Blood-Brain Barrier	BBB+	0.6794

Gambar 23. Halaman admetSAR

6. Studi Farmakokinetik

Studi farmakokinetik menggunakan situs *preadmet.bmdrc.org* untuk memprediksi ADME dan memprediksi sifat senyawa berdasarkan metode *in silico*. Klik *load* > masukkan *file mol* yang dibuka menggunakan fasilitas perangkat lunak pengolahan data (*Microsoft Office Word* atau *WordPad*) > *Load* > *Submit*.



The screenshot shows the PreADMET web application interface. The browser address bar displays `preadmet.bmdrc.kr/adme/`. The navigation menu includes Home, About, Druglikeness, ADME, Toxicity, Community, and Commercial. The main content area features an 'Export SDF' button and a table of results. The table has columns for 'ID' and 'Value'. The results are as follows:

ID	Value
BBB	0.59697
Buffer_solubility_mg_L	191.955
Caco2	10.5211
CYP_2C19_inhibition	Inhibitor
CYP_2C9_inhibition	Inhibitor
CYP_2D6_inhibition	Non

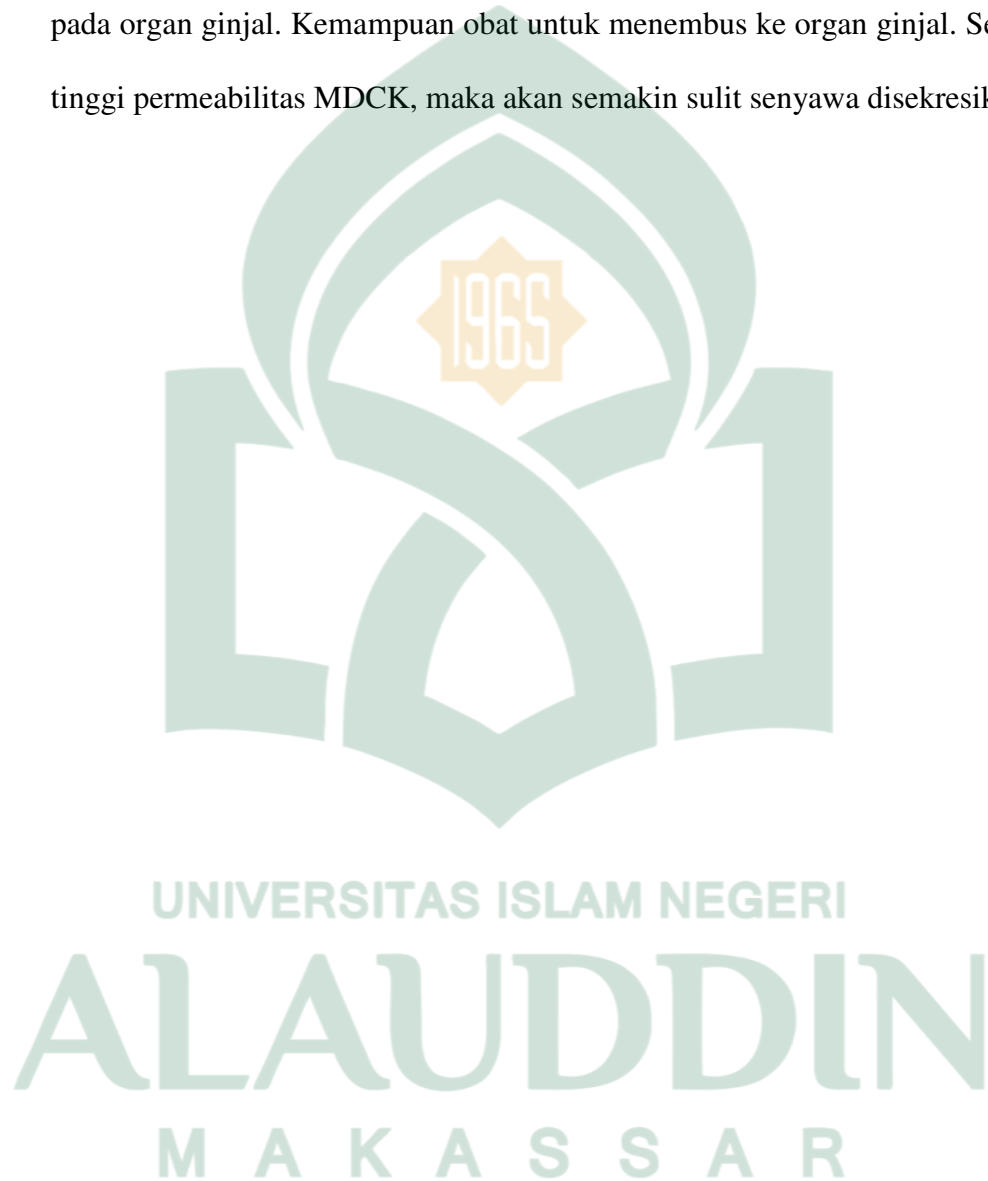
Gambar 24. Halaman preADMET

Parameter yang digunakan pada farmakokinetik yaitu :

- BBB (Blood Brain Barriers) untuk memprediksi absorpsi senyawa dapat melewati pembatas otak darah (sawar darah otak).
 - *High absorption* dinyatakan $>2,0$ diharapkan senyawa yang diuji berada pada tingkatan ini.
 - *Middle absorption* dinyatakan $2,0-1,0$
 - *Low absorption* dinyatakan $<1,0$

- HIA (Human Intestinal Absorption) untuk memprediksi suatu senyawa dapat terabsorpsi pada sistem intestinal manusia. Jika diabsorpsi dengan baik, maka obat dapat didistribusikan ke sel target.
 - *Poorly absorbed compounds* dinyatakan pada 0-20%
 - *Moderately absorbed compounds* dinyatakan pada 20-70%
 - *Well absorbed compounds* dinyatakan pada 70-100% diharapkan senyawa yang diuji berada pada tingkatan ini.
- Plasma Protein Binding untuk memprediksikan jumlah obat yang akan berikatan pada protein plasma. Suatu obat tidak hanya berpengaruh pada aksinya, namun juga pada disposisi dan efikasi obat.
 - *Chemical strongly bound* dinyatakan pada > 90%
 - *Chemical weakly bound* dinyatakan pada < 90% diharapkan senyawa yang diuji berada pada tingkatan ini.
- Caco-2 Cell Permeability untuk memprediksikan transpor obat melalui epitel usus. Sel Caco-2 merupakan turunan dari kolon adenokarsinoma manusia yang berfungsi pada jalur transpor obat melalui epitel usus.
 - *Low permeability* dinyatakan pada < 4
 - *Middle permeability* dinyatakan pada 4 – 70
 - *High permeability* dinyatakan pada > 70% diharapkan senyawa yang diuji berada pada tingkatan ini.

- MDCK (Madin-Darby Canine Kidney) untuk memprediksikan ekskresi obat pada organ ginjal. Kemampuan obat untuk menembus ke organ ginjal. Semakin tinggi permeabilitas MDCK, maka akan semakin sulit senyawa disekresikan.



BAB IV
HASIL PENELITIAN DAN PEMBAHASAN

A. Hasil Penelitian

1. Hubungan Kuantitatif Struktur-Aktivitas

Tabel 2 Kombinasi descriptor dengan nilai kriteria statistik dan validasi *Leave One Out* (q2)

Deskriptor					R	R square	Adjusted R square	Std. error of the estimate	q2
AM1_dipole	mr	vdw_vol	vol	VSA	0,942	0,887	0,793	2,253	0,505
AM1_dipole	ASA_H	mr	vol	VSA	0,931	0,867	0,757	2,444	0,513
AM1_dipole	AM1_HF	AM1_HOMO	vol	VSA	0,929	0,862	0,748	2,485	0,419
AM1_dipole	AM1_HF	AM1_IP	vol	VSA	0,929	0,862	0,748	2,485	0,419
AM1_E	AM1_HOMO	AM1_LUMO	ASA_H	VSA	0,929	0,863	0,749	2,481	0,479
AM1_dipole	AM1_Eele	AM1_HF	AM1_HOMO	VSA	0,928	0,861	0,745	2,501	0,095
AM1_dipole	AM1_Eele	AM1_HF	AM1_IP	VSA	0,928	0,861	0,745	2,501	0,095
AM1_dipole	logS	mr	vol	VSA	0,928	0,860	0,744	2,506	-0,888

AM1_dipole	AM1_E	AM1_HF	AM1_HOMO	VSA	0,927	0,859	0,741	2,525	0,237
AM1_dipole	AM1_E	AM1_HF	AM1_IP	VSA	0,927	0,858	0,740	2,525	0,237

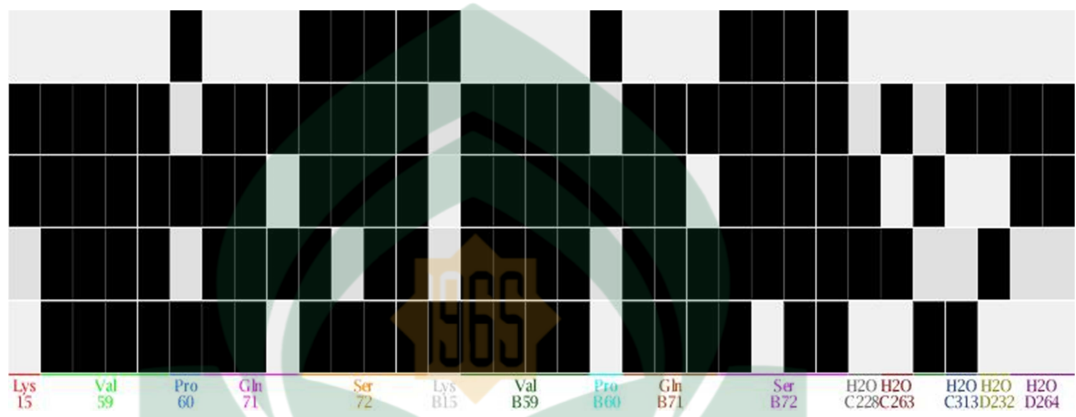
Tabel 3 Hasil Nilai Korelasi Pearson

Correlations							
		AM1_dipole	ASA_H	mr	vol	VSA	IC50
IC50	Pearson Correlation	,378	.757**	,563	.587*	.694*	1
	Sig. (2-tailed)	,225	,004	,057	,045	,012	
	N	12	12	12	12	12	12

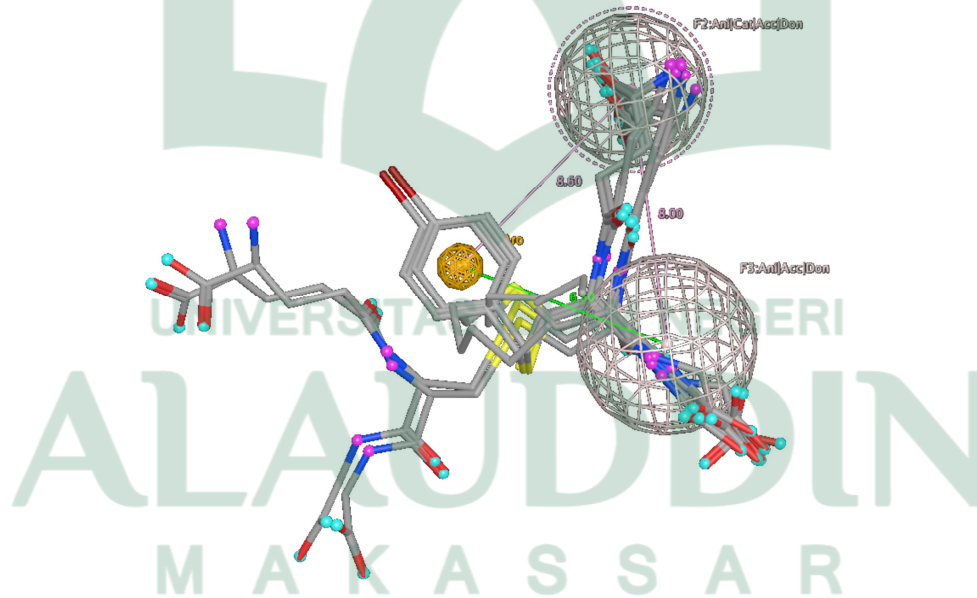
** . Correlation is significant at the 0.01 level (2-tailed).

* . Correlation is significant at the 0.05 level (2-tailed).

2. Penelusuran Farmakofor



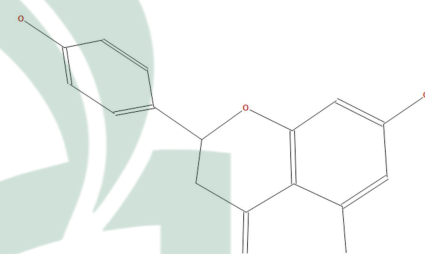
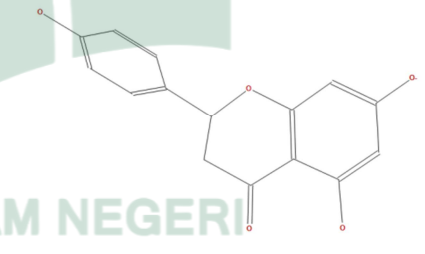
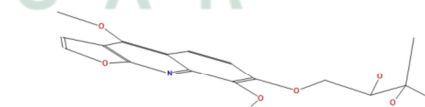
Gambar 25. Sidik jari interaksi ligan-protein

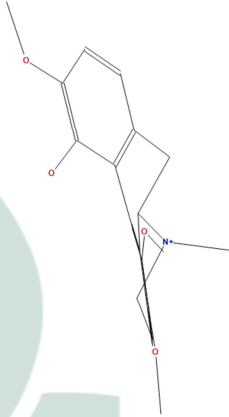
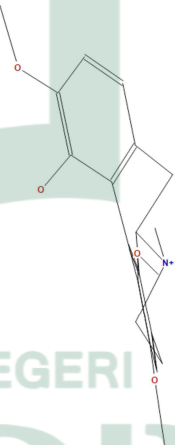


Gambar 26. Query farmakofor inhibitor PfgST pada senyawa penuntun melalui penelusuran farmakofor menggunakan program MOE

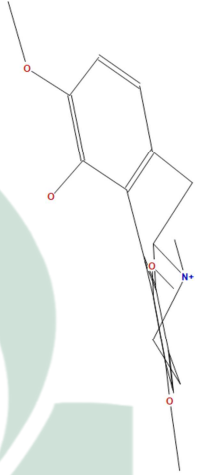
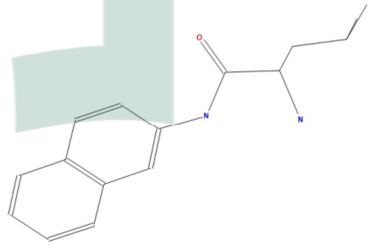
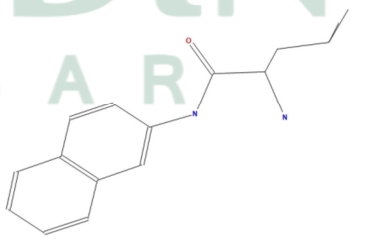
3. *Virtual Skringing*

Tabel 4 Database 8 senyawa hits hasil virtual skringing

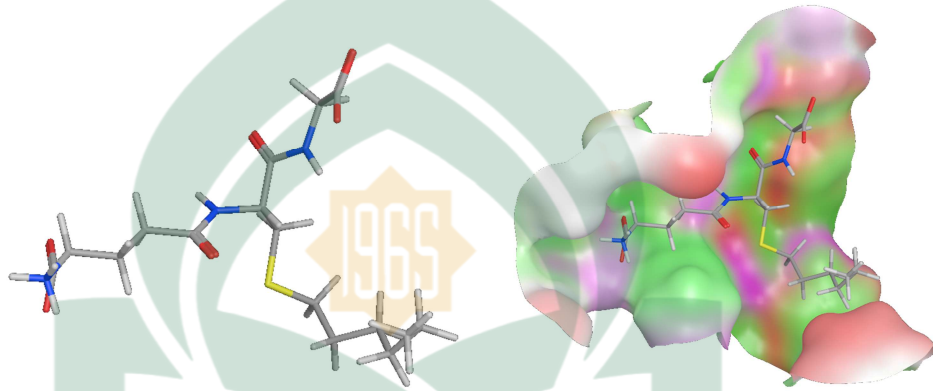
No.	Molekul	Farmakofor yang <i>hits</i>
1.	ZINC000000001785	
2.	ZINC000000001785	
3.	ZINC000000035526	

4.	<p>ZINC000000056792</p>	
5.	<p>ZINC000000056792</p>	

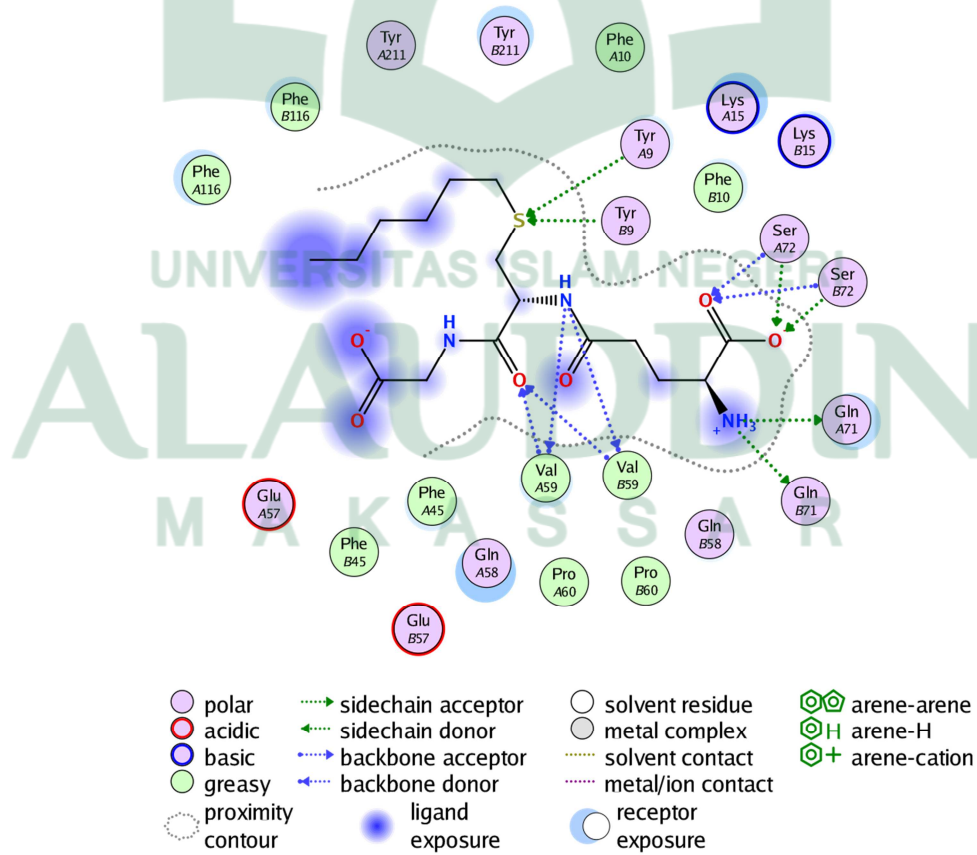
UNIVERSITAS ISLAM NEGERI
ALAUDDIN
 M A K A S S A R

6.	<p>ZINC000000056792</p>	
7.	<p>ZINC000000057384</p>	
8.	<p>ZINC000000057384</p>	

4. Docking Molekul



Gambar 27. Posisi ligand dan Molecular surface asli protein 2AAW



Gambar 28. Interaksi ligan asli (*Native ligan*) protein 2AAW

Tabel 5. Hasil *docking senyawa hits* hasil virtual skrining pada protein 2AAW

Senyawa	Entry	Docking Score (S) (kcal/mol)	rmsd_refine	Ikatan		Jarak ikatan (Å)	Residu asam amino terikat
				Jenis	Σ		
ZINC000000001785	1	-17,0632	1,2340165	Hidrogen	2	2,87	Tyr 9
						2,96	Tyr 9
ZINC000000001785	6	-16,9918	1,0175471	Hidrogen	1	3,1	Val 59
ZINC0000000035526	12	-21,4142	1,0535219	Hidrogen	4	3,63	Phe 10
						3,67	Phe 10
						2,87	Val 59
						2,84	Val 59
ZINC0000000056792	16	-12,1367	1,1258678	Hidrogen	1	3,71	Lys 15
ZINC0000000056792	22	-14,6066	1,4507704	Hidrogen	2	3,5	Phe 10
						3,48	Phe 10
ZINC0000000056792	29	-12,2806	1,1966357	Hidrogen	1	3,71	Lys 15
ZINC0000000057384	31	-10,3257	1,7478403	Hidrogen	2	3,17	Tyr 9
						3,23	Tyr 9
ZINC0000000057384	37	-9,95715	1,0452508	Hidrogen	1	3,96	Lys 15

5. *Prediksi Toksisitas, Profil Farmakokinetik, dan Kajian Metabolisme*

a. Studi Bioavailabilitas

Tabel 6 Aturan Lipinski dari 4 senyawa hasil docking dengan interaksi yang baik

Senyawa	LogP	Donor Hidrogen	BM	Reaktivitas Molar	Akseptor Hidrogen	Aturan Lipinski
ZINC000000001785	2,5099	3	272	70,194893	5	
ZINC0000000035526	2,5087	2	347	92,418571	7	
ZINC0000000057384	2,4349	4	257	78,708778	2	

Aturan lipinski :

0 = Tidak ada masalah terdeteksi

1-4 = Kemungkinan memiliki absorbs dan permeasi yang buruk

b. Hasil Prediksi Toksisitas

Tabel 7 Hasil Prediksi toksisitas dengan menggunakan Toxtree dan admetSAR

NO	Senyawa Utama	Cramer Rules		Benigni/ Bossia Rulebase		CYPss		Kroes TTC		Rat Acute Toxicity (mol/kg)
1	ZINC000000001785	3	-	8,9	√	1,2,3,4	√	1	√	3,5110
2	ZINC0000000035526	3	-	2,8	-	1,2,3,4	√	1	√	2,7124
3	ZINC0000000057384	3	-	8,9	√	1,2,3,4	√	1	√	2,2791

* The Benigni / Bossia rulebase for mutagenicity and carcinogenicity

** Cytochrome P450-mediated drug metabolism

√ = Baik

- = Kurang baik

Tabel 8. Hasil Prediksi farmakokinetik menggunakan preADMET

No	Senyawa	BBB (Blood Brain Barriers) Penetration*	HIA (Human Intestinal Absorption) (%)**	Plasma Protein Binding (%)***	Caco-2 Cell permeability (nm/sec)****	MDCK Permeability
1	ZINC000000001785	0,59697	87,318069	100	10,5211	44,6354
2	ZINC000000035526	0,0242064	94,766392	73,120489	20,4785	0,0820516
3	ZINC000000057384	1,20883	91,838858	43,849800	18,9126	261,671

* Blood Brain Barriers, > 2.0 high absorption to CNS, 2.0 ~ 0,1 middle absorption to CNS, < 0.1 low absorption to CNS.

** Human Intestinal Absorption, 0-20% poorly absorbed compounds, 20 ~ 70% moderately absorbed compounds, 70 ~ 100% well absorbed compounds.

*** Plasma Protein Binding, > 90% chemicals strongly bound, < 90% chemicals weakly bounds.

**** Caco-2 cell permeability, < 4 low permeability, 4 ~ 70 middle permeability, > 70 high permeability

B. Pembahasan Hasil Penelitian

1. Hubungan Kuantitatif Struktur-Aktifitas (HKSA)

Hubungan Kuantitatif Struktur Aktivitas (HKSA) merupakan salah satu metode desain obat dengan menggunakan persamaan sederhana yang digunakan untuk menghitung beberapa properti dari struktur suatu senyawa. Dengan mengkorelasikan fitur molekul structural (descriptor) dengan sifat fisikokimia seperti aktivitas biologis dengan metode statistik yang nantinya didapatkan persamaan matematika sederhana (Noori & Spanagel, 2013)

Pada penelitian ini digunakan 13 senyawa (senyawa zerumbon dan 12 senyawa turunan yang disubstitusi dengan exo-metilen) yang digambar menggunakan software *hyperchem* dan digunakan 15 deskriptor yang kemudian descriptor dikalkulasi pada software MOE.2015 dan beberapa senyawa berdasarkan ZScore > 2 sehingga tersisa 12 senyawa. Hal ini untuk mendapatkan nilai r^2 tertinggi.

Hasil perhitungan descriptor tersebut, dibuat 5 kombinasi persamaan dan dianalisis menggunakan software *SPSS 16*. Kombinasi deskriptor tersebut akan diregresikan menggunakan regresi linear dengan nilai afinitas (IC50) sebagai *dependent* variabel dan kombinasi deskriptor sebagai *independent* variabel.

Kriteria hasil regresi dari model HKSA harus memenuhi syarat yaitu nilai $r > 0,8$; nilai $r^2 \geq 0,8$ dan $q^2 \geq 0,5$ (Tropsha, 2010). Nilai r memperlihatkan hubungan antara aktivitas biologis pada percobaan dengan data perhitungan berdasarkan persamaan dari hasil analisis regresi. Semakin tinggi koefisien korelasi maka

semakin baik hubungannya. Hal ini bergantung pada jumlah data penelitian. Semakin banyak data penelitian maka semakin rendah koefisien korelasi atau nilai r semakin rendah (Siswandono, 2011).

Dari 10 model kombinasi descriptor pada Tabel 2, kombinasi descriptor 2 terpilih karena memiliki nilai $r = 0,931$ dan nilai $r^2 = 0,876$ dengan kombinasi descriptor yaitu AM1_dipole, ASA_H, mr, vol, dan VSA. Adapun model persamaan lainnya juga memenuhi karakteristik yang selanjutnya akan divalidasi dengan teknik LOOVC untuk membuktikan jika model terpilih tersebut merupakan model persamaan HKSA yang valid dan prediktif.

Validasi dengan teknik *Leave One Out cross validation* (LOOCV), yaitu dengan cara setiap senyawa terprediksi dihilangkan dalam perhitungan analisis regresi linear. Lalu dihitung nilai q^2 , nilai q^2 semakin baik jika nilai q^2 di atas 0,5 dan mendekati angka 1 (Tropsha, 2010). Adapun hasil q^2 terbaik yang didapatkan yaitu 0,513 dengan descriptor AM1_dipole, ASA_H, mr, vol, VSA dengan persamaan HKSA terbaik: $\text{LogIC}_{50} = -13,195 + (-0,279 \times \text{AM1_dipole}) + (0,021 \times \text{ASA_H}) + (25,210 \times \text{mr}) + (-0,955 \times \text{vol}) + (0,276 \times \text{VSA})$. Kombinasi deskriptor tersebut merupakan parameter fisikokimia yang berpengaruh.

Dari kombinasi yang terpilih, AM1_dipole atau yang biasa dikenal dengan momen dipol merupakan descriptor elektronik yang berkaitan dengan aktivitas elektronik senyawa baik terhadap atom ataupun reseptor. ASA_H atau Luas permukaan hidrofobik merupakan descriptor hidrofobik yang berkaitan dengan

kelarutan obat dalam air, permeabilitas membrane, kontribusi terhadap ikatan ligan reseptor. Mr atau refraktivitas molar, Vol atau Volume molekuler, dan VSA atau Luas permukaan Van der Walls merupakan descriptor sterik yang berkaitan dengan sifat bulky (ukuran molekul) dan bentuk molekul.

Dalam mengukur korelasi atau keterkaitan hubungan linier dari dua variable dapat dilihat dari nilai korelasi (Pearson). Nilai korelasi pearson (r) berkisar antara 1 sampai -1, jika nilai semakin mendekati 1 atau -1 berarti hubungan kedua variable semakin kuat, dan sebaliknya jika mendekati 0 berarti hubungan kedua variable semakin lemah. Jika koefisien korelasi nilainya -1, maka kedua variabel memiliki hubungan kuat negative. Jika koefisien korelasi adalah +1, maka kedua variabel memiliki hubungan kuat positif. Tingkat signifikan dapat ditentukan melalui baris sig. (2-tailed). Nilai 5% atau 0,05 menunjukkan kesalahan 5% dan signifikansi/kesempatan untuk benar 95%. Jika nilai sig. (2-tailed) <0.05 (5%), maka keterkaitan pada r dikatakan signifikan. Signifikasi yang biasa digunakan meliputi 0,01 (99%), 0,05 (50%) dan 0,1 (90%) (Vinet & Zhedanov, 2011).

Pada table 3 hasil nilai korelasi pearson menunjukkan hubungan kuat pada descriptor ASA_H, hubungan yang cukup pada descriptor mr, vol, dan VSA. Dan korelasi yang rendah pada descriptor AM1_dipole. Maka dapat disimpulkan bahwa descriptor ASA_H memiliki pengaruh pada aktivitas anti-malaria pada senyawa zerumbon dan senyawa turunan hasil substitusi ekso-metilen dengan nilai $r = 0,757$

dan nilai Sig. (2-tailed) 0,004 yang mendekati 0,01 yang menunjukkan hubungan kuat, searah dan signifikan.

2. Penelusuran Farmakofor

Penelusuran farmakofor dilakukan dengan menyejajarkan protein, dipilih kompleks ligan yang nantinya untuk penentuan fitur farmakofor. Berdasarkan sidik jari interaksi ligan seperti pada barcode baris kedua asam amino yang berpengaruh yaitu Lys15, Val59, Gln71, Ser72, ValB59, GlnB71, dan SerB72. Berdasarkan (Hiller et al., 2006) asam amino yang berperan pada protein PfGST yaitu Gln71, Ser72, Tyr9, dan Val59.

Pada penelusuran query farmakofor (Gambar 18) interaksi ligan-reseptor senyawa turunan zerumbon dan reseptor PfGST yang berperan yaitu gugus Aromatik (F1 : Aro), anion, kation, donor dan akseptor proton (F2 : Ani, Cat, Acc, & Don), dan Anion, donor dan akseptor proton (F3 : Ani, Acc, & Don).

Pada penelitian ini ligan dari beberapa protein PfGST yang telah didownload dari situs rscb disejajarkan dan didapatkan jarak fitur farmakofor untuk wilayah hinge dengan wilayah gatekeeper adalah 8,00 Å. Wilayah hinge dengan wilayah selektif adalah 8,60 Å. Dan wilayah gatekeeper dengan wilayah selektif adalah 6,50 Å. Jarak dari masing-masing query dapat dilihat pada gambar 24. Maka, Jarak ini menjadi penapis untuk memilah ribuan senyawa pada tahap virtual screening. Jarak ini sangat perlu dijaga pada saat mendesain obat karena perubahan konformasi ikatan sangat berpengaruh pada aktif atau tidaknya senyawa yang didesain.

3. Virtual Screening

Virtual screening merupakan upaya penapisan senyawa yang ada di alam secara virtual untuk mempermudah mencari senyawa yang memiliki potensi dijadikan sebagai obat. Pada tabel 4 diperoleh 8 senyawa hits hasil virtual screening dari 5492 senyawa. Delapan senyawa hits kemudian didocking dengan menggunakan metode farmakofor, untuk melihat interaksi yang terjadi yang nantinya dilanjutkan pada studi toksisitas dan bioavailabilitas.

4. Docking Molekul

Docking molekul dilakukan guna untuk memprediksi mekanisme molekuler yang terjadi antara ligan dengan protein PfGST sehingga dapat berperan sebagai anti-malaria. Sebelum dilakukan docking, ligan dan protein dipreparasi dulu dengan cara diprotonisasi secara 3D dan dihapus molekul-molekul air. Dengan menggunakan set scoring 1 London DG dan refinement diatur Forcefield dan rescoring 2 menggunakan Affinity dG.

Berdasarkan (Hiller et al., 2006) asam amino yang berperan pada protein PfGST yaitu Gln71, Ser72, Tyr9, dan Val59. Dari hasil docking menunjukkan, senyawa ZINC000000001785, ZINC000000035526, dan ZINC000000057384 menunjukkan hasil yang diinginkan dengan adanya interaksi terhadap asam amino Tyr9 dan Val59 sesuai tabel 5. Ketiga senyawa ini menunjukkan interaksi yang sesuai dengan farmakofor maupun literature sehingga ketiga senyawa inilah yang selanjutnya diuji ke studi selanjutnya.

Hasil docking terbaik dipilih berdasarkan nilai rmsd (≤ 2) atau kedekatan dengan struktur ligan dan nilai scoring terendah. Nilai docking score (S) digunakan untuk memprediksi afinitas ikatan antara 2 molekul setelah didocking, selain itu docking score juga digunakan untuk memprediksi kekuatan interaksi dua molekul. Semakin rendah nilai energy bebas (Docking score) maka interaksi ikatan antara ligan dan reseptor lebih stabil. Nilai rmsd (root mean square deviation) lebih kecil dari 2 berarti metode tersebut memiliki validitas yang tinggi, artinya posisi ligan copy mirip dengan posisi ligan asli. Ikatan hydrogen dapat terjadi jika jarak antara atom donor dan atom akseptor lebih pendek dari jumlah jari-jari atomik atom akseptor ($\pm 1,5 \text{ \AA}$), jari-jari atomik hidrogen ($1,2 \text{ \AA}$), dan panjang ikatan antara atom donor dan hidrogen ($\pm 1 \text{ \AA}$) atau sekitar $3,5 \text{ \AA}$. Jarak yang lebih panjang dari $3,5 \text{ \AA}$ dianggap sebagai interaksi dipol-dipol. Ikatan hidrogen yang baik memiliki jarak $\pm 2,8 \text{ \AA}$ (Tjahjono & Fadhilah, 2012).

Berdasarkan hasil docking senyawa hits hasil virtual screening, terlihat bahwa senyawa dengan kode ZINC000000001785 terdapat residu asam amino Tyr 9 pada gugus keton dengan docking score (S) (kkal/mol) $-17,0632$ dengan jarak ikatan $2,87 \text{ \AA}$ dan $2,96 \text{ \AA}$. Senyawa dengan kode ZINC0000000035526 terdapat residu asam amino Val59 pada gugus alcohol dengan docking score (S) (kkal/mol) $-21,4142$ dengan jarak ikatan $2,87 \text{ \AA}$ dan $2,84 \text{ \AA}$. Dan senyawa dengan kode ZINC0000000057384 terdapat residu asam amino Tyr9 pada gugus keton dengan docking score (S) (kkal/mol) $-10,3257$ jarak ikatan $3,17 \text{ \AA}$ dan $3,23 \text{ \AA}$. Dapat

disimpulkan bahwa senyawa dengan kode ZINC000000035526 memiliki docking score (S) dan jarak ikatan hydrogen terbaik.

5. Prediksi Toksisitas, Profil Farmakokinetik, dan Kajian Metabolisme

a. Studi Bioavailabilitas

Beberapa Parameter senyawa yang berkaitan dengan kelarutan dan permeabilitas, yaitu berat molekul, logP, jumlah donor ikatan H dan jumlah akseptor ikatan H. Pada pengembangan obat, Lipinsky rule of five memprediksi baik absorb atau permeasi suatu obat yang memiliki < 5 donor ikatan hydrogen atau < 10 akseptor ikatan hydrogen, berat molekul kurang dari 500, dan nilai logP lebih kecil dari 5. Jumlah donor dan akseptor ikatan hydrogen mendeskripsikan semakin tinggi kapasitas ikatan hidorgen, maka semakin tinggi energy yang dibutuhkan agar proses absorbs dapat terjadi. Senyawa dengan Berat molekul (BM) lebih dari 500 Daltor tidak dapat berdifusi menembus membran sel. Nilai logP menyatakan koefisien kelarutan dalam lipid atau air. Nilai logP melebihi 5 menandakan bahwa senyawa tersebut hanya dapat larut dalam lemak dan sukar larut dalam air yang sangat berpengaruh dalam distribusi obat dalam tubuh. Semakin besar nilai logP, maka semakin lipofilik molekul tersebut dan memiliki toksisitas yang tinggi.

Dari hasil pengujian bioavailabilitas pada tabel semua senyawa memenuhi aturan Lipinski. Berdasarkan hasil pengujian ketiga senyawa memiliki nilai logP dibawah 5 menandakan bahwa ketiga senyawa tersebut lipofilitas yang baik. Senyawa akan semakin bersifat lipofilik jika senyawa tersebut memiliki logP yang

tinggi, selain itu nilai logP yang tinggi akan bersifat toksik karena akan tertahan pada lipid bilayer pada membran plasma. Ketiga senyawa terhadap donor dan akseptor hydrogen sudah memenuhi kriteria. Dimana memperlihatkan nilai donor hydrogen tidak lebih dari 5 dan akseptor hydrogen tidak lebih dari 10. Jumlah donor dan akseptor hydrogen menunjukkan semakin tinggi kapasitas hydrogen maka semakin tinggi energi yang dibutuhkan agar terjadi proses absorpsi, dengan kata lain difusi pasif. Selain itu, berat molekul juga berpengaruh pada bioavailabilitas senyawa. Senyawa yang memiliki BM > 500 Dalton tidak dapat menembus membran sel. Membran berfungsi sebagai barrier yang bertujuan untuk menahan atau menyaring senyawa atau partikel yang akan masuk ke dalam tubuh berbentuk pori. Senyawa yang memiliki BM lebih dari 500 tidak dapat melewati pori. Jadi, dapat disimpulkan bahwa ketiga senyawa yang telah diuji diprediksikan memiliki bioavailabilitas yang baik sehingga jika dikonsumsi peroral dapat diabsorpsi dengan baik secara sistemik.

b. Hasil prediksi toksisitas

Ketiga senyawa yang akan diuji selanjutnya akan diprediksi toksisitasnya menggunakan perangkat lunak Toxtree dengan parameter yang digunakan yaitu Creamer rules, Benigni/Bossa rulebase, kroes TTC, Skin irritation/Skin corrosion dan Cytochrome P450-mediated drug metabolism. Selain menggunakan toxree, digunakan juga admetSAR untuk mengetahui prediksi toksisitas pada tikus.

Berdasarkan hasil pengujian toksisitas, menunjukkan ketiga senyawa tersebut memiliki toksisitas yang tinggi (high Class III). Creamer rules memprediksikan toksisitas ketika melalui oral berdasarkan struktur molekul, di mana ketiga senyawa tersebut memiliki struktur kimia yang tidak memberikan keselamatan yang kuat dan memungkinkan toksisitas yang tinggi. Benigni/Bossa Rulebase digunakan untuk memprediksi kemungkinan adanya efek karsinogenik dan mutagenic pada suatu senyawa berdasarkan analisis struktur. Senyawa ZINC000000001785 dan ZINC0000000057384 diprediksi negative yang artinya tidak memiliki efek karsinogenik dan mutagenic. Sedangkan senyawa ZINC0000000035526 diprediksi positif karsinogenik dan negative mutagenic yang artinya memiliki efek karsinogenik namun tidak memiliki efek mutagenic. Cytochrome P450 digunakan untuk prediksi metabolisme obat dengan sitokrom P4450. Dari pengujian terlihat bahwa ketiga senyawa tersebut dapat dimetabolisme dengan baik oleh enzim CYP450. Kroes TTC digunakan untuk memprediksi tingkat resiko suatu zat. Ketiga senyawa diprediksikan merupakan substansi yang aman.

Berdasarkan hasil uji toksisitas 3 senyawa menggunakan admetSAR, urutan LD50 (mol/Kg) pada tikus secara berurutan dari tinggi terendah yaitu, ZINC000000001785 > ZINC0000000035526 > ZINC0000000057384.

Berdasarkan uraian di atas, senyawa ZINC000000001785 pada beberapa parameter pengujian toksisitas menunjukkan hasil yang baik jika tidak digunakan secara oral.

c. Hasil Prediksi Farmakokinetik

Berdasarkan 3 senyawa hits hasil virtual screening pada tabel, senyawa dengan nilai BBB dibawah 0,1 diprediksi memiliki absorpsi yang rendah pada system saraf pusat seperti senyawa ZINC000000001785 dan ZINC0000000035526. Sedangkan senyawa ZINC0000000057384 memiliki absorpsi yang sedang (middle). Parameter uji BBB digunakan untuk memprediksi suatu obat dapat melewati membran pada sawar darah otak. Pengujian HIA pada ketiga senyawa hits, memperlihatkan absorpsi kisaran 70-100% yang menandakan ketiga senyawa tersebut memiliki absorpsi yang baik. Human Intestinal absorption merupakan pengujian yang memprediksi apakah senyawa dapat terabsorpsi dengan baik pada system intestinal manusia. Hal tersebut berkorelasi dengan data logP pada aturan Lipinski dimana ketiga senyawa tersebut memiliki sifat hidrofilik. Urgensinya, jika diabsorpsi dengan baik, maka obat dapat didistribusikan ke sel target. Pengujian Plasma Protein Binding digunakan untuk memprediksikan jumlah obat yang akan berikatan pada protein plasma. Obat tidak hanya berpengaruh pada aksinya, namun juga pada disposisi (proses yang terjadi setelah obat diabsorpsi) dan efikasi (khasiat atau efektivitas obat). Senyawa ZINC000000001785 secara kimiawi berikatan kuat dengan protein plasma dengan hasil 100%. Selain itu senyawa ZINC0000000035526 dan ZINC0000000057384 memiliki ikatan yang kurang dengan hasil 73% dan 43%. Hal ini berkorelasi dengan jumlah donor dan akseptor hydrogen pada pengujian bioavailabilitas metode rule of 5 lipinsky. Semakin sedikit ikatan obat, maka

semakin efisien obat tersebut melintasi membrane sel atau berdifusi. Uji Caco-2 Cell Permeability memprediksikan transport obat melalui epitel usus. Sel Caco-2 merupakan turunan dari kolon adenokarsinoma manusia yang berfungsi pada jalur transport obat melalui epitel usus. Terlihat bahwa ketiga senyawa memiliki permeabilitas yang sedang dengan hasil 4-70%. Pada uji MDCK (Madin-Darby Canine Kidney) digunakan untuk memprediksi eksresi obat pada ginjal, semakin tinggi nilai MDCK maka akan sulit suatu senyawa untuk diekskresi dari ginjal. Terlihat senyawa ZINC000000035526 memiliki nilai MDCK yang jauh lebih rendah dari kedua senyawa lain yang menunjukkan senyawa tersebut memiliki permeabilitas yang baik dan lebih mudah diekskresi.



BAB V PENUTUP

A. Kesimpulan

1. Hasil dari tahap HKSA dari senyawa zerumbon dan turunan hasil substitusi exo-metilen menunjukkan descriptor yang berpengaruh terhadap aktivitas senyawa adalah AM1_dipole, ASA_H, mr, vol, dan VSA dengan persamaan $\text{LogIC}_{50} = -13,195 + (-0,279 \times \text{AM1_dipole}) + (0,021 \times \text{ASA_H}) + (25,210 \times \text{mr}) + (-0,955 \times \text{vol}) + (0,276 \times \text{VSA})$ dengan nilai $q^2 = 0,513$
2. Berdasarkan sidik jari integrase ligan disimpulkan bahwa ligan berikatan dengan asam amino sebagai berikut: Lys15, Val59, Gln71, Ser72, ValB59, GlnB71, dan SerB72 dan pada hasil query farmakofor yang berperan yaitu gugus Aromatik (F1 : Aro), anion, kation, donor dan akseptor proton (F2 : Ani, Cat, Acc, & Don), dan Anion, donor dan akseptor proton (F3 : Ani, Acc, & Don).
3. Hasil dari skrining senyawa secara virtual diperoleh ZINC00000001785, ZINC000000035526, dan ZINC000000057384 sebagai senyawa hits yang berpotensi dalam inhibitor enzim glutathione S-transferase kandidat antimalaria.
4. Hasil docking senyawa hits, ZINC000000035526 merupakan senyawa docking terbaik dengan residu asam amino Val59 jarak ikatan 2,87 Å dan 2,84 Å.

5. ZINC00000001785 pada beberapa parameter pengujian toksisitas dan bioavailabilitas menunjukkan hasil yang relative baik.

B. Implikasi Penelitian

Diharapkan penelitian ini memberikan pengetahuan dan manfaat untuk selanjutnya dapat dikembangkan menjadi obat kandidat antimalarial.



DAFTAR PUSTAKA

- Abdullah bin Muhammad bin 'Abdurrahman bin Ishaq Alu Syaikh, Lubabut Tafsiir min Ibni Katsiir, Terj: M. Abdul Ghofar E.M. Abu Ihsan Al-Atsari, *Tafsir Ibnu Katsir Jilid 8*, (Bogor: Pustaka Imam Asy-Syafi'i, 2005)
- Baldessarini, R. J., Tarazi, F. I., Brunton, L. L., Lazo, J. S., & Parker, K. L. (2005). *Goodman and Gilman's the pharmacological basis of therapeutics. 11th ed: Vol. null* (p. 461).
- Benfenati, E. (n.d.). *E book Theory , guidance and applications on QSAR and REACH*.
- Das, G., Biswal, B. P., Kandambeth, S., Venkatesh, V., Kaur, G., Addicoat, M., Heine, T., Verma, S., & Banerjee, R. (2015). Chemical sensing in two dimensional porous covalent organic nanosheets. *Chemical Science*, 6(7), 3931–3939. <https://doi.org/10.1039/c5sc00512d>
- de Ruyck, J., Brysbaert, G., Blossey, R., & Lensink, M. F. (2016). Molecular docking as a popular tool in drug design, an in silico travel. *Advances and Applications in Bioinformatics and Chemistry*, 9(1), 1–11. <https://doi.org/10.2147/AABC.S105289>
- Ekinci, D. (2012). Medicinal Chemistry and Drug Design. In *Medicinal Chemistry and Drug Design*. <https://doi.org/10.5772/2457>
- Geldenhuis, W. J., Gaasch, K. E., Watson, M., Allen, D. D., & Van Der Schyf, C. J. (2006). Optimizing the use of open-source software applications in drug discovery. *Drug Discovery Today*, 11(3–4), 127–132. [https://doi.org/10.1016/S1359-6446\(05\)03692-5](https://doi.org/10.1016/S1359-6446(05)03692-5)
- Hidayat, U. T. (2020). Tafsir Al-azhar : Menyelami Kedalaman Tasawuf Hamka. *Buletin Al-Turas*, 21(1), 49–76. <https://doi.org/10.15408/bat.v21i1.3826>
- Hiller, N., Fritz-Wolf, K., Deponte, M., Wende, W., Zimmermann, H., & Becker, K. (2006). Plasmodium falciparum glutathione S -transferase-Structural and mechanistic studies on ligand binding and enzyme inhibition . *Protein Science*, 15(2), 281–289. <https://doi.org/10.1110/ps.051891106>
- Hou, T., & Wang, J. (2008). *Structure – ADME relationship : still a long way to go ?* 759–770.

InfoDatin-Malaria-2016.pdf. (n.d.).

Jain, A. (2017). Computer aided drug design. *Journal of Physics: Conference Series*, 884(1). <https://doi.org/10.1088/1742-6596/884/1/012072>

Kalantari, K., Moniri, M., Moghaddam, A. B., Rahim, R. A., Ariff, A. Bin, Izadiyan, Z., & Mohamad, R. (2017). A Review of the biomedical applications of zerumbone and the techniques for its extraction from ginger rhizomes. *Molecules*, 22(10). <https://doi.org/10.3390/molecules22101645>

Kitayama, T., Nakahira, M., Yamasaki, K., Inoue, H., Imada, C., Yonekura, Y., Awata, M., Takaya, H., Kawai, Y., Ohnishi, K., & Murakami, A. (2013). Novel synthesis of zerumbone-pendant derivatives and their biological activity. *Tetrahedron*, 69(47), 10152–10160. <https://doi.org/10.1016/j.tet.2013.09.026>

Kumar, S., Bhardwaj, T. R., Prasad, D. N., & Singh, R. K. (2018). Drug targets for resistant malaria: Historic to future perspectives. *Biomedicine and Pharmacotherapy*, 104(April), 8–27. <https://doi.org/10.1016/j.biopha.2018.05.009>

Langer, T., & Wolber, G. (2004). Pharmacophore definition and 3D searches. *Drug Discovery Today: Technologies*, 1(3), 203–207. <https://doi.org/10.1016/j.ddtec.2004.11.015>

Nesterov, I. V., Toropov, A. A., Duchowicz, P. R., & Castro, E. A. (2004). An improved QSPR modeling of hydrocarbon dipole moments. *TheScientificWorldJournal*, 4, 956–964. <https://doi.org/10.1100/tsw.2004.193>

Noori, H. R., & Spanagel, R. (2013). In silico pharmacology: drug design and discovery's gate to the future. *In Silico Pharmacology*, 1(1), 1–3. <https://doi.org/10.1186/2193-9616-1-1>

Reddy, A. S., Pati, S. P., Kumar, P. P., Pradeep, H. N., & Sastry, G. N. (2007). Virtual screening in drug discovery -- a computational perspective. *Current Protein & Peptide Science*, 8(4), 329–351. <https://www.ncbi.nlm.nih.gov/pubmed/17696867>

Roy, K., & Kar, S. (2015). *Chapter 1 QSAR / QSPR Modeling : Introduction*. <https://doi.org/10.1007/978-3-319-17281-1>

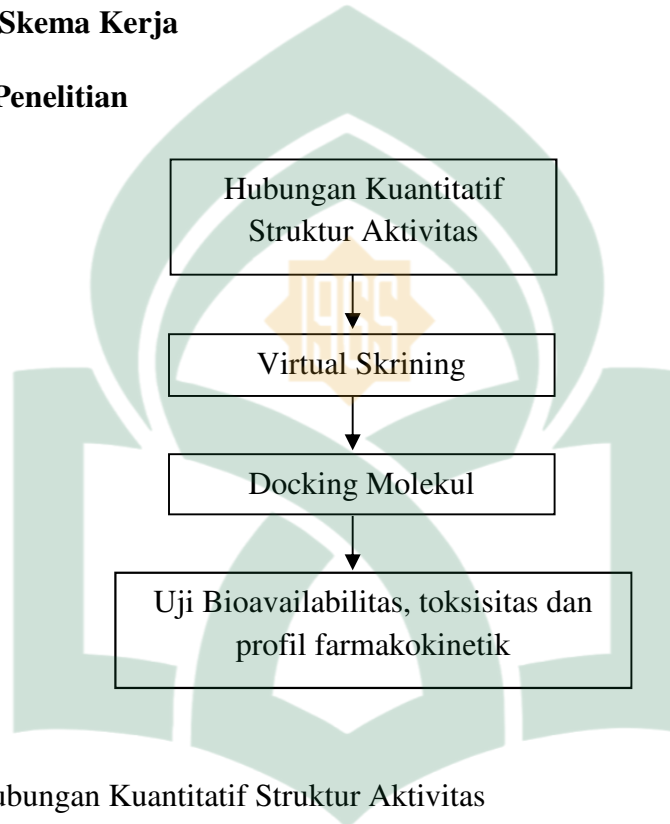
Sari, I. P. (2014). Peran Glutathion pada Kegagalan Terapi Klorokuin. *EJournal Kedokteran Indonesia*, 2(1). <https://doi.org/10.23886/ejki.2.3183>

- Sriphana, U., Pitchuanchom, S., Kongsaree, P., & Yenjai, C. (2013). Antimalarial activity and cytotoxicity of zerumbone derivatives. *ScienceAsia*, 39(1), 95–99. <https://doi.org/10.2306/scienceasia1513-1874.2013.39.095>
- Tjahjono, H., & Fadhilah, Q. (2012). Hubungan Kuantitatif Struktur dan Aktivitas Senyawa Turunan 3-Haloasilaminobenzoilurea sebagai Inhibitor Pembentukan Mikrotubulus Validasi model statistik dilakukan untuk mendapatkan. *Acta Pharmaceutica Indonesia*, XXXVII(3), 76–82.
- Tropsha, A. (2010). Best practices for QSAR model development, validation, and exploitation. *Molecular Informatics*, 29(6–7), 476–488. <https://doi.org/10.1002/minf.201000061>
- Vatani, A., Mehrpooya, M., & Gharagheizi, F. (2009). Erratum: Prediction of standard enthalpy of formation by a QSPR model (*International Journal of Molecular Sciences* (2007) 8 (407-432) DOI: 10.3390/ijms10020723). *International Journal of Molecular Sciences*, 10(2), 723. <https://doi.org/10.3390/ijms10020723>
- Vinet, L., & Zhedanov, A. (2011). A “missing” family of classical orthogonal polynomials. In *Journal of Physics A: Mathematical and Theoretical* (Vol. 44, Issue 8). <https://doi.org/10.1088/1751-8113/44/8/085201>

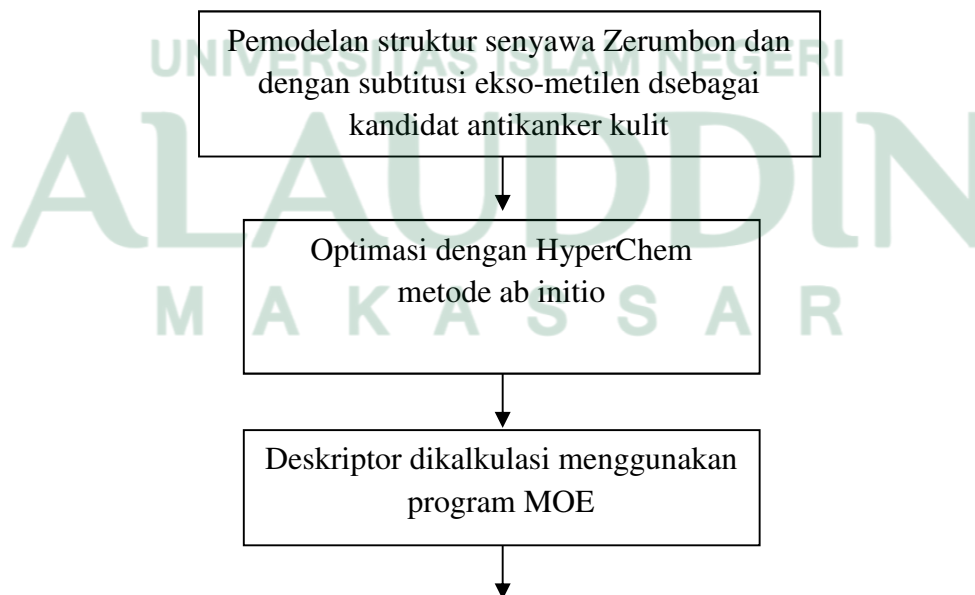
LAMPIRAN

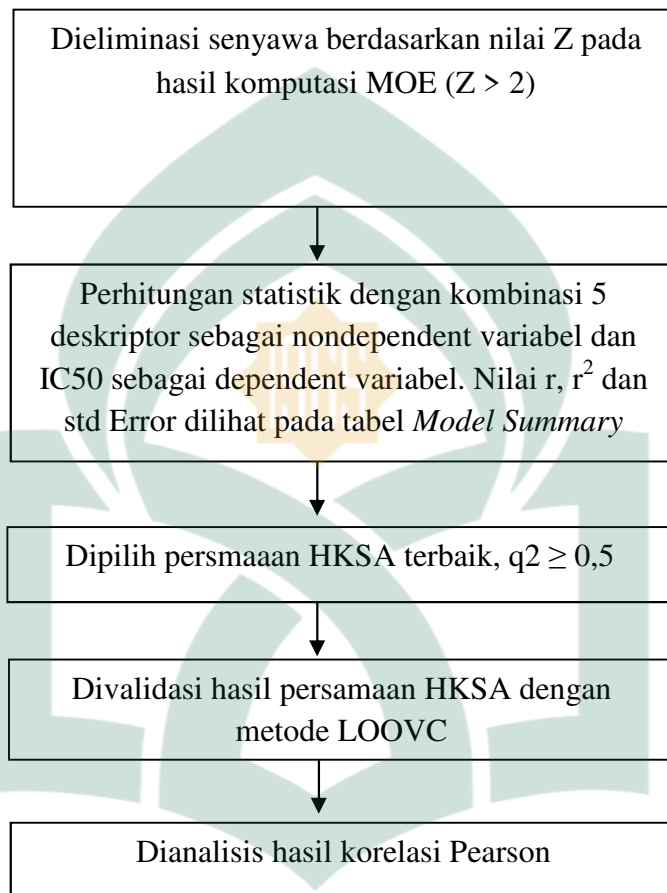
Lampiran I. Skema Kerja

1. Alur Penelitian

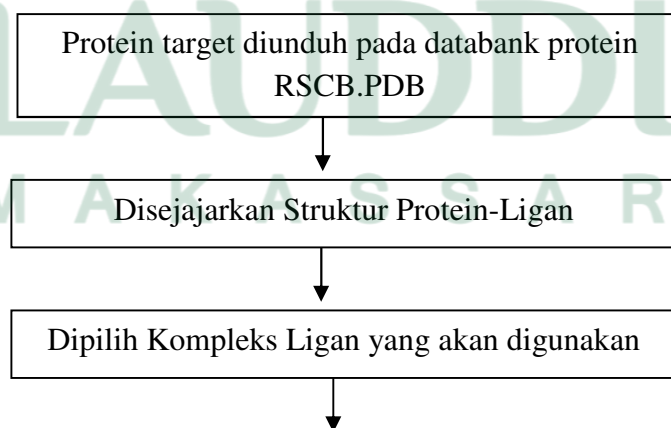


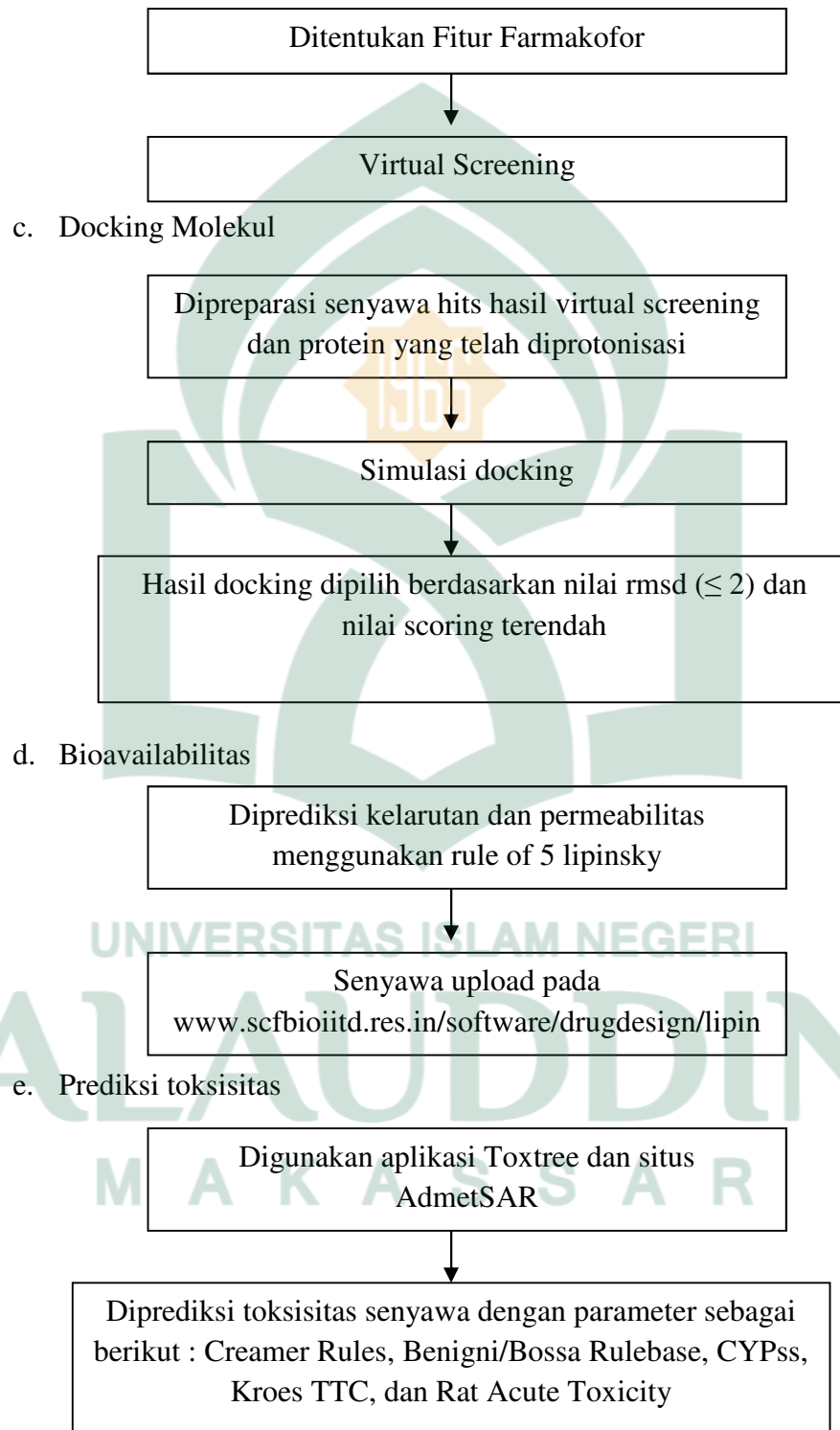
a. Hubungan Kuantitatif Struktur Aktivitas





b. Virtual screening





f. Profil farmakokinetik

Dilakukan dengan bantuan dari situs
preadmet.bmdrc.org

Diprediksi profil farmakokinetik dengan parameter sebagai berikut : BBB (Blood Brain Barries), HIA (Human Intestinal Absorption), Plasma Protein Binding, Caco-2 Cell Permeability MDCK (Madin Darby Canine Kidney)

Lampiran II Tabel

Tabel Hasil Docking

no.	mol	rseq	mseq	S	rmsd_refine	E_conf	E_place	E_score1	E_refine	E_score2
1	<chem>O=C1c2c(O)cc(O)cc2OC(c2ccc(O)cc2)C1</chem>	1	1	-17,063	1,234	-42,814	-66,385	-11,995	-130,662	-17,063
2	<chem>O=C1c2c(O)cc(O)cc2OC(c2ccc(O)cc2)C1</chem>	1	1	-15,995	1,087	-44,383	-80,557	-12,574	-131,288	-15,995
3	<chem>O=C1c2c(O)cc(O)cc2OC(c2ccc(O)cc2)C1</chem>	1	1	-15,120	2,330	-40,014	-71,949	-12,599	-103,089	-15,120
4	<chem>O=C1c2c(O)cc(O)cc2OC(c2ccc(O)cc2)C1</chem>	1	1	-13,541	1,559	-40,748	-66,855	-12,179	-112,926	-13,541
5	<chem>O=C1c2c(O)cc(O)cc2OC(c2ccc(O)cc2)C1</chem>	1	1	-12,951	3,298	-40,129	-63,001	-12,072	-78,764	-12,951
6	<chem>O=C1c2c(O)cc(O)cc2OC(c2ccc(O)cc2)C1</chem>	1	2	-16,992	1,018	-42,619	-80,139	-12,428	-207,311	-16,992
7	<chem>O=C1c2c(O)cc(O)cc2OC(c2ccc(O)cc2)C1</chem>	1	2	-16,495	1,717	-39,788	-69,484	-13,750	-149,602	-16,495
8	<chem>O=C1c2c(O)cc(O)cc2OC(c2ccc(O)cc2)C1</chem>	1	2	-13,996	4,261	-41,822	-68,978	-12,399	-164,668	-13,996
9	<chem>O=C1c2c(O)cc(O)cc2OC(c2ccc(O)cc2)C1</chem>	1	2	-13,981	1,330	-43,812	-76,473	-12,754	-170,046	-13,981
10	<chem>O=C1c2c(O)cc(O)cc2OC(c2ccc(O)cc2)C1</chem>	1	2	-13,694	1,514	-40,104	-77,947	-13,815	-155,208	-13,694
11	<chem>O(CC(O)C(O)(C)C)c1c(OC)c2nc3occc3c(OC)c2cc1</chem>	1	3	-23,518	1,120	71,280	-73,451	-11,795	-342,917	-23,518
12	<chem>O(CC(O)C(O)(C)C)c1c(OC)c2nc3occc3c(OC)c2cc1</chem>	1	3	-21,414	1,054	74,602	-90,962	-14,287	-293,086	-21,414
13	<chem>O(CC(O)C(O)(C)C)c1c(OC)c2nc3occc3c(OC)c2cc1</chem>	1	3	-19,965	1,882	78,615	-51,867	-11,334	-177,583	-19,965
14	<chem>O(CC(O)C(O)(C)C)c1c(OC)c2nc3occc3c(OC)c2cc1</chem>	1	3	-18,120	1,082	73,820	-93,014	-11,470	-236,626	-18,120
15	<chem>O(CC(O)C(O)(C)C)c1c(OC)c2nc3occc3c(OC)c2cc1</chem>	1	3	-17,816	0,840	69,854	-82,499	-11,358	-222,392	-17,816
16	<chem>O(C)c1c(OC)cc2c3c1-c1c(O)c(OC)ccc1CC3[N+](C)CC2</chem>	1	4	-12,137	1,126	44,141	-66,573	-13,400	-223,033	-12,137
17	<chem>O(C)c1c(OC)cc2c3c1-c1c(O)c(OC)ccc1CC3[N+](C)CC2</chem>	1	4	-11,563	1,540	38,290	-90,212	-11,974	-123,354	-11,563
18	<chem>O(C)c1c(OC)cc2c3c1-c1c(O)c(OC)ccc1CC3[N+](C)CC2</chem>	1	4	-10,738	7,265	42,494	-45,193	-12,752	-123,102	-10,738
19	<chem>O(C)c1c(OC)cc2c3c1-c1c(O)c(OC)ccc1CC3[N+](C)CC2</chem>	1	4	-8,955	0,986	40,521	-64,097	-12,976	-50,841	-8,955
20	<chem>O(C)c1c(OC)cc2c3c1-c1c(O)c(OC)ccc1CC3[N+](C)CC2</chem>	1	4	-8,463	1,610	41,225	-63,097	-11,343	-84,684	-8,463
21	<chem>O(C)c1c(OC)cc2c3c1-c1c(O)c(OC)ccc1CC3[N+](C)CC2</chem>	1	5	-17,121	0,619	39,406	-78,701	-10,826	-107,663	-17,121
22	<chem>O(C)c1c(OC)cc2c3c1-c1c(O)c(OC)ccc1CC3[N+](C)CC2</chem>	1	5	-14,607	1,451	39,831	-61,706	-11,407	-139,481	-14,607

23	<chem>O(C)c1c(OC)cc2c3c1-c1c(O)c(OC)ccc1CC3[N+](C)CC2</chem>	1	5	-13,687	1,588	42,667	-76,671	-10,646	-139,893	-13,687
24	<chem>O(C)c1c(OC)cc2c3c1-c1c(O)c(OC)ccc1CC3[N+](C)CC2</chem>	1	5	-13,042	1,420	58,069	-68,686	-10,530	-136,672	-13,042
25	<chem>O(C)c1c(OC)cc2c3c1-c1c(O)c(OC)ccc1CC3[N+](C)CC2</chem>	1	5	-13,014	2,705	41,094	-68,826	-11,012	-115,640	-13,014
26	<chem>O(C)c1c(OC)cc2c3c1-c1c(O)c(OC)ccc1CC3[N+](C)CC2</chem>	1	6	-16,313	1,018	43,718	-50,344	-12,955	-222,682	-16,313
27	<chem>O(C)c1c(OC)cc2c3c1-c1c(O)c(OC)ccc1CC3[N+](C)CC2</chem>	1	6	-13,913	1,370	43,856	-82,101	-10,673	-168,334	-13,913
28	<chem>O(C)c1c(OC)cc2c3c1-c1c(O)c(OC)ccc1CC3[N+](C)CC2</chem>	1	6	-12,925	1,075	37,960	-72,718	-11,034	-155,956	-12,925
29	<chem>O(C)c1c(OC)cc2c3c1-c1c(O)c(OC)ccc1CC3[N+](C)CC2</chem>	1	6	-12,281	1,197	44,207	-49,173	-11,351	-207,965	-12,281
30	<chem>O(C)c1c(OC)cc2c3c1-c1c(O)c(OC)ccc1CC3[N+](C)CC2</chem>	1	6	-11,626	2,023	38,361	-50,240	-11,113	-114,301	-11,626
31	<chem>O=C(Nc1cc2c(cc1)cccc2)C([N+])CC(C)C</chem>	1	7	-10,326	1,748	-35,826	-53,782	-10,307	-98,056	-10,326
32	<chem>O=C(Nc1cc2c(cc1)cccc2)C([N+])CC(C)C</chem>	1	7	-10,235	1,551	-37,641	-65,506	-9,460	-90,198	-10,235
33	<chem>O=C(Nc1cc2c(cc1)cccc2)C([N+])CC(C)C</chem>	1	7	-8,574	1,574	-25,347	-48,052	-10,148	-79,996	-8,574
34	<chem>O=C(Nc1cc2c(cc1)cccc2)C([N+])CC(C)C</chem>	1	7	-7,755	1,067	-38,180	-61,959	-9,410	-84,974	-7,755
35	<chem>O=C(Nc1cc2c(cc1)cccc2)C([N+])CC(C)C</chem>	1	7	-7,056	3,796	-33,612	-54,618	-10,266	-36,394	-7,056
36	<chem>O=C(Nc1cc2c(cc1)cccc2)C([N+])CC(C)C</chem>	1	8	-13,397	1,398	-41,185	-43,839	-10,949	-55,719	-13,397
37	<chem>O=C(Nc1cc2c(cc1)cccc2)C([N+])CC(C)C</chem>	1	8	-9,957	1,045	-26,297	-50,234	-12,867	-6,556	-9,957
38	<chem>O=C(Nc1cc2c(cc1)cccc2)C([N+])CC(C)C</chem>	1	8	-8,413	1,595	-39,080	-59,258	-10,106	-23,720	-8,413
39	<chem>O=C(Nc1cc2c(cc1)cccc2)C([N+])CC(C)C</chem>	1	8	-7,664	3,408	-34,563	-44,755	-13,596	15,996	-7,664
40	<chem>O=C(Nc1cc2c(cc1)cccc2)C([N+])CC(C)C</chem>	1	8	-6,585	2,463	-40,894	-44,376	-10,482	19,703	-6,585

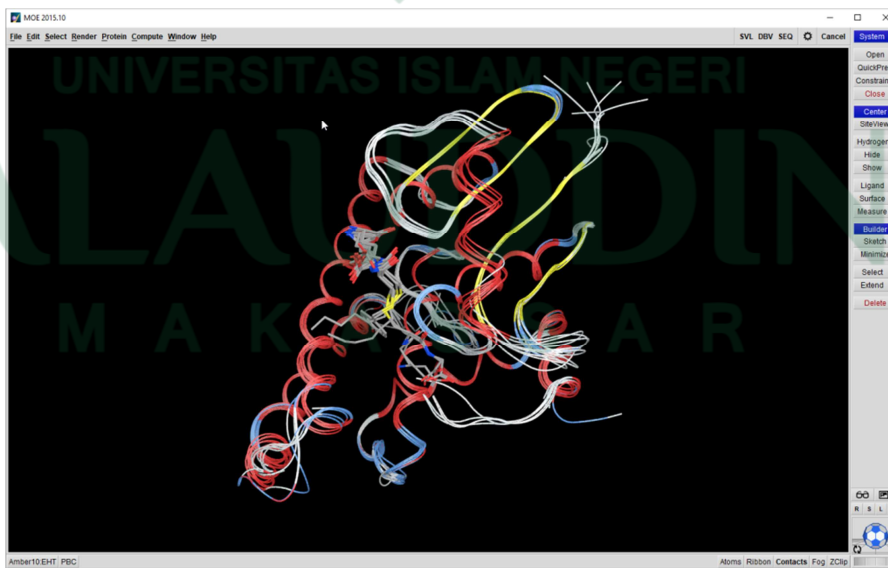
seriyana	molekule	mol	AM1_Dipole	AM1_E	AM1_Ene	AM1_HF	AM1_HOMO	AM1_IP	AM1_LUMO	ASA_H	ASA_P	logP
1	<chem>O=C1NC(=O)C(=O)C(=O)C(=O)N1</chem>	3.34534	-58648.91400	-417372.97000	-17.22334	-9.36962	9.36962	45307	344.02655	82.56683		
2	<chem>O=C1NC(=O)C(=O)C(=O)C(=O)N1C</chem>	2.17442	79893.86900	664879.76000	0.64209	-8.96346	9.96346	21772	418.69091	97.42984		
3	<chem>O=C1NC(=O)C(=O)C(=O)C(=O)C(=O)N1</chem>	2.72125	-125295.35000	-1423042.80000	20.34812	-8.95430	9.95430	25966	506.64746	143.42996		
4	<chem>O=C1NC(=O)C(=O)C(=O)C(=O)C(=O)C(=O)N1</chem>	4.22524	-86044.44500	-464990.25000	-43.85579	-9.63419	9.63419	33965	296.39548	131.70171		
5	<chem>O=C1NC(=O)C(=O)C(=O)C(=O)C(=O)C(=O)C(=O)N1</chem>	5.92727	-79989.85300	-594623.86000	-48.16910	-8.67411	9.67411	16200	387.65265	132.30148		
6	<chem>O=C1NC(=O)C(=O)C(=O)C(=O)C(=O)C(=O)C(=O)C(=O)N1</chem>	12.26551	-83006.77300	-652825.50000	138.46913	-12.59813	12.59813	-8.02633	355.89197	136.48271		
7	<chem>O=C1NC(=O)C(=O)C(=O)C(=O)C(=O)C(=O)C(=O)C(=O)C(=O)N1</chem>	11.39336	-86606.32000	-687886.15000	141.50447	-12.48828	12.48828	-7.76210	428.37961	119.75372		
8	<chem>O=C1NC(=O)C(=O)C(=O)C(=O)C(=O)C(=O)C(=O)C(=O)C(=O)C(=O)N1</chem>	7.88993	-105991.47000	-871178.06000	97.72875	-12.53017	12.53017	-7.63657	521.35598	126.56802		
9	<chem>O=C1NC(=O)C(=O)C(=O)C(=O)C(=O)C(=O)C(=O)C(=O)C(=O)C(=O)C(=O)N1</chem>	10.30472	-126140.08000	-1169816.10000	67.86312	-12.19743	12.19743	-7.37561	742.96539	121.31756		
10	<chem>O=C1NC(=O)C(=O)C(=O)C(=O)C(=O)C(=O)C(=O)C(=O)C(=O)C(=O)C(=O)C(=O)N1</chem>	83.84644	-146599.63000	-1307446.50000	24.87900	-11.85190	11.85190	-7.73462	937.31527	148.23962		
11	<chem>O=C1NC(=O)C(=O)C(=O)C(=O)C(=O)C(=O)C(=O)C(=O)C(=O)C(=O)C(=O)C(=O)C(=O)N1</chem>	19.34190	-87714.25400	-424473.19000	144.61280	-12.00966	12.00966	-8.37136	297.27170	236.14800		
12	<chem>O=C1NC(=O)C(=O)C(=O)C(=O)C(=O)C(=O)C(=O)C(=O)C(=O)C(=O)C(=O)C(=O)C(=O)C(=O)N1</chem>	11.83628	-97874.65500	-764978.20000	65.61746	-12.42399	12.42399	-4.06930	345.63428	184.61330		

Gambar pengerjaan di SPSS

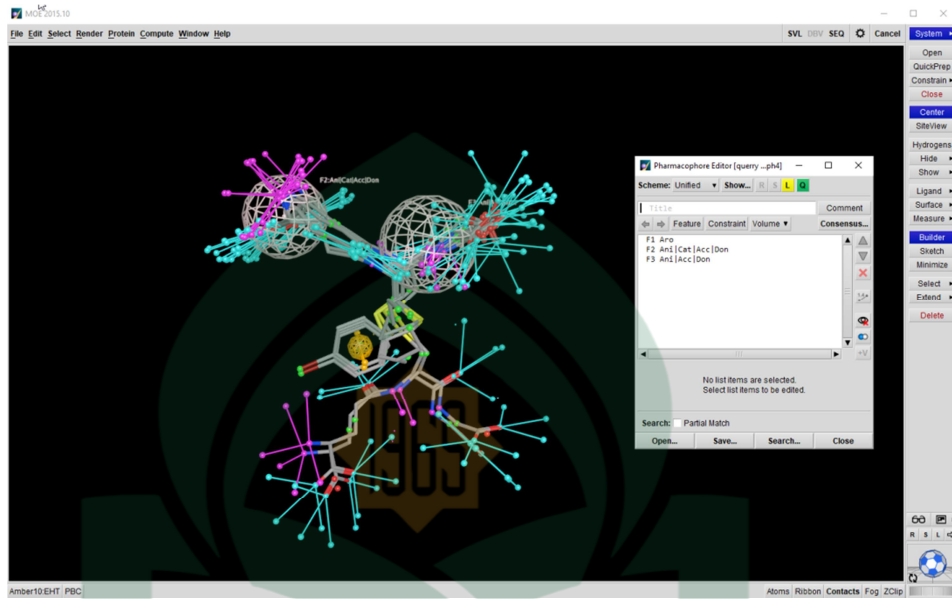
2. Pharmacophore Searching

pdb1okt.ent	19/07/2019 22:17	ENT File	341 KB
pdb2aaw.ent	05/06/2015 23:34	ENT File	348 KB
pdb3fr3.ent	22/01/2010 23:15	ENT File	336 KB
pdb3fr9.ent	16/03/2012 22:20	ENT File	312 KB
pdb3frc.ent	22/01/2010 23:15	ENT File	332 KB

Gambar file protein PfGST yang telah diunduh dari RSCB



Gambar protein yang telah disejajarkan



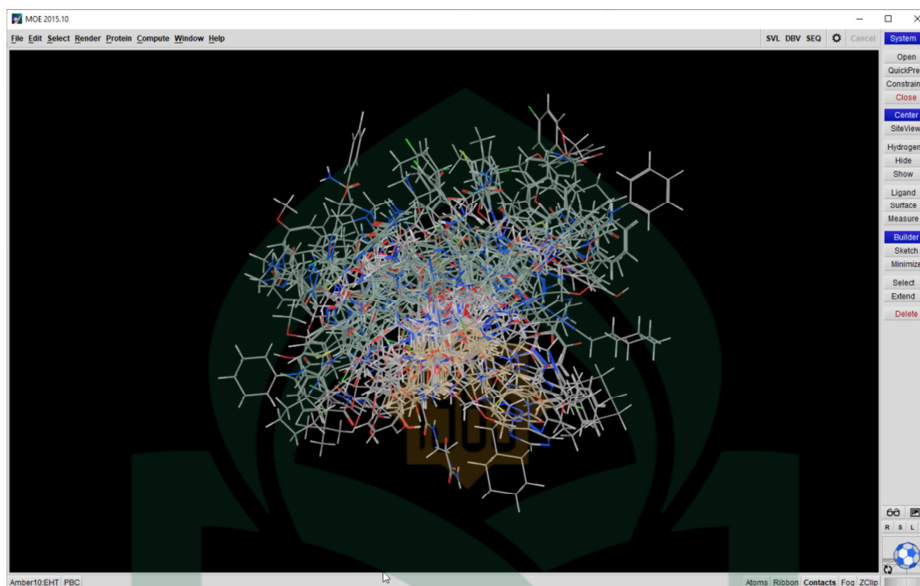
Gambar ligan yang telah disejajarkan dan query farmakofor

3. Virtual Screening

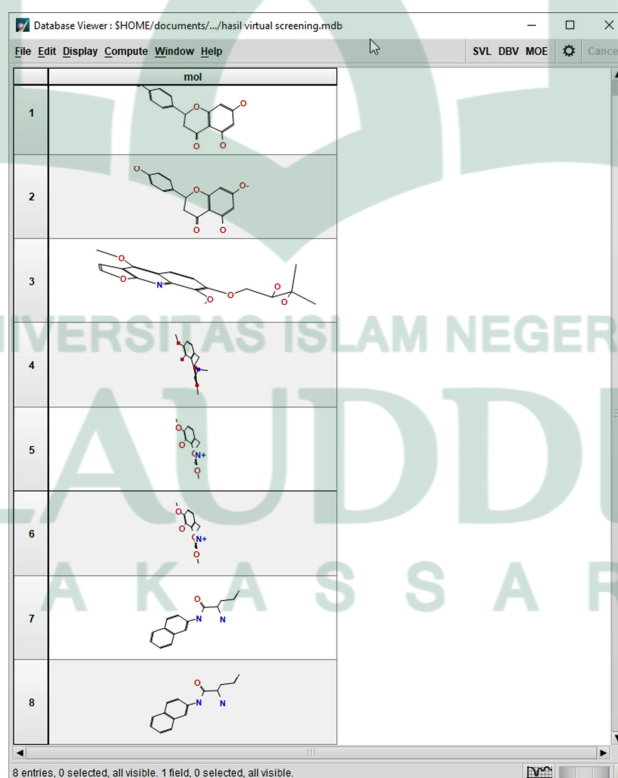
acdiscnd-substances (1).mol2	27/09/2020 10:45	MOL2 File	719 KB
acdiscnd-substances (2).mol2	27/09/2020 10:46	MOL2 File	719 KB
acdiscnd-substances (3).mol2	27/09/2020 10:48	MOL2 File	719 KB
acdiscnd-substances (4).mol2	27/09/2020 10:50	MOL2 File	719 KB
acdiscnd-substances.mol2	27/09/2020 10:44	MOL2 File	719 KB
afronp-substances (1).mol2	27/09/2020 10:41	MOL2 File	540 KB
afronp-substances.mol2	27/09/2020 10:41	MOL2 File	540 KB

Gambar file senyawa alam

UNIVERSITAS ISLAM NEGERI
ALAUDDIN
 MAKASSAR

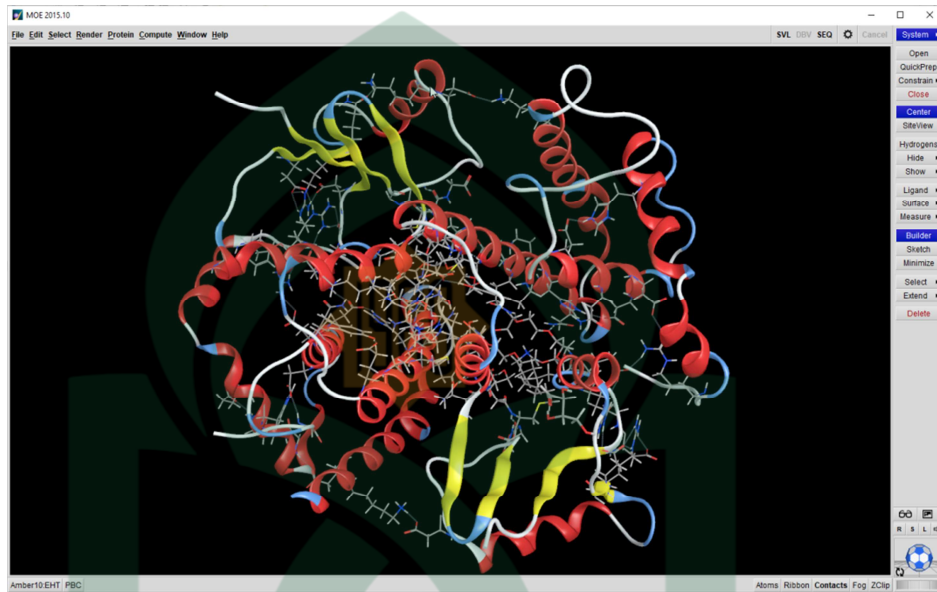


Gambar kumpulan senyawa alam



Gambar senyawa hits

4. Docking Molekul



Gambar protein 2aaw yang telah diprotonate



Gambar native ligand dalam pocket

Database Viewer: SHOME/documents/.../hasil docking tanpa edit.mdb

	mol	rseq	mseq	S	rmsd_refine	E_conf	E_place	E_score1	E_refine	E_score2
1	ZINC0000000178	1	1	-17.0632	1.2340	-42.8138	-66.3852	-11.9947	-130.6619	-17.0632
2	ZINC0000000178	1	1	-15.9954	1.0866	-44.3826	-80.5574	-12.5736	-131.2882	-15.9954
3	ZINC0000000178	1	1	-15.1203	2.3296	-40.0137	-71.9488	-12.5991	-103.8893	-15.1203
4	ZINC0000000178	1	1	-13.5463	1.5592	-40.7477	-66.8549	-12.1792	-112.9264	-13.5463
5	ZINC0000000178	1	1	-12.9509	3.2983	-40.1292	-63.0013	-12.0720	-78.7638	-12.9509
6	ZINC0000000178	1	2	-16.9918	1.0175	-42.6191	-80.1387	-12.4283	-207.3108	-16.9918
7	ZINC0000000178	1	2	-16.4949	1.7172	-39.7877	-69.4843	-13.7498	-149.0024	-16.4949
8	ZINC0000000178	1	2	-13.9962	4.2613	-41.8217	-68.9780	-12.3986	-164.6684	-13.9962
9	ZINC0000000178	1	2	-13.9811	1.3298	-43.8119	-76.4730	-12.7542	-170.0465	-13.9811
10	ZINC0000000178	1	2	-13.6936	1.5142	-40.1044	-77.9467	-13.8153	-155.2078	-13.6936
11	ZINC00000003552	1	3	-23.5185	1.1197	71.2802	-73.4507	-11.7953	-342.9166	-23.5185
12	ZINC00000003552	1	3	-21.4142	1.0535	74.6017	-90.9621	-14.2868	-293.0862	-21.4142
13	ZINC00000003552	1	3	-19.9647	1.8823	78.6147	-51.8670	-11.3344	-177.5826	-19.9647
14	ZINC00000003552	1	3	-18.1200	1.0017	73.8202	-93.0137	-11.4697	-236.6262	-18.1200
15	ZINC00000003552	1	3	-17.8164	0.8398	69.8541	-82.4991	-11.3578	-222.3920	-17.8164
16	ZINC00000005679	1	4	-12.1367	1.1259	44.1412	-66.5730	-13.4002	-223.0326	-12.1367
17	ZINC00000005679	1	4	-11.5630	1.5395	38.2898	-90.2118	-11.9740	-123.3543	-11.5630
18	ZINC00000005679	1	4	-10.7302	7.2054	42.4942	-45.1927	-12.7524	-123.1019	-10.7302
19	ZINC00000005679	1	4	-8.9550	0.9862	40.5211	-64.0966	-12.9759	-50.0411	-8.9550
20	ZINC00000005679	1	4	-8.4626	1.6099	41.2249	-63.0970	-11.3430	-84.6840	-8.4626
21	ZINC00000005679	1	5	-17.1214	0.6192	39.4057	-70.7009	-10.8255	-107.6629	-17.1214
22	ZINC00000005679	1	5	-14.6066	1.4508	39.8315	-61.7057	-11.4067	-139.4086	-14.6066
23	ZINC00000005679	1	5	-13.6874	1.5885	42.6667	-76.6713	-10.6463	-139.8926	-13.6874
24	ZINC00000005679	1	5	-13.0420	1.4199	50.0691	-68.6860	-10.5296	-136.6724	-13.0420
25	ZINC00000005679	1	5	-13.0140	2.7055	41.0936	-60.0257	-11.0123	-115.6402	-13.0140
26	ZINC00000005679	1	6	-16.3131	1.0181	43.7177	-50.3436	-12.9547	-222.6823	-16.3131
27	ZINC00000005679	1	6	-13.9126	1.3704	43.8559	-82.1010	-10.6730	-168.3344	-13.9126
28	ZINC00000005679	1	6	-12.9254	1.0749	37.9596	-72.7179	-11.0344	-155.9563	-12.9254
29	ZINC00000005679	1	6	-12.2806	1.1966	44.2070	-49.1729	-11.3510	-207.9649	-12.2806
30	ZINC00000005679	1	6	-11.6259	2.0228	38.3606	-50.2404	-11.1130	-114.3009	-11.6259

40 entries, 0 selected, all visible. 10 fields, 0 selected, all visible.

Gambar hasil docking

5. Bioavailabilitas

Result
mass: 272.000000
hydrogen bond donor: 3
hydrogen bond acceptors: 5
LOGP: 2.509900
Molar Refractivity: 70.194893

Result
mass: 347.000000
hydrogen bond donor: 2
hydrogen bond acceptors: 7
LOGP: 2.508799
Molar Refractivity: 92.418571

Hasil prediksi rule five of lipinsky senyawa ZINC000000001785

Hasil prediksi rule five of lipinsky senyawa ZINC0000000035526

Hasil prediksi rule five of lipinsky senyawa ZINC0000000057384

6. Prediksi Toksisitas

Result
mass: 257.000000
hydrogen bond donor: 4
hydrogen bond acceptors: 2
LOGP: 2.434900
Molar Refractivity: 78.708778

a. Cramer Rules

The screenshot shows the Toxtree application window. The title bar reads "Toxtree (Estimation of Toxic Hazard - A Decision Tree App...". The menu bar includes "File", "Edit", "Chemical Compounds", "Toxic Hazard", "Method", and "Help". The file path is "C:\Users\hikma\Documents\dinda\DATA LAST SEMOGA YA ALLAH\ADME dan Toksisitas\Senyawa\senyawa 2 zinc000000001.mol2".

Available structure attributes

Cramer rules	High (Class III)
cdk:Title	ZINC000000001785.A
toxTree.tree.cramer.C...	1N,2N,3N,5N,6N,7Y,8N...

Toxic Hazard by Cramer rules

Low (Class I)

Intermediate (Class II)

High (Class III)

Verbose explanation

- Q6. Benzene derivative with certain substituents **No**
- Q7. Heterocyclic **Yes**
- Q8. Lactone or cyclic diester **No**
- Q10.3-membered heterocycle **No**
- Q11. Has a heterocyclic ring with complex substituents. **No**
- Q12. Heteroaromatic **No**
- Q22. Common component of food **No**
- Q33. Has sufficient number of sulphamate or sulphamate groups **No** Class **High (Class III)**

Completed.

Hasil prediksi Cramer rules senyawa ZINC00000001785

The screenshot shows the Toxtree application window. The title bar reads "Toxtree (Estimation of Toxic Hazard - A Decision Tree App...". The menu bar includes "File", "Edit", "Chemical Compounds", "Toxic Hazard", "Method", and "Help". The file path is "C:\Users\hikma\Documents\dinda\DATA LAST SEMOGA YA ALLAH\ADME dan Toksisitas\Senyawa\senyawa 3 zinc0000000035.mol2".

Available structure attributes

Cramer rules	High (Class III)
cdk:Title	ZINC000000035526.A
toxTree.tree.cramer.C...	1N,2N,3N,5N,6N,7Y,8N...

Toxic Hazard by Cramer rules

Low (Class I)

Intermediate (Class II)

High (Class III)

Verbose explanation

- hydrocarbon or a common carbohydrate **No**
- Q6. Benzene derivative with certain substituents **No**
- Q7. Heterocyclic **Yes**
- Q8. Lactone or cyclic diester **No**
- Q10.3-membered heterocycle **No**
- Q11. Has a heterocyclic ring with complex substituents. **Yes**
- Q33. Has sufficient number of sulphamate or sulphamate groups **No** Class **High (Class III)**

Completed.

Hasil prediksi Cramer rules senyawa ZINC000000035526

Toxtree (Estimation of Toxic Hazard - A Decision Tree Approach) v3.1.0-1851-1525442531402
 File Edit Chemical Compounds Toxic Hazard Method Help
 File: C:\Users\jilma\Documents\inda\DATA LAST SEMOGA YA ALLAH\ADME dan Toksikasi\Senyawa\senyawa 7 zinc0000000057.mol2

Available structure attributes	Toxic Hazard
Cramer rules	High (Class III)
rdc:File	ZINC000000057384.A
toxtree.tree.cramer.c...	1N_ZY

Structure diagram

by Cramer rules
Estimate

Low (Class I)

Intermediate (Class II)

High (Class III)

Verbose explanation

Cramer rules

- Q1:Normal constituent of the body **No**
- Q2:Contains functional groups associated with enhanced toxicity **Yes Class High (Class III)**

Completed.

Hasil prediksi Cramer rules senyawa ZINC000000057384

UNIVERSITAS ISLAM NEGERI
ALAUDDIN
 MAKASSAR

b. Benigni / Bossa Rulebase

File: C:\Users\hikma\Documents\dinda\DATA LAST SEMOGA YA ALLAH\ADME dan Toksisitas\Senyawa\senyawa 2 zinc000000001785.mol2

Available structure attributes

- SA8_gen NO
- SA9_gen NO
- Structural Alert for g... NO
- Structural Alert for n... NO
- Unlikely to be a S. ty... NO
- Unlikely to be a carci... NO
- aN=Na NO
- ar-N=CH2 NO
- cdk:Title ZINC000000001785.A
- mutant.rules.Mutant... ,SA1_gen,SA2_gen...
- toxTree.tree.cramer... 1N,2N,3N,5N,6N,7Y,...

Structure diagram

Completed.

by Carcinogenicity (genotox and nongenotox) and mutagenicity rulebase by ISS

Toxic Hazard

Estimate

calculation could be applied.

Negative for genotoxic carcinogenicity

Negative for nongenotoxic carcinogenicity

Error when applying the decision tree

Verbose explanation

- QSA53_nogen.Benzensulfonic ethers No
- QSA54_nogen.1,3-Benzodioxoles No
- QSA55_nogen.Phenoxy herbicides No
- QSA56_nogen.alkyl halides No
- QNongenotoxic alert?. At least one alert for nongenotoxic carcinogenicity fired? No Class Negative for nongenotoxic carcinogenicity

Hasil prediksi Benigni / Bossa Rulebase senyawa ZINC00000001785

File: C:\Users\hikma\Documents\dinda\DATA LAST SEMOGA YA ALLAH\ADME dan Toksisitas\Senyawa\senyawa 3 zinc000000035526.mol2

Available structure attributes

- General toxic High (Class III)
- Error when applying... NO
- For a better assess... NO
- Negative for genotox... YES
- Negative for nongen... NO
- Potential S. typhimur... NO
- Potential carcinogen... NO
- QSA13 applicable? NO
- QSA14 applicable? NO
- SA15_gen NO
- SA17_gen NO

Structure diagram

Completed.

Toxic Hazard

Estimate

structural Alert for genotoxic carcinogenicity

structural Alert for nongenotoxic carcinogenicity

Potential S. typhimurium TA100 mutagen based on QSAR

likely to be a S. typhimurium TA100 mutagen based on QSAR

Potential carcinogen based on QSAR

likely to be a carcinogen based on QSAR

For a better assessment a QSAR calculation could be applied.

Negative for genotoxic carcinogenicity

Negative for nongenotoxic carcinogenicity

Verbose explanation

- QSA17_gen.Pyrimidines Alkylates No
- QSA18_gen.Alierylbenzenes No
- QSA19_gen_and_nogen.Stroindal estrogens No
- QSA20_gen_and_nogen.Halogenated ketones (Nongenotoxic carcinogens) No
- QSA21_gen.Halogenated ketones (Nongenotoxic carcinogens) No
- QSA22_gen.Halogenated PAH (naphthalenes, biphenyls, dibenzof) (Nongenotoxic carcinogens) No
- QSA23_gen.Halogenated dibenzodioxans (Nongenotoxic carcinogens) No
- QSA24_gen_and_nogen.Stroindal estrogens No
- QSA25_gen.substituted_n-alkylcarboxylic acids Yes
- QSA26_gen.phthalate diesters and monoesters No
- QSA27_gen.Perfluorocarbonic acid (PFCA) No

Hasil prediksi Benigni / Bossa Rulebase senyawa ZINC000000035526

Toxtree (Estimation of Toxic Hazard - A Decision Tree Approach) v3.1.0-1851-1525442531402
 File Edit Chemical Compounds Toxic Hazard Method Help
 File: C:\Users\hikma\Documents\indra\DATA LAST SEMOGA YA ALLAH\ADME dan Toksikasi\Senyawa\senyawa 7 zinc0000000057.mol2

Available structure attributes	Value
Cramer rules	High (Class III)
Error when applying	NO
For a better assess...	NO
Negative for genotox...	YES
Negative for nongen...	YES
Potential S. typhimu...	NO
Potential carcinogen...	NO
QSAR13 applicable?	NO
QSAR18 applicable?	NO
SAL1_gen	NO
SAL1_gen	NO

Toxic Hazard by Carcinogenicity (genotoxic and nongenotoxic) and mutagenicity rulebase by ISS
 Estimate

Structural Alert for genotoxic carcinogenicity
 Structural Alert for nongenotoxic carcinogenicity
 Potential S. typhimurium TA100 mutagen based on QSAR
 unlikely to be a S. typhimurium TA100 mutagen based on QSAR
 Potential carcinogen based on QSAR
 unlikely to be a carcinogen based on QSAR
 For a better assessment a QSAR calculation could be applied.
Negative for genotoxic carcinogenicity
Negative for nongenotoxic carcinogenicity
 Error when applying the decision tree

Verbose explanation

- QSAR41_nogen substituted n-alkylcarboxylic acids No
- QSAR2_nogen phthalate esters and monoesters No
- QSAR3_nogen Perfluorooctanoic acid (PFOA) No
- QSAR4_nogen Trichloro (or fluoro) ethylene and Tetrachloro (or fluoro) ethylene No
- QSAR5_nogen indole-3-carbinol No
- QSAR6_nogen pentachlorophenol No
- QSAR7_nogen o-phenylphenol No
- QSAR8_nogen quercetin-type flavonoids No
- QSAR9_nogen imidazole and benzimidazole No
- QSAR50_nogen d-carboxamide No
- QSAR51_nogen dimethylpyridine No
- QSAR52_nogen Metals, oxidative stress No
- QSAR53_nogen Biocarcinogenic ethers No
- QSAR54_nogen 1,3-Benzodioxole No

First Prev 1 / 1 Next Last
 Completed.

Hasil prediksi Benigni / Bossa Rulebase senyawa ZINC000000057384

c. Cytochrome P450

Available structure attributes

SA8_gen	NO
SA9_gen	NO
SMARTCyp.Rank1.A...	0.5000
SMARTCyp.Rank1.E...	62.2000
SMARTCyp.Rank1.R...	O-dealkylation
SMARTCyp.Rank1.S...	[O:1][C:2]([H])>>[...]
SMARTCyp.Rank1.S...	58.2000
SMARTCyp.Rank1.si...	C4
SMARTCyp.Rank2.A...	0.6000
SMARTCyp.Rank2.E...	66.4000
SMARTCyp.Rank2.R...	Aliphatic hydroxylation

Structure diagram

by Cytochrome P450-Mediated Drug Metabolism

Estimate

- SMARTCyp.Rank1.sites
- SMARTCyp.Rank2.sites
- SMARTCyp.Rank3.sites
- SMARTCyp.Rank>=4.sites

Verbose explanation

sites

- Q2.SMARTCyp secondary sites of metabolism Yes Class SMARTCyp.Rank2.sites
- Q3.SMARTCyp tertiary sites of metabolism Yes Class SMARTCyp.Rank3.sites
- Q4.SMARTCyp sites of metabolism with Rank>=4 Yes Class SMARTCyp.Rank>=4.sites

Completed.

Hasil prediksi Cytochrome P450 senyawa ZINC00000001785

Available structure attributes

SMARTCyp.Rank1.sites	NO
SMARTCyp.Rank2.sites	NO
SMARTCyp.Rank3.sites	NO
SMARTCyp.Rank>=4.sites	NO

by Cytochrome P450-Mediated Drug Metabolism

Estimate

- SMARTCyp.Rank1.sites
- SMARTCyp.Rank2.sites
- SMARTCyp.Rank3.sites
- SMARTCyp.Rank>=4.sites

Verbose explanation

Cytochrome P450-Mediated Drug Metabolism

- Q1.SMARTCyp primary sites of metabolism Yes Class SMARTCyp.Rank1.sites
- Q2.SMARTCyp secondary sites of metabolism Yes Class SMARTCyp.Rank2.sites
- Q3.SMARTCyp tertiary sites of metabolism Yes Class SMARTCyp.Rank3.sites
- Q4.SMARTCyp sites of metabolism with Rank>=4 Yes Class SMARTCyp.Rank>=4.sites

Completed.

Hasil prediksi Cytochrome P450 senyawa ZINC000000035526

■ Toxicity Estimation of Toxic Hazard - A Decision Tree Approach v5.1.0-1851-1525442531402
 File: Est: Chemical Compounds: Toxic Hazard Method 1849
 File: C:\Users\ikhsan\Documents\Tanda\DATA LAST SENOGA YA ALLAH\ADME dan Toksikitas\Senyawa\senyawa 7 zinc000000057384.mol

Available structure attributes		Task Hazard
Cloner rules	High (Class 5)	by Cytochrome P450-Mediated Drug Metabolism Estimate SMARTCyp Rank 1: 0.000 SMARTCyp Rank 2: 0.000 SMARTCyp Rank 3: 0.000 SMARTCyp Rank 4: 0.000 SMARTCyp Rank 5: 0.000
Score when negative	NO	
For a better assess...	NO	
Negative for genotox...	YES	
Negative for terogen...	YES	
Positive for genotox...	NO	
Potential terogen...	NO	
SMARTCyp applicable	NO	
SMARTCyp applicable	NO	
SMARTCyp applicable	NO	
SMARTCyp applicable	NO	
SMARTCyp applicable	NO	
SMARTCyp applicable	NO	
SMARTCyp applicable	NO	

Structure diagram
 SMARTCyp Rank 5 = 0.000

Verbose explanation
 Cytochrome P450-Mediated Drug Metabolism
 ■ Q1 SMARTCyp primary sites of metabolism Yes Class SMARTCyp Rank 1 sites
 ■ Q2 SMARTCyp secondary sites of metabolism Yes Class SMARTCyp Rank 2 sites
 ■ Q3 SMARTCyp tertiary sites of metabolism Yes Class SMARTCyp Rank 3 sites
 ■ Q4 SMARTCyp sites of metabolism with Rank=4 Yes Class SMARTCyp Rank=4 sites

Completed.

Hasil prediksi Cytochrome P450 senyawa ZINC000000057384

UNIVERSITAS ISLAM NEGERI
ALAUDDIN
 MAKASSAR

d. Kroes TTC

Toxtree (Estimation of Toxic Hazard - A Decision Tree App...)

File Edit Chemical Compounds Toxic Hazard Method Help

File: C:\Users\hikma\Documents\dinda\DATA LAST SEMOGA YA ALLAH\ADME dan Toksikitas\Senyawa\senyawa 2 zinc000000001.mol2

Available structure attributes

- SMARTCyp.Rank2.E... 66.4000
- SMARTCyp.Rank2.R... Aliphatic hydroxylation
- SMARTCyp.Rank2.S... [C;X4:1][H:2]>>[C:...
- SMARTCyp.Rank2.S... 61.6000
- SMARTCyp.Rank2.si... C3
- SMARTCyp.Rank3.A... 1.0000
- SMARTCyp.Rank3.E... 86.3000
- SMARTCyp.Rank3.R... Aromatic hydroxylation
- SMARTCyp.Rank3.S... [c:1][H:2]>>[c:1][O...
- SMARTCyp.Rank3.S... 78.3000
- SMARTCyp.Rank3.si... C17

Structure diagram

Toxic Hazard by Kroes TTC decision tree

Estimate

Substance would not be expected to be a safety concern

Negligible risk (low probability of a life-time cancer risk greater than 1 in 10^6)

Risk assessment requires compound-specific toxicity data

Verbose explanation

- Furocoumarins **No**
- QSA37_gen.Pyrrolizidine Alkaloids **No**
- QSA38_gen.Alkenylbenzenes **No**
- QSA39_gen_and_nogen.Steroidal estrogens **No**
- QQ2.Are there structural alerts that raise concern for potential genotoxicity? **No**
- QQ5.Does estimated intake exceed TTC of 1.5 µg/day ? **No** Class **Substance would not be expected to be a safety concern**

Completed.

Hasil prediksi Kroes TTC senyawa ZINC000000001785

Toxtree (Estimation of Toxic Hazard - A Decision Tree Approach) v3.10-1851-1525442531402

File Edit Chemical Compounds Toxic Hazard Method Help

File: C:\Users\hikma\Documents\dinda\DATA LAST SEMOGA YA ALLAH\ADME dan Toksikitas\Senyawa\senyawa 3 zinc0000000035526.mol2

Available structure attributes

- Crater rules high (ChES III)
- Error when applying... NO
- For a better assess... NO
- Kroes TTC decision... Substance would no...
- Kroes TTC decision... Q1H.Alerts(genotox...
- Negative for genotox... YES
- Negative for nongen... NO
- Potential S... typhim... NO
- Potential carcinogen... NO
- QSAK1 applicable? NO
- QSAK1 applicable? NO

Structure diagram

Toxic Hazard by Kroes TTC decision tree

Estimate

Substance would not be expected to be a safety concern

Negligible risk (low probability of a life-time cancer risk greater than 1 in 10^6)

Risk assessment requires compound-specific toxicity data

Verbose explanation

- QSA18_gen.Polycyclic Aromatic Hydrocarbons **No**
- QSA19_gen.Heterocyclic, Polycyclic Aromatic Hydrocarbons **No**
- QSA21_gen.Aldyl and aryl N-nitroso groups **No**
- QSA22_gen.Aside and triazine groups **No**
- QSA23_gen.Aliphatic N-nitro **No**
- QSA24_gen.alpha unsaturated aldehy **No**
- QSA25_gen.Aromatic nitroso group **No**
- QSA26_gen.Aromatic ring N-oxide **No**
- QSA27_gen.Nitro aromatic **No**
- QSA28_gen.Primary aromatic amine, hydroxyl amine and its derived esters (with restrictions) **No**
- QSA28a_gen.Aromatic mono- and dialkylamine **No**
- QSA28b_gen.Aromatic N-acyl amine **No**
- QSA29_gen.Aromatic diene **No**
- QSA30_gen.Coumarins and Furocoumarins **No**
- QSA37_gen.Pyrrolizidine Alkaloids **No**
- QSA38_gen.Alkenylbenzenes **No**
- QSA39_gen_and_nogen.Steroidal estrogens **No**
- QQ2.Are there structural alerts that raise concern for potential genotoxicity? **No**
- QQ5.Does estimated intake exceed TTC of 1.5 µg/day ? **No** Class **Substance would not be expected to be a safety concern**

Completed.

Hasil prediksi Kroes TTC senyawa ZINC0000000035526

Toxtree (Estimation of Toxic Hazard - A Decision Tree Approach) v3.1.0-1851-1525442531402

File Edit Chemical Compounds Toxic Hazard Method Help

C:\Users\hikma\Documents\indir\DATA LAST SEMOGA YA ALLAH\ADME dan Toksisitas\Senyawa\senyawa 7 zinc0000000057.mol2

Available structure attributes

Crater rules (Class III)	High
Filter when applying...	NO
For a better assess...	NO
Negative for genotox...	YES
Negative for mutagen...	YES
Potential S. Typhim...	NO
Potential carcinogen...	NO
SMARTCyp applicab...	NO
SMARTCyp applicab...	NO
SMARTCyp applicab...	NO
SMARTCyp applicab...	NO
SMARTCyp applicab...	NO

Structure diagram

Toxic Hazard by Cytochrome P450-Mediated Drug Metabolism

SMARTCyp_Rank1_sites

SMARTCyp_Rank2_sites

SMARTCyp_Rank3_sites

SMARTCyp_Rank4_sites

Verbose explanation

- Cytochrome P450-Mediated Drug Metabolism
- Q1 SMARTCyp primary sites of metabolism Yes Class SMARTCyp_Rank1_sites
- Q2 SMARTCyp secondary sites of metabolism Yes Class SMARTCyp_Rank2_sites
- Q3 SMARTCyp tertiary sites of metabolism Yes Class SMARTCyp_Rank3_sites
- Q4 SMARTCyp sites of metabolism with Rank=4 Yes Class SMARTCyp_Rank=4_sites

Completed.

Hasil prediksi Kroes TTC senyawa ZINC000000057384

e. Rat Acute Toxicity

Toxicity		
Rat Acute Toxicity	3.5110	LD50, mol/kg
Fish Toxicity	0.7217	pLC50, mg/L
Tetrahymena Pyriformis Toxicity	0.6757	pIGC50, ug/L

Hasil prediksi Toksisitas senyawa ZINC000000001785

Toxicity		
Rat Acute Toxicity	2.3831	LD50, mol/kg
Fish Toxicity	0.7392	pLC50, mg/L
Tetrahymena Pyriformis Toxicity	0.6751	pIGC50, ug/L

Hasil prediksi Toksisitas senyawa ZINC00000003526

Toxicity		
Rat Acute Toxicity	2.2791	LD50, mol/kg
Fish Toxicity	0.9378	pLC50, mg/L
Tetrahymena Pyriformis Toxicity	1.1065	pIGC50, ug/L

Hasil prediksi Toksisitas senyawa ZINC000000057384

f. Profil Farmakokinetik

ID	Value
BBB	0.59697
Buffer_solubility_mg_L	191.955
Caco2	10.5211
CYP_2C19_inhibition	Inhibitor
CYP_2C9_inhibition	Inhibitor
CYP_2D6_inhibition	Non
CYP_2D6_substrate	Non
CYP_3A4_inhibition	Inhibitor
CYP_3A4_substrate	Non
HIA	87.318069
MDCK	44.6354
Pgp_inhibition	Non
Plasma_Protein_Binding	100.000000
Pure_water_solubility_mg_L	251.402
Skin_Permeability	-4.18021
SKlogD_value	1.905650
SKlogP_value	1.905650
SKlogS_buffer	-3.151780
SKlogS_pure	-3.034610

Hasil prediksi farmakokinetik senyawa ZINC000000001785

ID	Value
BBB	0.0242064
Buffer_solubility_mg_L	218.514
Caco2	20.4785
CYP_2C19_inhibition	Inhibitor
CYP_2C9_inhibition	Inhibitor
CYP_2D6_inhibition	Non
CYP_2D6_substrate	Non
CYP_3A4_inhibition	Inhibitor
CYP_3A4_substrate	Weakly
HIA	94.766392
MDCK	0.0820516
Pgp_inhibition	Non
Plasma_Protein_Binding	73.120489
Pure_water_solubility_mg_L	10.6167
Skin_Permeability	-3.10227
SKlogD_value	2.000660
SKlogP_value	2.000660
SKlogS_buffer	-3.201310
SKlogS_pure	-4.514800

Hasil prediksi Farmakokinetik senyawa ZINC0000000035526

ID	Value
BBB	1.20883
Buffer_solubility_mg_L	186.446**
Caco2	18.9126
CYP_2C19_inhibition	Non
CYP_2C9_inhibition	Non
CYP_2D6_inhibition	Non
CYP_2D6_substrate	Weakly
CYP_3A4_inhibition	Non
CYP_3A4_substrate	Weakly
HIA	91.838858
MDCK	261.671
Pgp_inhibition	Non
Plasma_Protein_Binding	43.849800
Pure_water_solubility_mg_L	5.47056
Skin_Permeability	-3.81058
SKlogD_value	1.666060
SKlogP_value	1.666060
SKlogS_buffer	-3.139980**
SKlogS_pure	-4.672500

Hasil prediksi Farmakokinetik senyawa ZINC000000057384

UNIVERSITAS ISLAM NEGERI
ALAUDDIN
 M A K A S S A R

DAFTAR RIWAYAT HIDUP



Nama Lengkap : Dinda Firdasari
Tempat, Tanggal Lahir : Tacipi, 2 April 1997
Alamat : Jl. A. Raung No. 23
Tacipi, Kec. Ulaweng
Kab. Bone Sulawesi
Selatan
Nomor HP : 081242395723
Email : dinfir2497@gmail.com

Penulis akrab disapa Dinda adalah anak ketiga dari tiga bersaudara lahir dari pasangan bapak Hasnul Basri dan ibu Hikmawati, S.Pd. Pernah menempuh jenjang pendidikan di SDN 135 Manurunge, SMP Negeri 1 Ulaweng serta SMA Negeri 1 Watampone. Penulis kini tengah menempuh jenjang pendidikan di UIN Alauddin Makassar dan menyusun tugas akhirnya. Penulis berharap serangkaian tugas akhir ini dapat bermanfaat dalam bidang farmasi dan bagi masyarakat umum.

UNIVERSITAS ISLAM NEGERI
ALAUDDIN
M A K A S S A R